

نقشه برداری

۱-۸

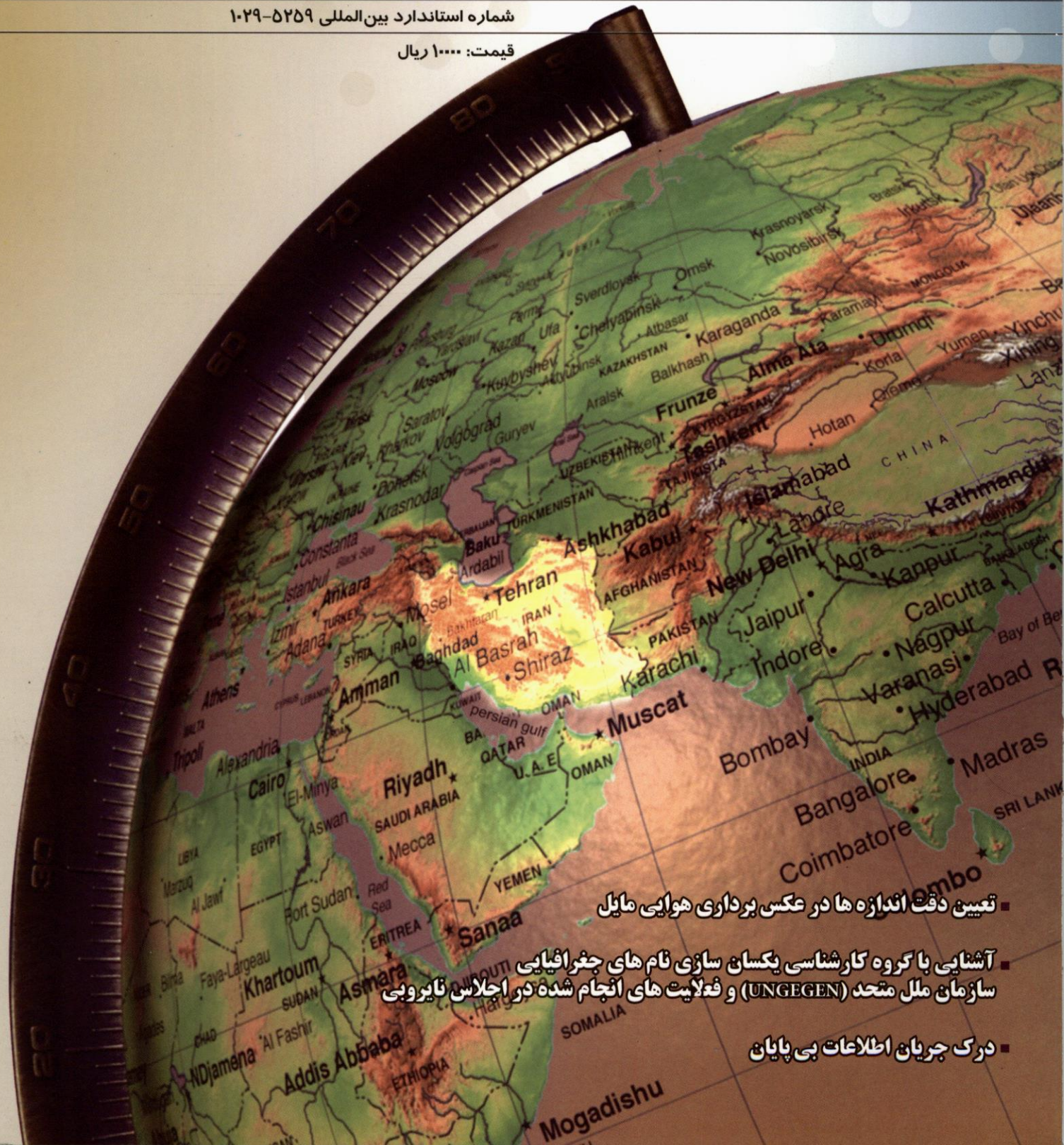


نشریه علمی و فنی سازمان نقشه برداری کشور

سال بیست و یکم، شماره ۱۰۸، آذرماه ۱۳۸۹

شماره استاندارد بین المللی ۱۰۲۹-۵۲۵۹

قیمت: ۱۰۰۰ ریال



- تعیین دقت اندازه ها در عکسی برداری هوایی مایل

- آشنایی با گروه کارشناسی یکسان سازی نام های جغرافیایی
سازمان ملل متحد (UNGENE) و فعلیت های انجام شده در اجلاس نایروبی

- درک جریان اطلاعات بی پایان



سازمان نقشه برداری کشور

سازمان نقشه برداری کشور

مرجع ساست کنواری و نظارت فنی و اجرایی

در حوزه اطلاعات مکانی و جغرافیایی

info@ncc.org.ir

www.ncc.org.ir



صاحب امتیاز: سازمان نقشه‌برداری کشور

مدیر مسؤول: مهندس محمود ایلخان

سردیر: مهندس اشرف السادات قریشی

مدیر اجرایی: مهندس محمود بخان ور

هیأت تحریریه: مهندس محمود ایلخان، مهندس هادی واعظی
مهندس فرهاد کیانی فر، دکتر فرش توكلی، دکتر یحیی جمور،
دکتر فرشاد حکیم پور، مهندس بابک شمعی، دکتر سعید صادقیان
مهندس محمد حسن خدام محمدی، مهندس سید بهداد غضنفری،
مهندس اشرف السادات قریشی، دکتر غلامرضا فلاحتی،
دکتر علیرضا قراگوزلو.

مشاوران این شماره: دکتر علی سلطان پور، دکتر حمیدرضا نانکلی

مجری: مدیریت پژوهش و برنامه‌ریزی

ویرایش: مهندس شهراز سلیمانی

تاپ رایانه‌ای: سکینه حلاج

گرافیست و صفحه‌آرا: حسین شایان فرید

چاپ، لیتوگرافی و صحافی: سازمان نقشه‌برداری کشور

همکاران این شماره:

مهندس اشرف السادات قریشی، مهندس لطفا... عمادعلی،
مهندس حمید چراغی، دکتر علی سلطان پور، مهندس رحیم فرننده،
مهندس سید عبدالرضا سعادت، دکتر مهران مقصودی، ابوالفضل بلندیان،
دکتر فرش توكلی، دکتر حمیدرضا نانکلی، مهندس علیرضا نعمتی،
دکتر علیرضا قراگوزلو، مهندس کامبیز جلیله وند، مهندس شهراز
سلیمانی، مهندس محمود بخانور

نشانی: تهران، میدان آزادی، خیابان معراج، سازمان نقشه‌برداری کشور

صندوق پستی: ۱۳۱۸۵-۱۶۸۴

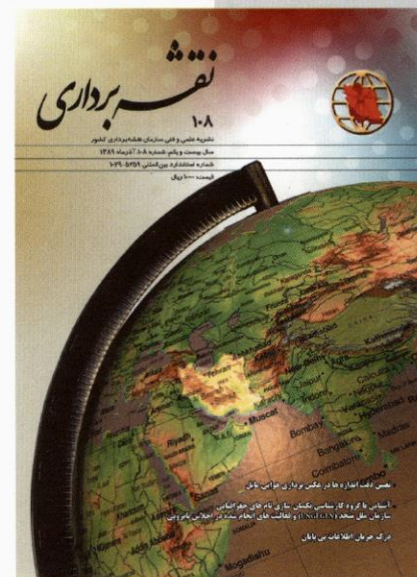
تلفن اشتراک: ۰۶۰۷۱۰۰۱-۹ (داخلی ۴۱۸)

بخش آگهی: ۰۶۰۷۱۱۲۵

دفتر نشریه: ۰۶۰۷۱۱۲۵

دورنگار: ۰۶۰۷۱۱۲۰

نشانی اینترنتی: www.ncc.org.ir



ISSN: 1029 - 5259

فهرست مطالب

۵ ■ سر مقاله

■ مقاله

• تعیین مدل‌های کینماتیک و دینامیک تغییر شکل به روش کولوکیشن
و اجزاء محدود ۶

• تغییرات میدان ثقل در طی سال‌های ۱۹۸۵-۱۹۹۹ در امتداد شکاف Asal
و ارتباط آن با جابه‌جایی‌های قائم و حرکت توده ۱۵

• تعیین دقت اندازه‌ها در عکس‌برداری هوایی مایل ۲۲

■ گزارش

• گزارش شرکت در کنفرانس بین‌المللی ثقل سنجی IAG1 ۲۸

• آشنایی با گروه کارشناسی یکسان‌سازی نامهای جغرافیایی سازمان
مل متحده (UNGEN) و فعالیت‌های انجام شده در اجلاس
نایرویی ۳۰

• معرفی کتاب ۳۷

• خبرنامه ژئودینامیک ۴۰

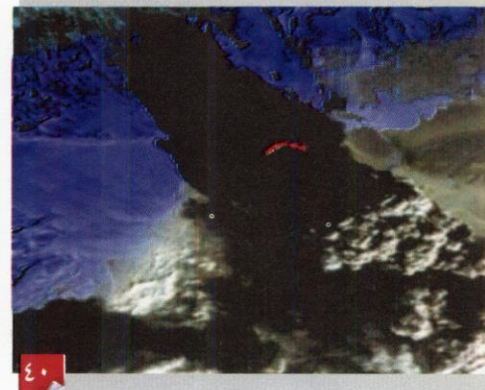
• آموزش ۴۴

• آموزش GIS

• گفتگو ۴۶

• درک جریان اطلاعات بی‌پایان

• همایش‌های بین‌المللی ۴۹



با افزایش روزافزون تولید داده‌های مکانی و آگاهی مدیران و مسئولین در استفاده از این داده‌ها به منظور تصمیم‌گیری و مدیریت بهینه شهری، نیاز به ایجاد پایگاه داده مکانی شهرها بیش از پیش احساس می‌شود. با توجه به توسعه پایگاه‌های داده و فناوری‌های نرم‌افزاری، یکی از اهداف سیستم‌های اطلاعات مکانی ایجاد یک چارچوب واحد جهت مدیریت داده‌های مکانی و پشتیبانی از تصمیم‌گیری‌ها می‌باشد. اولین هدف از طراحی پایگاه داده در فرآیند توسعه GIS، فراهم‌سازی بستری مناسب برای مدیریت داده‌ها در جهت اجرای کاربردها و قابلیت‌های مورد نیاز می‌باشد. از آنجایی که پایگاه اطلاعات مکانی شهری، جریان انتقال اطلاعات در داخل یک سازمان و بین سازمان‌ها و ارگان‌های دیگر را به طور بنیادی تغییر می‌دهد و به طور کلی چنین پایگاهی فرا سازمانی است، نیازمند مشارکت تمامی دستگاه‌های اجرایی خدمات رسان شهری می‌باشد.



از این رو سازمان نقشه‌برداری کشور به عنوان متولی تولید اطلاعات مکانی پایه در کشور و با توجه به نقش نظارتی و راهبردی که در این زمینه ایفا می‌کند، به منظور افزایش بهره‌وری و ارائه راه حل‌های مفید و کاربردی توسط مدیران و تصمیم‌گیران، اقدام به پیاده‌سازی طرح ایجاد پایگاه داده شهری برای مراکز استان‌ها نموده است.

امید است با توجه به اهمیت و ضرورت ایجاد یک پایگاه اطلاعات مکانی که سبب دسته‌بندی، یک پارچه‌سازی و استاندارد نمودن اطلاعات در کل شبکه شده و در نتیجه سبب تسهیل استفاده از اطلاعات موجود در پایگاه، توسط تمامی سازمان‌های مرتبط در مدیریت شهر می‌گردد، با همکاری مسئولین شهرها روند ایجاد پایگاه‌های مکانی شهری در استان‌ها با سرعت بیشتری انجام شود تا گامی مثبت در جهت توسعه ایرانی آباد برداشته شود.

سر دیر

تعیین مدل‌های کینماتیک و دینامیک تغییر شکل به روش کولوکیشن و اجزاء محدود

تألیف: مهندس لطف الله عمامدعلی

عضو هیأت علمی دانشکده مهندسی مجتمع آموزش عالی بهبهان

l_emadali@yahoo.com

زمین یک جسم با قابلیت تغییر شکل پذیری بوده و پاسخ آن به نیروهای وارد، متفاوت و تابعی از فرکانس نیروها می‌باشد. برای بیان و اندازه‌گیری تغییر شکل زمین، تاکنون روش‌ها و مدل‌های مختلفی به کار گرفته شده‌است. در این مقاله، ضمن اشاره به Rheology زمین به عنوان یک جسم ویسکوالاستیک و بررسی رفتار زمین در مقابل نیروهای وارد، دو روش برای تعیین مدل‌های تغییر شکل شامل روش کولوکیشن (Collocation) و روش اجزاء محدود (Finite Elements) مورد بررسی قرار گرفته است.

۱- مقدمه‌ای بر Rheology زمین

نمی‌توان راجع به u و F بحث کرد چرا که نیروها برای ما ناشناخته هستند و حتی صحبت کردن در مورد جایه‌جایی نیز مشکل است: جایه‌جایی را نسبت به چه می‌سنجیم؟ نسبت به حالت قبل جسم، نسبت به حالات تغییر شکل نیافته جسم (که برای ما ناشناخته است) و یا نسبت به یکسری شرایط اولیه؟ بنابراین حتی فرمول‌بندی u نیز یک مسئله است.

به همین منظور و به لحاظ اینکه از نقطه نظر ژئودتیکی، u یک کمیت قابل مشاهده (Observable) نمی‌باشد، u یک انتخاب مناسب برای توصیف تغییر شکل نمی‌باشد. به جای این کمیت، از کمیت دیگری به نام استرین استفاده می‌شود که گرادیان u می‌باشد.

$$\vec{\nabla} = \begin{bmatrix} \partial/\partial x \\ \partial/\partial y \\ \partial/\partial z \end{bmatrix}, \quad \vec{u} = \begin{bmatrix} u_x \\ u_y \\ u_z \end{bmatrix} \quad (2-1)$$

$$\vec{\nabla} \otimes \vec{u} = \nabla u^T = \begin{bmatrix} \partial/\partial x \\ \partial/\partial y \\ \partial/\partial z \end{bmatrix} (u_x \quad u_y \quad u_z) = \begin{pmatrix} \frac{\partial u_x}{\partial x} & \frac{\partial u_y}{\partial x} & \frac{\partial u_z}{\partial x} \\ \frac{\partial u_x}{\partial y} & \frac{\partial u_y}{\partial y} & \frac{\partial u_z}{\partial y} \\ \frac{\partial u_x}{\partial z} & \frac{\partial u_y}{\partial z} & \frac{\partial u_z}{\partial z} \end{pmatrix}$$

بعض متقارن این ماتریس، تنسور استرین نامیده می‌شود:

$$e_{ij} = \text{Sym.}(\vec{\nabla} \otimes \vec{u}) = \frac{1}{2} [(\vec{\nabla} \otimes \vec{u})^T] = \begin{pmatrix} \frac{\partial u_x}{\partial x} & \frac{1}{2}(\frac{\partial u_y}{\partial x} + \frac{\partial u_x}{\partial y}) & \frac{1}{2}(\frac{\partial u_z}{\partial x} + \frac{\partial u_x}{\partial z}) \\ & \frac{\partial u_y}{\partial y} & \frac{1}{2}(\frac{\partial u_z}{\partial y} + \frac{\partial u_y}{\partial z}) \\ \text{Symmetric} & & \frac{\partial u_z}{\partial z} \end{pmatrix} \quad (3-1)$$

استرین یک کمیت دیفرانسیلی بوده و به مبدأ سیستم مختصات

Rheology (علم جریان و تغییر شکل ماده) روشنی است که در آن زمین به نیروها و استرس‌های مختلف وارد بر آن پاسخ می‌دهد. زمین یک جسم ویسکوالاستیک است و پاسخ زمین به نیروهای مختلف وارد شده برآن به فرکانس این نیروها بستگی دارد. زمین در مقابل نیروهای با فرکانس بالا و دامنه کم به صورت یک جسم الاستیک عمل می‌کند، در حالی که در مقابل نیروهای با فرکانس کم به صورت یک جسم ویسکوز عمل می‌کند. Rheology در مورد استرین‌های local با تغییر موقعیت تغییر می‌کند و همچنین در امتدادهای مختلف نیز تغییر می‌کند، یعنی غیرهمگن و غیرایزوتروپ است.

Rheology معمولاً با توابعی از موقعیت توصیف می‌شود. یک نمونه از این توابع، ضرایب لامه می‌باشد که برای مواد ایزوتروپ به کار گرفته می‌شوند و عبارتند از:

$Rigidity : \mu$ (صلیبت)
 $Compressibility : \lambda$ (قابلیت فشردنگی)
 $Viscosity : v$ (ویسکوزیتی)

برای بیان تغییر شکل زمین به طور کلی می‌توان از مدلی به صورت زیر استفاده نمود:

$$\psi((u(r,t), F(r,t), R(r,F,t))) = 0 \quad (1-1)$$

(1-1) این مدل باید بیانگر هندسه مسئله باشد. R , F , u توابعی از موقعیت و زمان می‌باشند و خود R تابعی از F نیز می‌باشد. u بیانگر جایه‌جایی، F بیانگر نیرو، r بردار موقعیت، t زمان و R نشان‌دهنده Rheology می‌باشد.

معمولًا در مدل‌بندی تغییر شکل (Deformation Modelling)

یک راه ساده‌تر برای توصیف Rheology زمین استفاده از اعداد لاو (Love Numbers) می‌باشد. اعداد Love نحوه پاسخ یک جسم تغییر شکل پذیر را نشان می‌دهند. به بیان دیگر اعداد لاو یا بیانگر خصوصیات فیزیکی زمین در مورد Global Stress می‌باشند. در مقابل، Load Number ها یا بیانگر خصوصیات فیزیکی زمین در مورد Stress Load می‌باشند و یا به عبارتی معرف Rheology محلی زمین می‌باشند. بر عکس اعداد لاو، Load Number ها را نمی‌توان از طریق مشاهده به دست آورده و باید با استفاده از مدل‌های موجود از قبیل مدل گوتنبرگ آنها را مدوله کرد.

همان‌طور که ذکر شد، می‌توان اعداد لاو را از طریق مشاهدات به دست آورده که این مشاهدات عبارتند از مشاهدات گروایتی (ثقل)، تیلت، و استرین. با استفاده از اعداد لاو می‌توان توزیع ضرایب لاو m دورن زمین را به دست آورده و البته برای این منظور نیز باید از مدل‌های موجود مثل مدل کلوین استفاده کرد.

۲- مدل‌های کینماتیک و دینامیک

۲-۱- تئوری بنیادی کینماتیک

اصول تئوری الاستیسته توسط Helmholtz در تئوری بنیادی کینماتیک فرموله شده‌است. تغییر در موقعیت، در یک همسایگی بسیار کوچک اطراف یک نقطه از یک جسم تغییر شکل پذیر، در تقریب اول متناظر است با مجموع:

$$1- \text{ یک انتقال } u^{(1)}$$

$$2- \text{ یک دوران } u^{(2)}$$

$$3- \text{ یک گسترش } u^{(3)}$$

این تئوری را می‌توان با استفاده از یک بسط به سری تیلور نتیجه گرفت. در نظر بگیرید: $(X(t_1) - X(t_2))$ بردار موقعیت در زمان t_1 و (t_2) بردار موقعیت در زمان t_2 و اختلاف بین دو بردار موقعیت، بردار جابه‌جایی $(\Delta t = t_2 - t_1)$ باشد. بنابراین $(u(x, \Delta t))$ را می‌توان برای تغییرات کوچک موقعیت فرموله کرد:

$$u(X + dx) = u(x) + \frac{\partial u}{\partial x} \Big|_x dx \quad (1-2)$$

مؤلفه‌های این بردار عبارتند از:

$$u_i(X + dx) = u_i(x) + \sum_{k=1}^3 \frac{\partial u_i}{\partial x_k} \Big|_x dx_k \quad (2-2)$$

در این رابطه $\frac{\partial u_i}{\partial x_k} = a_{ik}$ تشکیل یک تنسور با ابعاد 3×3 می‌دهد. هر ماتریس مربعی را می‌توان به یک بخش متقارن و یک پاد متقارن تجزیه کرد. با توجه به این مسئله داریم:

$$u_i(X + dx) = u_i(x) + \sum_{k=1}^3 \frac{a_{ik} + a_{ki}}{2} dx_k + \sum_{k=1}^3 \frac{a_{ik} - a_{ki}}{2} dx_k = u_i^{[I]}(X) + u_i^{[D]}(X) + u_i^{[R]}(X) \quad (3-2)$$

بستگی ندارد، زیرا فقط با تغییر شکل‌های نسبی سروکار دارد. به طور مشابه، به جای کمیت برداری نیرو از کمیت اسکالار استرس استفاده می‌کنیم:

$$\bar{F} = \bar{\nabla} \sigma_{ij} \quad (4-1)$$

از ننسوری است که گرادیان آن معادل نیرو بوده و تنسور استرس نامیده می‌شود. با جایگذاری استرس به جای نیرو و استرین به جای جابه‌جایی m ، مدل تغییر شکل به صورت زیر نوشته می‌شود:

$$\psi(\sigma_{ij}(\bar{r}, t), e_{kl}(\bar{r}, t), R(\bar{r}, \sigma_{ij}, t)) = 0 \quad (5-1)$$

معمولًاً سعی می‌شود که این مدل به یک فرم صریح بر حسب استرس نوشته شود:

$$\sigma_{ij} = \psi_{ij}(e_{kl}(\bar{r}, t), R(\bar{r}, e_{kl}, t)) \quad (6-1)$$

با توجه به کوچک بودن مقادیر تغییر شکل، می‌توان این رابطه را خطی کرد:

$$\sigma_{ij}(\bar{r}, t) = R_{ijkl}(\bar{r}, e_{kl}, t) e_{ij}(\bar{r}, t) \quad (7-1)$$

چنانچه ما نتوانیم مسئله را خطی کنیم، حل مسئله غیرممکن است و از آنجایی که تغییر شکل زمین در مقایسه با ابعاد زمین بسیار کوچک می‌باشد لذا می‌توان مسئله را خطی کرد. حال باید این مسئله مقدار مرزی را حل کرد. برای اجسام ایزوتروپ و همگن، معادله بالا به صورت ساده‌تر زیر در می‌آید:

$$\sigma_{ij} = 2\mu e_{ij} + \lambda \cdot \text{Trace}(e_{ij}) \sigma_{ij} \quad (8-1)$$

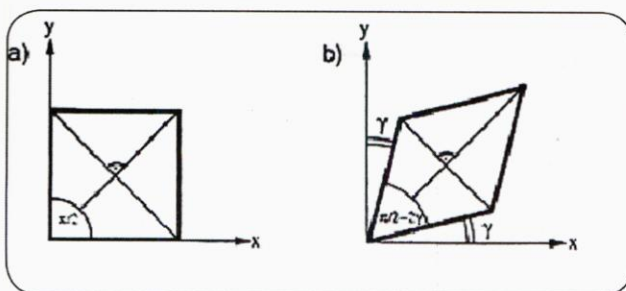
این معادله همان معادله هوک می‌باشد. در این رابطه λ (قابلیت فشردنگی) فقط در جهت استرین‌های اصلی عمل می‌کند ولی m (ثابت صلیبت) در تمام جهت‌ها عمل می‌کند.

تعیین مدل فیزیکی تغییر شکل زمین، مسئله ساده‌ای نمی‌باشد و علت آن فقدان اطلاعات در مورد استرس‌های واردہ می‌باشد. در موارد فقدان اطلاعات در مورد استرس‌های واردہ می‌باشد. در این مورد کار برای ژئوفیزیست‌ها در مقایسه با ژئودزین‌ها، بسیار مشکل‌تر است چرا که آنها در صدد تعیین Rheology زمین و جنبه‌های فیزیکی آن می‌باشند در حالی که در ژئودزی، ما تأثیر این تغییر شکل‌ها را بر روی موقعیت نقاط می‌سنجمیم.

تنسور Rheology در حالت سه‌بعدی دارای ۸۱ عنصر می‌باشد که با در نظر گرفتن بعضی تقارن‌ها در ننسور استرس و استرین به ۳۶ عنصر مستقل تقلیل می‌باید. برای توصیف کامل رفتار Rheology هر جسم، لازم است که این ۳۶ عنصر را که توابعی از موقعیت می‌باشند بدانیم. البته این ۳۶ عنصر فقط برای توصیف بخش الاستیک جسم است و برای توصیف رفتار ویسکوز نیز باید چاره‌ای اندیشید.

بنابراین، در یک جسم تغییر شکل پذیر هر تغییر شکل را می‌توان با تجزیه آن به این سه بخش تقریب کرد.

آنالیز استرین (Shear Strain) نیز بخش مهم دیگری از آنالیز استرین می‌باشد و به ما اجازه می‌دهد تا جهت، مقدار و مفهوم توجیه ممکن را آشکار کنیم. در این رابطه Shear به صورت زاویه (γ) در شکل زیر تعریف می‌شود:



شکل ۱- تصویر یک مربع قبل از تغییر و بعد از تغییر شکل

در این دو شکل، قطر شکل‌ها محورهای اصلی استرین را مشخص می‌کنند.

به سادگی می‌توان نشان داد که Shear (g) متناظر است با نصف اختلاف دو مقدار ویژه (استرین نرمال). بنابراین هر کجا که این اختلاف، مخالف صفر باشد ما مجبور هستیم که از Shear صحبت کنیم. ماکریم Shear در صفحه‌های اتفاق می‌افتد که توسط بردارهای ویژه تعریف می‌شود و متناظر با ماکریم اختلاف مقادیر Shear برابر با 45° درجه می‌باشد.

جهت‌های Shear به صورت زیر محاسبه می‌شوند (مثالاً در صفحه III و I):

$$r_{\max} = \frac{X^I + X^{III}}{|X^I + X^{III}|}, \quad |r_{\max}| = \frac{1}{2}(\varepsilon_{III}^I - \varepsilon_I^I) \quad (10-2)$$

X^I و X^{III} بردارهای ویژه نرمالیزه شده و ε_I^I و ε_{III}^I مقادیر ویژه متناظر با آنها می‌باشند. استرین تنسور به خودی خود، شامل اطلاعاتی که به ما اجازه تعیین توجیه Shear واقعی را بدهد، نمی‌باشد.

آنالیز استرین در یک گسل زمین‌شناسان معمولاً سعی می‌کند تا خصوصیات گسل‌ها شامل: هندسه گسل (تراز و شبیه یا strike)، کینماتیک (نوع گسل)، فعالیت (فعال یا غیرفعال) و میزان سرعت را بدست آورند و بنابراین، عملیات زمینی زیادی باید انجام گیرد. آنالیز میدان تغییر شکل به دست آمده از مشاهدات ژئوتکنیک، امکان دیگری را برای توضیح این سوالات فراهم می‌آورد.

استرین e در یک نقطه P در طول گسل می‌تواند درون یابی شود (مثالاً به روش کولوکیشن). اگر استرین (p) e در بردار واحد n normal که عمود بر جهت گسل است ضرب شود، در این

بنابراین، در یک جسم تغییر شکل پذیر هر تغییر شکل را می‌توان با تجزیه آن به این سه بخش تقریب کرد.

۲-۲- مفاهیم استرین و استرین:

تغییر هندسی این سه قسم: ترم اول: $(X)^{[i]}$ عبارت از انتقال مؤلفه i نقاط مجاور است.

ترم دوم:

$$u_i^{[D]}(X) = \sum_{k=1}^3 \frac{a_{ik} + a_{ki}}{2} dx_k = \sum_{k=1}^3 \varepsilon_{ik} \cdot dx_k \quad (4-2)$$

ε_{ik} بخش متقارن تنسور می‌باشد و معمولاً تنسور استرین نامیده می‌شود. می‌توان نشان داد که مجموع عناصر قطر اصلی (trace) تنسور استرین معادل با انبساط (Dilatation) حجم Θ از منطقه اطراف X می‌باشد:

$$\Theta = \sum_{i=1}^3 \varepsilon_{ii} = \sum_{i=1}^3 \frac{\partial u_i}{\partial x_i} = \operatorname{div} U \quad (5-2)$$

با حل مسئله مقدار ویژه می‌توان تنسور استرین e را به سیستم محورهای اصلی آن منتقل کرد. بنابراین، تنسور استرین e تبدیل به یک تنسور قطری e' می‌شود. عناصر قطری تنسور e' متناظر با مقادیر ویژه تنسور e و e' می‌باشند:

$$\varepsilon_{ik} = R^T \varepsilon'_{ik} R, \quad \begin{cases} \varepsilon'_{ik} = 0 & \text{if } i \neq k \\ \varepsilon'_{ik} \neq 0 & \text{if } i = k \end{cases} \quad (6-2)$$

بردارهای ویژه متناظر با مقادیر ویژه e' را می‌توان در ستون‌های ماتریس دورانی R یافت. این بردارهای ویژه بر هم عمودند و جهت‌های ماکریم تغییر شکل را تشکیل می‌دهند. مقادیر ویژه مقادیر عددی این تغییر شکل‌ها می‌باشند. علامت این مقادیر ویژه تعیین می‌کند که تغییر شکل صورت گرفته گسترش و انبساط بوده (علامت +) و یا این که فشردگی یا انقباض بوده است (علامت -). بردارهای ویژه تنسور استرین، محورهای اصلی بیضی استرین را تشکیل می‌دهند.

ترم سوم را می‌توان به یک ضرب برداری تبدیل کرد:

$$du^{[R]} = \sum_{k=1}^3 \frac{a_{ik} - a_{ki}}{2} dx_k = \frac{1}{2} (\operatorname{rot} \bar{u} \times d\bar{x}) = R \cdot d\bar{x} \quad (7-2)$$

این ترم، معادل با یک دوران بسیار ریز (Infinitesimal) بردار \bar{x} حول محور (rot \bar{u}), با یک زاویه $\frac{1}{2} |\operatorname{rot} \bar{u}|$ می‌باشد. ماتریس دوران R به صورت زیر می‌باشد:

$$R = \begin{bmatrix} 0 & -(\operatorname{rot} u)_3 & -(\operatorname{rot} u)_2 \\ (\operatorname{rot} u)_3 & 0 & -(\operatorname{rot} u)_1 \\ (\operatorname{rot} u)_2 & (\operatorname{rot} u)_1 & 0 \end{bmatrix} \quad (8-2)$$

جهت (r_a) و زاویه ($d\alpha$) محور دورانی، توسط بردار زیر داده می‌شود:

$$r_a = \begin{pmatrix} R_{32} \\ R_{13} \\ R_{21} \end{pmatrix}, \quad d\alpha = |r_a| \quad (9-2)$$

ضرایب لامه λ و m خواص ماده را منعکس می‌کنند. این ضرایب الاستیسیته و صلبیت ماده را بیان می‌کنند. این ضرایب (ثوابت) را می‌توان به یک زوج معادل تبدیل کرد. در علوم زمین دو کمیت (Poisson's Ratio) ν و نسبت پواسن λ (Young's Modulus) E داریم که میانگین آنها می‌باشد. ترانسفورماسیون بین λ و m با E و ν به صورت زیر می‌باشد:

$$\lambda = \frac{E}{(1+\nu)(1-2\nu)}, \quad \mu = \frac{1}{2} \frac{E}{1+\nu} \quad (15.16-2)$$

۶-۲- تعیین استرس نرمال و برشی

تمایز بین استرس نرمال و برشی با همان فرمولی که در مورد استرین به کار رفت انجام می‌شود. به هر حال، باید توجه داشت که استرس ناشی از یک تنسور استرین دو بعدی، الزاماً دو بعدی، نمی‌باشد. بسته به خواص ماده، محور بیانگر صفحه، ممکن است مخالف صفر باشد. بنابراین جهت ماکریم Stress Shear ممکن است با جهت ماکریم Strain Shear منطبق نباشد و می‌تواند دارای مؤلفه‌ای در بعد سوم باشد. این اطلاعات، امکان تعیین نوع اصلی گسل (Fault-Type) را فراهم می‌نماید:

- چنانچه Stress Shear در همان صفحه Shear باقی بماند یک گسل امتدادلغز (Strike-Slip) خواهد داشت.
- وجود یک مؤلفه غیر صفر خارج صفحه محورها، بیانگر گسل نرمال می‌باشد.
- گسل‌های ترکیبی با ترکیب گسل‌های امتدادلغز و گسل‌ش نرمال نیز ممکن است به وقوع بیرونندند.
- تنسور استرین در تشخیص نوع کششی (Extensional) یا فشاری (Compressional) گسل به ما کمک می‌کند. شایان ذکر است که به طور کلی سه نوع گسل داریم: ۱- راندگی (Thrust) ۲- نرمال (Normal) ۳- امتدادلغز (Strike-Slip) که در شکل زیر نشان داده شده‌اند که هر کدام ممکن است دارای حالت راست‌گرد یا چپ‌گرد باشند.

۷-۲- دانسیته انرژی استرین:

با استفاده از قوانین Navier و Hooke می‌توان یک رابطه خطی بین را می‌توان به دست آورد:

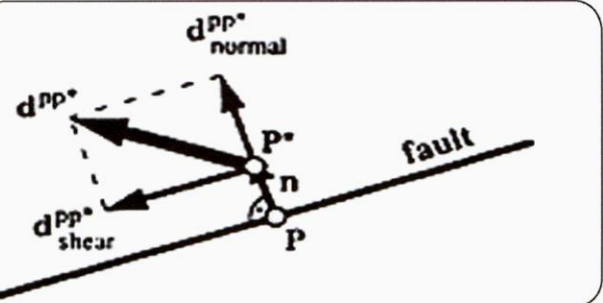
$$D_E = \frac{1}{2} \cdot \text{Trace}(\sigma \cdot \varepsilon) \quad (17-2)$$

با استفاده از رابطه استرین - استرس، دانسیته انرژی استرین تنسور استرس را جایگزین نمود:

$$D_E = \mu ((\varepsilon_{ji} + \frac{\lambda \Theta}{2\mu} \cdot \delta_{ij}) \cdot \varepsilon_{ij}) \quad (18-2)$$

واحد D_E ، (J/m^3) می‌باشد. دانسیته انرژی استرین کمیت مهمی برای تعیین نقطه‌ای است که بیشترین مقدار انرژی را در خود ذخیره دارد. چنین مناطقی، متحمل ترین مناطق هستند که انتظار می‌رود انرژی ابانته شده را طی یک زمین‌لرزه آزاد کنند.

صورت تغییر شکل برای حرکت یک واحد بیرون از گسل $P \rightarrow P'$ به دست می‌آید.



شکل ۲- تصویر استرین روی گسل

این تغییر شکل می‌تواند در راستای گسل و بردار یکه n normal تصویر شود:

$$d_{PP^*} = \epsilon(p) \cdot n(PP^*)_{normal} \quad (11-2)$$

d_{shear} جهت و مقدار d_{shear} را می‌دهد. d_{shear} جهت و مقدار کشیدگی یا فشردن را به ما می‌دهد.

۴-۴- تنسور استرس (Stress Tensor)

برای تعبیر فیزیکی تغییر شکل، باید تعریف استرس عمل کننده بر یک جسم مطرح شود:

$$P_i^{(n)} = \sum_{k=1}^3 \sigma_{ik} \cdot n_k \quad (12-2)$$

که در این رابطه:

n_k : بردار نرمال سطح

s : تنسور استرس

$P_i^{(n)}$: بردار استرس عمل کننده بر سطح می‌باشد.

عناصر قطری تنسور، استرس در جهت بردار نرمال سطح را نشان می‌دهند. این مقادیر، استرس‌های نرمال نامیده می‌شوند و تحت یک نیروی خاص عمود بر سطح پیدا می‌آیند. عناصر غیر قطری که شامل استرس در جهت‌های مماسی می‌باشند، استرس‌های برشی نامیده می‌شوند که حاصل اثر یک نیروی خاص می‌باشند و موازی با سطح اثر می‌کند.

۵-۲- رابطه استرس - استرین

با استفاده از قوانین Navier و Hooke می‌توان یک رابطه خطی بین استرس و استرین استخراج نمود. این رابطه برای اجسام الاستیک صادق است:

$$\sigma_{ij} = 2\mu \cdot \varepsilon_{ij} + \lambda \Theta \cdot \delta_{ij} \quad (13-2)$$

که در این رابطه:

λ : اولین ضریب لامه

μ : دومین ضریب لامه (صلبیت)

δ_{ij} : دلتای کرونکر

این رابطه را می‌توان به سیستم محورهای اصلی تبدیل کرد:

$$\sigma_{ii} = 2\mu \cdot \varepsilon_{ii} + \lambda \Theta \quad (14-2)$$

بدین صورت که به جای تولید مجدد تابع، تولید مجدد n مقدار توابع خطی $L_1 f, \dots, L_n f$ مدنظر است. در واقع واسطه‌یابی یا درون‌یابی حالت خاصی از کولوکیشن می‌باشد اگر توابع $L_j f = f(P_j)$ برآورده‌کننده مقدار تابع در P_j باشند، یعنی:

(۱-۳) $L_j f = f(P_j)$
در یک سرشکنی معمولی، مشاهدات در معادله زیر به کار می‌روند:

$$f(x, 1+n) = 0 \quad (2-3)$$

در این حالت باقیمانده‌ها به صورت مستقل از هم تلقی شده‌اند چون عناصر غیرقطري ماتريس کوواريانس مشاهدات برای ما مجھول بوده و فرض بر اين است که مشاهدات به صورت مستقل از هم می‌باشند. در حالی که اين وابستگي‌ها هیچ وقت به صفر نمی‌رسند. حالت کلی تر اين است که هم باقیمانده‌های وابسته (s) داشته باشيم و هم باقیمانده‌های مستقل (n) و اين مطلب، بحث سرشکنی با دو مولفه را مطرح می‌کند.

اساس رياضي کولوکیشن به صورت زير می‌باشد:

$$L - f(x_0) = W = AX + s + n \quad (3-3)$$

در اين رابطه:

L: مقدار مشاهده شده

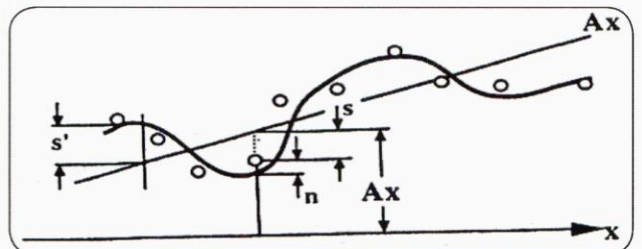
f(x₀): مقدار تقريري حاصل از خطى کردن

X: تقريب مجھولات مدل

AX: ترند در نقطه مشاهده

s: سيگنانل در نقطه مشاهده

n: نويز

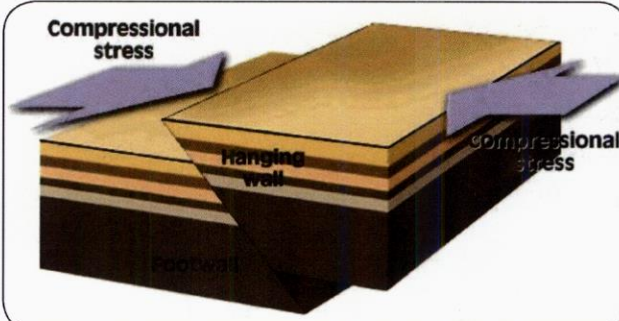


شکل ۳- کولوکیشن در حالت يك بعدی

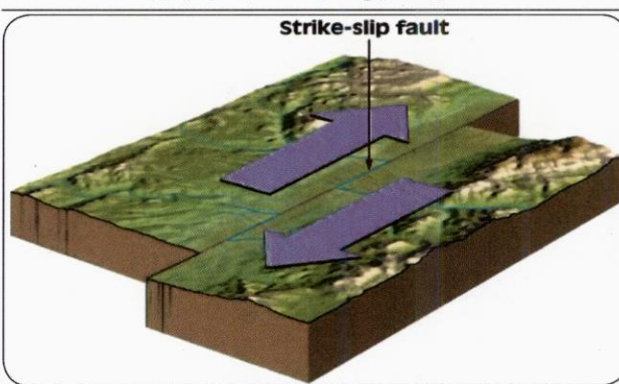
برآورده پارامترهای مدل رياضي، سرشکنی ناميده می‌شود. اين بخش توسط AX نمایش داده می‌شود.

ماتريس A مقادير تابعی برای پارامتر X را در بر دارد. خطى غيرسيستماتيك در مشاهدات به وسیله ترم نويز n مشخص می‌شود. علاوه بر ترم نويز، يك مقدار اتفاقی ديگر يعني سيگنانل s نيز مطرح می‌شود که تفاوت روش کولوکیشن را نسبت به يك سرشکنی كمترین مربعات مدل نشيده‌است. علاوه بر اين روش، کولوکیشن را نسبت به يك سرشکنی، فيلترینگ به معنی برآورده همزمان پارامترهای مدل رياضي و سيگنانل می‌باشد.

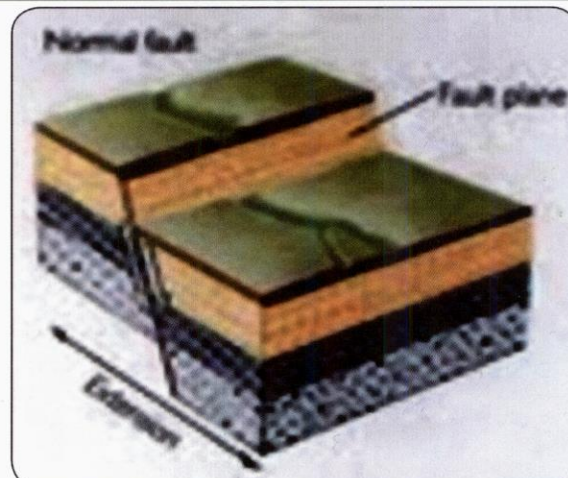
پيش‌بیني امكان تعين سيگنانل در مناطقی که مشاهده صورت نگرفته را فراهم می‌آورد. اين امكان يكى از دلائل موافقت کولوکیشن می‌باشد.



شکل ۳- انواع گسل‌ها : (الف) گسل نرمال



(ب) گسل معکوس (رانديگي) (Thrust)



(ج) گسل امتدادلغز (Strike-Slip)

۳- کولوکیشن و کاربرد آن در آنالیز میدان‌های تغییر شکل

۳-۱- فرموله کردن کولوکیشن

روش کولوکیشن در شصت سال اخیر، در ژئودزي مطرح شد [Krarup, 1969] و نخستین بار برای محاسبه ژئoid به کار گرفته شد. کولوکیشن يك روش تعديم يافته از سرشکنی كمترین مربعات می‌باشد. علاوه بر پارامترهای مدل رياضي، قسمت‌های سيس تمامیک مدل نشيده‌است. علاوه بر اين روش، برآورده نويز دارندگان اضافي، تحت بهترین ملاحظات ممکن برشوند. اين مجھولات اضافي، تحت تعين ملحوظات جامعی برای سرشکنی، فيلترينگ و پيش‌بیني، ارائه می‌دهد. کولوکیشن تعديمی است از مسئله واسطه‌یابی يا درون‌یابی،

شود. پیش‌بینی سیگنال حاصل از ماتریس همبستگی مکانی خاص (Site Specific C) و بردار همبستگی، مستقل از مکان k می‌باشد. استقلال بردار کروولیشن از مکان‌های پیش‌بینی، مزیت اصلی روش کولوکیشن می‌باشد.

۲-۳- محاسبه استرین مشتقات مکانی سیگنال، تنسور و دوران را نتیجه می‌دهند:

$$S_i^L = \sum_{j=1}^n (C_{ij}^L \cdot K_j) \quad (15-3)$$

که در این رابطه :

n: تعداد نقاط مشاهده شده

L: مؤلفه فضایی

i: این نقطه پیش‌بینی

مشتق جزیی سیگنال S_i^L نسبت به X^h به صورت زیر می‌باشد:

$$\frac{\partial S_i^L}{\partial X^h} = \sum_{j=1}^n \left(\frac{\partial C_{ij}^L}{\partial X_j^h} \cdot K_j + C_{ij}^L \frac{\partial K_j}{\partial X_j^h} \right) = \sum_{j=1}^n \left(\frac{\partial C_{ij}^L}{\partial X_j^h} \cdot K_j \right) \quad (16-3)$$

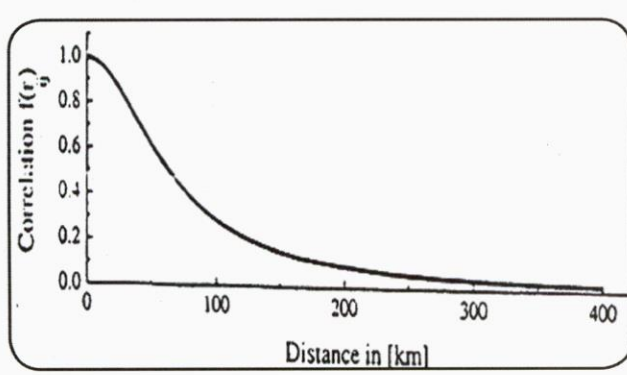
بردار کروولیشن K مستقل از موقعیت است. بنابراین ترم دوم برابر با صفر شده است و فقط باید از ماتریس کوواریانس مشتق گرفت.

۲-۴- تابع همبستگی (Correlation Function):

تابع همبستگی، ارتباط داخلی بین نقاط مشاهده شده و نقاطی که باید پیش‌بینی شوند را تعریف می‌کند. معمولاً تأثیر نقاط دور باید ناچیز باشد. لذا، با افزایش فاصله، مقدار تابع معمولاً کاهش می‌باید و به‌سمت صفر همگرا می‌شود. از آن جا که بیشتر علاوه‌مند به استرین - مشتق اول سیگنال - هستیم، لذا تابعی انتخاب می‌شود که در نقطه صفر دارای گرادیانت (شیب) محدود باشد. یک نمونه از چنین توابعی که در آنالیز استرین منطقه دریای مرمره استفاده شده است [Straub, 1996] به صورت زیر می‌باشد:

$$f(r_{ij}) = \frac{r_0^2}{r_0^2 + r_{ij}^2} \quad (17-3)$$

فاصله بین نقطه مشاهده شده P_i و نقطه مورد نظر P_j می‌باشد مقدار r_0 را مطمئن می‌سازد که مشتق اول در موقعیت صفر، محدود



شکل ۴- تابع کروولیشن ($r_0 = 64 \text{ km}$)

علاوه بر دیدگاه ریاضی، در مورد رفتار همبستگی‌ها (Correlations) بین پارامترهای سیگنال و نویز باید فرضیه‌هایی را در نظر گرفت. این فرضیه‌ها در ماتریس‌های کوواریانس C_{ss} و C_{nn} ظاهر می‌شوند. معمولاً انتظار می‌رود که نویزها غیر وابسته (Uncorrelated) باشند. بنابراین، ماتریس کوواریانس نویزها قطری می‌باشد. همچنین فرض می‌شود که هیچ وابستگی بین پارامترهای نویز و سیگنال وجود ندارد. ($C_{ns} = C_{sn} = 0$).

چنانچه قصد داشته باشیم که مقادیر سیگنال 'S' را در نقاط مشاهده نشده پیش‌بینی کنیم، ناچاریم که کروولیشن‌های (همبستگی) C_{ss} و $C_{ss'}$ بین نقاط مشاهده شده و نقاطی که قرار است پیش‌بینی شوند را مطرح کنیم. بنابراین معادله کولوکیشن می‌تواند به صورت زیر نوشته شود:

$$AX + B^T V' - W = 0 \quad (4-3)$$

که در این رابطه:

$$B^T = (E_{n,n} \quad 0_{n,p} \quad E_{n,n})_{n \times (2n+p)} \quad (5-3)$$

$$V' = \begin{pmatrix} S_{n,1} \\ S'_{p,1} \\ S_{n,1} \end{pmatrix}_{(2n+p) \times 1} \quad (6-3)$$

$$C = \begin{pmatrix} C_{ss} & C_{ss'} & 0 \\ C_{s's} & C_{s's'} & 0 \\ 0 & 0 & C_{nn} \end{pmatrix} \quad (7-3)$$

مشابه آنچه که در سرشکنی داریم $V'^T P V'$ باید کمترین مقدار شود ($P = C^{-1}$).

معادله‌های مهم زیر را می‌توان از این معادله استخراج نمود. این معادله‌ها جواب‌های پارامترهای مورد نظر ما از کولوکیشن می‌باشند.

$$D = C_{nn} + C_{ss} \quad (8-3)$$

$$K = D^{-1} (I - AX) \quad (9-3)$$

$$X = (A^T D^{-1} A)^{-1} A^T D^{-1} L \quad (10-3)$$

$$n = C_{nn} K \quad (11-3)$$

$$S = C_{ss} K \quad (12-3)$$

$$S' = C_{ss'} K \quad (13-3)$$

$$\sigma_{a \text{ post}} = \frac{S^T C_{ss}^{-1} S + n^T C_{nn}^{-1} n}{n - u} \quad (14-3)$$

تعداد مشاهدات n و تعداد مجھولات u است. این معادله‌ها نشان می‌دهند که بردار همبستگی k فقط به نقاط مشاهده شده بستگی دارد. بنابراین، k فقط یکبار باید تعیین

$$\varepsilon_i^{Lh} = \frac{\partial S_i^L}{\partial X_j^h} = \sum_{j=1}^n \left(\frac{\partial C_{ij}^L}{\partial X_j^h} \cdot K_j \right) = \sum_{j=1}^n \sigma_L^2 \frac{2 r_{0L}^2 \cdot r_{sphere}^2 \cdot \frac{\text{arc cos}(\nu_{ij})}{\sqrt{1-\nu_{ij}^2}} \cdot \frac{\partial \nu_{ij}}{\partial X_j^h} \cdot K_j}{(r_{0L}^2 + r_{sphere}^2 \cdot \text{arc cos}^2(\nu_{ij}))^2} \quad (24-3)$$

یکی از موارد، تعیین بهترین طول همبستگی ممکن می‌باشد: اگر (Correlation Length) خیلی کوتاه باشد، مقادیر مشاهده شده از هم جدا و ایزووله می‌شوند، میدان پیوسته‌ای را نمی‌توان استخراج کرد. اگر (Correlation Length) خیلی بلند در نظر گرفته شود میدان به دست آمده خیلی یکنواخت و Smooth می‌شود و اطلاعات محلی هم از دست می‌روند. [۱۹۹۰] Wirth پیشنهاد کرد که طول همبستگی (Correlation Length) کمتر از متوسط فواصل بین سایت‌ها در نظر گرفته نشود.

۴- روش اجزا محدود

۴-۱- اساس روش اجزاء محدود (Finite Element Method)

روش اجزاء محدود در اوایل دهه ۶۰ به بهره‌برداری رسید. این روش اثر خیلی زیادی را در فنون شبیه‌سازی ساختمان‌ها (استاتیک و دینامیک) و نیز مسائل تئوری پتانسیل داشته است. تاکنون استفاده از روش اجزاء محدود، برای حل اهداف ژئودینامیکی یک کاربرد به نسبت آشنا بوده است.

اگر ما با تعداد محدودی از مجھولات مواجه باشیم، محاسبات رفتار مکانیکی یک جسم، می‌تواند انجام شود. از این گذشته ما باید خواص مکانیکی جسم را بدانیم. این ساده‌سازی‌ها اساس و ایده بنیادی روش FEM می‌باشد. جسم پیوسته (Continuum) به بخش‌های ساده‌تر تقسیم می‌شود که این بخش‌ها، اجزاء محدود نامیده می‌شوند. هدف از این کار به دست آوردن عنصری است که رفتار آنها به صورت ساده‌تری قابل مدل‌شدن باشد. درون این عناصر، خواص مکانیکی توسط تابع ساده‌ای تقریب می‌شود.

اتصال عناصر توسط Node‌ها انجام می‌شود. یک مدل ریاضی از سیستم فیزیکی ایجاد می‌شود و وظیفه اصلی FEM تبدیل Continuum و متعلق‌بودن معادلات دیفرانسیل به یک سیستم جبری مجزا (Discrete) می‌باشد، به‌گونه‌ای که قادر باشد تا خواص واقعی را نمایش دهد. ما باید یک سیستم معادلات جبری را حل کنیم. بنابراین، از تئوری الاستیسیته خطی استفاده می‌شود.

شرایط تعادل elasto – statics به صورت زیر می‌باشد:

$$\frac{\partial \sigma_{xx}}{\partial x} + \frac{\partial \tau_{xy}}{\partial y} + \frac{\partial \tau_{xz}}{\partial z} + \bar{X} = 0 \quad (1-4)$$

$$\frac{\partial \tau_{yx}}{\partial x} + \frac{\partial \sigma_{yy}}{\partial y} + \frac{\partial \tau_{yz}}{\partial z} + \bar{Y} = 0$$

$$\frac{\partial \tau_{zx}}{\partial x} + \frac{\partial \tau_{zy}}{\partial y} + \frac{\partial \sigma_{zz}}{\partial z} + \bar{Z} = 0$$

$$\sigma^T = (\sigma_{xx}, \sigma_{yy}, \sigma_{zz}, \tau_{xy}, \tau_{yz}, \tau_{zx})$$

$$F_v^T = (\bar{X}, \bar{Y}, \bar{Z})$$

در این رابطه:
استرین داخلى
نیروی واردہ بر حجم

می‌باشد. یک نمونه از منحنی چنین تابعی با یک طول همبستگی (Correlation Length) 64 km چنانچه تابع همبستگی را در σ_L^2 (مقدماتی سیگنال) ضرب کنیم، مقادیر ماتریس همبستگی به دست می‌آید.

$$C_{ij}^L = \sigma_L^2 \cdot \frac{r_{0L}^2}{r_{0L}^2 + r_{ij}^2} \quad (18-3)$$

C_{ij}^L همبستگی L امین مولفه فضایی بین نقطه P_i و P_j می‌باشد. می‌توان از فاصله کروی برای تعیین ماتریس همبستگی C_{ij}^L استفاده کرد. به‌حال، مختصات کروی هنوز به صورت جداگانه بحث می‌شوند. بنابراین، فقط میدان‌های تغییر شکل منطقه‌ای (Regional) می‌توانند به صورت موقت آمیز Collocate شوند. برای مناطق قطبی ممکن است یک ترانسفورماسیون قبلی Data مورد نیاز باشد. فاصله کروی بین یک نقطه مشاهده شده P_i و یک نقطه P_j مورد نظر r_{ij} بر روی یک کره عبارت است از:

$$r_{ij} = r_{sphere} \cdot \text{arc cos}(\nu) = r_{sphere} \cdot \text{arc cos}(\sin(\phi_i) \sin(\phi_j) + \cos(\phi_i) \cos(\phi_j) \cos(\Delta\lambda)) \quad (19-3)$$

در این رابطه:

r_{sphere} : شعاع کره

ν : کسینوس زاویه مرکزی بین دو نقطه

ϕ_i : عرض جغرافیایی نقطه مشاهده شده

ϕ_j : عرض جغرافیایی نقطه مورد نظر

$\Delta\lambda$: اختلاف طول جغرافیایی دو نقطه

این فاصله را می‌توان در مورد ماتریس کوواریانس فوق مطرح کرد. مشتق این ماتریس عبارت است از:

$$\frac{\partial C_{ij}^L}{\partial X_j^h} = \sigma_L^2 \frac{-2 r_{0L}^2 \cdot r_{ij} \frac{\partial r_{ij}}{\partial X_j^h}}{(r_{0L}^2 + r_{ij}^2)} \quad (20-3)$$

$\frac{\partial r_{ij}^L}{\partial X_j^h}$ بیانگر مشتق داخلی در موقعیت ز در جهت مولفه h می‌باشد و می‌تواند به صورت زیر تجزیه شود:

$$\frac{\partial r_{ij}^L}{\partial X_j^h} = \frac{-r_{sphere}}{\sqrt{1-\nu^2}} \cdot \frac{\partial \nu}{\partial X_j^h} \quad (21-3)$$

این مشتقات درونی (innermost) باید به صورت جداگانه برای پارامترهای ϕ و λ بررسی شوند:

$$\frac{\partial \nu}{\partial \phi_j} = \sin(\phi_i) \cos(\phi_j) - \cos(\phi_i) \sin(\phi_j) \cdot \cos(\Delta\lambda) \quad (22-3)$$

$$\frac{\partial \nu}{\cos(\phi_j) \partial \lambda_j} = -\sin(\phi_i) \sin(\phi_j) \cdot \cos(\Delta\lambda) \quad (23-3)$$

مشتق‌ها در جهت شعاع بررسی نمی‌شوند چرا که آنالیزی بر روی اختلاف ارتفاع‌ها انجام نشده است.

در نهایت استرین تنسور ϵ^L در موقعیت زیر به دست می‌آید:

مدل است نه فقط برای یک المان.

$$V_e = N_e \cdot V_k \quad (7-4)$$

N_e ماتریسی است که درون یابی تغییر شکل را در المان شرح دهد و به آن تابع فرم گویند. بیشتر نرم افزارها از یک تابع خطی یا bilinear استفاده می‌کنند. بعضی از نرم افزارها [RASANA, 1995] این قابلیت را دارند، برای این منظور از چند جمله‌ای‌هایی تا درجه ۹ استفاده می‌کنند.

با استفاده از اپراتور دیفرانسیلی D استرین ϵ درون یک المان را می‌توان به صورت زیر نوشت:

$$\epsilon_e = D \cdot V_e = D \cdot N_e \cdot V_k = B_e \cdot V_k \quad (8-4)$$

بنابراین قانون هوک را می‌توان به صورت زیر نوشت.

$$\sigma_e = E_e \cdot B_e \cdot V_k \quad (9-4)$$

با جایگذاری این دو معادله، در رابطه (۴-۵) داریم:

$$\pi_e = \frac{1}{2} \int_e (E_e \cdot B_e \cdot V_k)^T \cdot B_e \cdot V_k \cdot dV_e - \int_v F_v^T \cdot N_e \cdot V_k \cdot dV_e$$

$$+ \int_{A_e} F_p^T \cdot N_e \cdot V_k \cdot dA_e = \min \quad (10-4)$$

V_k دربرگیرنده همه جابه‌جایی‌های مدل است. بنابراین، مستقل از پارامترهای انتگرال بوده و داریم:

$$\pi_e = \frac{1}{2} V_k^T \int_e (B_e^T \cdot E_e \cdot B_e \cdot dV_e) \cdot V_k - V_k^T \cdot \left(\int_e N_e^T \cdot F_v^T \cdot dV_e \right)$$

$$+ \int_{A_e} N_e^T \cdot F_p^T \cdot dA_e = \min \quad (11-4)$$

ماتریس سختی (Stiffness matrix) را به صورت زیر تعریف می‌کنیم:

$$K_e = \int_{V_e} B_e^T \cdot E_e \cdot B_e \cdot dV_e \quad (12-4)$$

حال همه عناصر تک، با هم جمع می‌شوند. این شرط حداقل برای کل مدل را ارائه می‌دهد:

$$K = \sum_e K_e = \sum_e \int_{V_e} B_e^T \cdot E_e \cdot B_e \cdot dV_e \quad (13-4)$$

$$f_v = \sum_e \int_{V_e} N_e^T \cdot F_v^T \cdot dV_e \quad (14-4)$$

$$f_p = \sum_e \int_{A_e} N_e^T \cdot F_p^T \cdot dA_e \quad (15-4)$$

بنابراین می‌توان شرط حداقل بودن را به صورت زیر نوشت:

$$\pi(V_k) = \frac{1}{2} \cdot V_k^T \cdot K \cdot V_k - V_k \cdot (f_v + f_p) = \min \quad (16-4)$$

بردار $F = f_v + f_p$ حاوی همه نیروهایی است که از خارج بر المانها وارد می‌شود. مشتق اول π باید مساوی صفر باشد.

$$\frac{\partial \pi(V_k)}{\partial V_k} = K \cdot V_k - F = 0 \quad \text{or} \quad K \cdot V_k = F \quad (17-4)$$

این رابطه، وابستگی خطی بین ماتریس منحنی کل مدل K جابه‌جایی در نودها V_k و نیروهای خارجی وارد شده بر جسم را ارائه می‌دهد.

روابط بین استرین و جابه‌جایی‌ها به صورت زیر تعریف می‌شود:

$$\begin{bmatrix} \epsilon_{xx} \\ \epsilon_{yy} \\ \epsilon_{zz} \\ \gamma_{xy} \\ \gamma_{yz} \\ \gamma_{zx} \end{bmatrix} = \begin{bmatrix} \partial/\partial x & 0 & 0 \\ 0 & \partial/\partial y & 0 \\ 0 & 0 & \partial/\partial z \\ \partial/\partial y & \partial/\partial x & 0 \\ 0 & \partial/\partial z & \partial/\partial y \\ \partial/\partial z & 0 & \partial/\partial x \end{bmatrix} \begin{bmatrix} u \\ v \\ w \end{bmatrix} = D \begin{bmatrix} u \\ v \\ w \end{bmatrix} \quad (2-4)$$

در این رابطه:

اپراتور دیفرانسیلی: D

جابه‌جایی‌ها: u, v, w

$$\epsilon^T = (\epsilon_{xx}, \epsilon_{yy}, \epsilon_{zz}, \gamma_{xy}, \gamma_{yz}, \gamma_{zx})$$

استرین فرمول کلی اصل جابه‌جایی‌های مجازی به صورت زیر می‌باشد:

$$\int_V \sigma^T \cdot \partial \epsilon \cdot dV = \int_V F_v^T \cdot \partial d \cdot dV + \int_A F_p^T \cdot \partial d \cdot dA \quad (3-4)$$

در این رابطه:

$$\partial \epsilon^T = (\partial \epsilon_{xx}, \partial \epsilon_{yy}, \partial \epsilon_{zz}, \partial \gamma_{xy}, \partial \gamma_{yz}, \partial \gamma_{zx}) \quad \text{Infinite Strain Theory}$$

نیروی وارد بر سطح

$$F_P^T = (f_x, f_y, f_z) \quad \text{جابه‌جایی‌های مجازی در سیستم مختصات محلی}$$

$$\partial d = (\partial u, \partial v, \partial w) \quad A, V$$

سطح و حجم

برخلاف آنالیز استرس و استرین در اینجا بردارهای استرین و استرس به شکل متفاوت نوشته شده‌است.

عناصر غیرقطدری به وسیله حروف خاص مشخص شده‌اند (استرین: π و استرس: τ)

طرف اول معادله (۴-۳) متناظر با انرژی درونی U می‌باشد.

طرف دوم، پتانسیل W نیروهایی است که از خارج بر جسم اثر می‌کنند. بنابراین، اصل جابه‌جایی‌های مجازی به صورت زیر می‌تواند نوشته شود:

$$\partial U + \partial W = \partial (U + W) = 0 \quad (4-4)$$

انرژی پتانسیل کل المان به صورت زیر تعریف می‌شود:

$$\pi_e = U_e + W_e = \frac{1}{2} \int_{V_e} \sigma_e^T \cdot \epsilon_e \cdot dV_e - \int_{V_e} F_v^T \cdot d_e \cdot dV_e + \int_{A_e} F_p^T \cdot d_e \cdot dA_e \quad (5-4)$$

بنابر اصل جابه‌جایی‌های مجازی باید داشته باشیم:

$$\partial \pi_e = 0 \quad (6-4)$$

از آن جایی که استرین به جابه‌جایی‌ها بستگی دارد، π_e را می‌توان

به عنوان تابعی از جابه‌جایی‌ها در نظر گرفت. بنابراین، می‌توان نتیجه گرفت که یک جسم الاستیک در حال تعادل اگر تغییرات جابه‌جایی‌های مجازی π_e صفر باشد:

«یک جسم الاستیک خطی در حال تعادل است اگر انرژی پتانسیل کل π_e حداقل باشد.»

از این نتیجه برای روش اجزاء محدود استفاده می‌شود. جابه‌جایی ϵ در درون یک المان را می‌توان به صورت تابعی از جابه‌جایی‌های V_k نودها (Node) تلقی کرد. V_k شامل تغییر شکل همه نودها در کل

۵- نتیجه گیری:

- ۱- یک مدل ریاضی از سیستم فیزیکی ایجاد می‌شود و وظیفه اصلی FEM تبدیل Continuum و متعلق بودن معادلات دیفرانسیل به یک سیستم جبری مجرا (Discrete) می‌باشد، به گونه‌ای که قادر باشد تا خواص واقعی را نمایش دهد.
- ۲- با استفاده از تنسورهای استرین و استرس، دانسیته انرژی استرین را می‌توان به دست آورد. دانسیته انرژی استرین، کمیت مهمی برای تعیین نقطه‌ای است که بیشترین مقدار انرژی را در خود ذخیره دارد. چنین مناطقی، پر احتمال‌ترین مناطقی هستند که انتظار می‌رود انرژی انباسته شده را طی یک زمین‌لرزه آزاد کنند.
- ۳- آنالیز استرس و استرین بر اساس درون‌یابی داده‌ها به روش کولوکیشن محدودیت‌هایی را در انتپولاسیون نشان می‌دهد. کولوکیشن به شدت به توزیع مکانی داده‌ها حساس می‌باشد. لذا، انتپولاسیون اطلاعات نامهمگن، مشکل و بحث‌برانگیز می‌باشد.
- ۴- مدل‌های اجزاء محدود یک روش مناسب برای ترکیب اطلاعات گوناگون و مربوط علوم زمینی از قبیل ساختارهای گسل (زمین‌شناسی)، گینماتیک (ژئودزی، لرزه‌نگاری)، و توزیع مکانی خواص سنگ (لرزه‌نگاری، ژئوترمیک)، می‌باشند. در آینده مدل‌های اجزاء محدود قطعاً در بعد سوم نیز گسترش می‌یابند.
- ۵- تابع همبستگی، ارتباط داخلی بین نقاط مشاهده شده و نقاطی که باید پیش‌بینی شوند را تعریف می‌کند. معمولاً تأثیر نقاط دور باید ناچیز باشد. لذا، با افزایش فاصله، مقدار تابع معمولاً کاهش

۶- منابع

1. Christian Straub (1996) : " Recent Crustal Deformation and Strain Accumulation in the Marmara Sea Region, N . W . Anatolia, Inferred from GPS Measurements " , A thesis for the degree of Doctor of Technical Science from Swiss Federal Instiue of Technology Zurich .
2. Thapa , K . (1980): " Strain as a Diagnostic tool to identify inconsistent Observations and constrints in horizontal geodetic networks " ,M.Sc. Thesis from university of New Branswick
3. Vanicek, P. (1986): " Geodesy , the concept "
4. Moritz, (1979): "Approximation methods in geodesy"
5. Schneider, D: "Complex strin parameters" 

سامانه گویای اداره امور مشتریان

سازمان نقشه‌برداری کشور
با شماره تماس ۰۷۱۱۰۹۶۶۰

به طور شبانه‌روزی آماده پاسخگویی به سفارشات مربوط به عکس‌های هوایی می‌باشد.



تغییرات میدان ثقل در طی سال‌های ۱۹۸۵-۱۹۹۹ در امتداد شکاف Asal و ارتباط آن با جابه‌جایی‌های قائم و حرکت توده

نویسنده‌گان:

Valerie Ballu, Michel Diament, Pierre Briole, Jean-Claude Ruegg از موسسه‌فیزیک جهانی پاریس

ترجممان:

مهندس حمیده چراغی، کارشناس ارشد بخش فیزیکال ژئودزی سازمان نقشه برداری کشور
cheraghi-h@ncc.org.ir

دکتر علی سلطان‌پور، رئیس اداره فیزیکال ژئودزی سازمان نقشه برداری کشور
soltanpour@ncc.org.ir

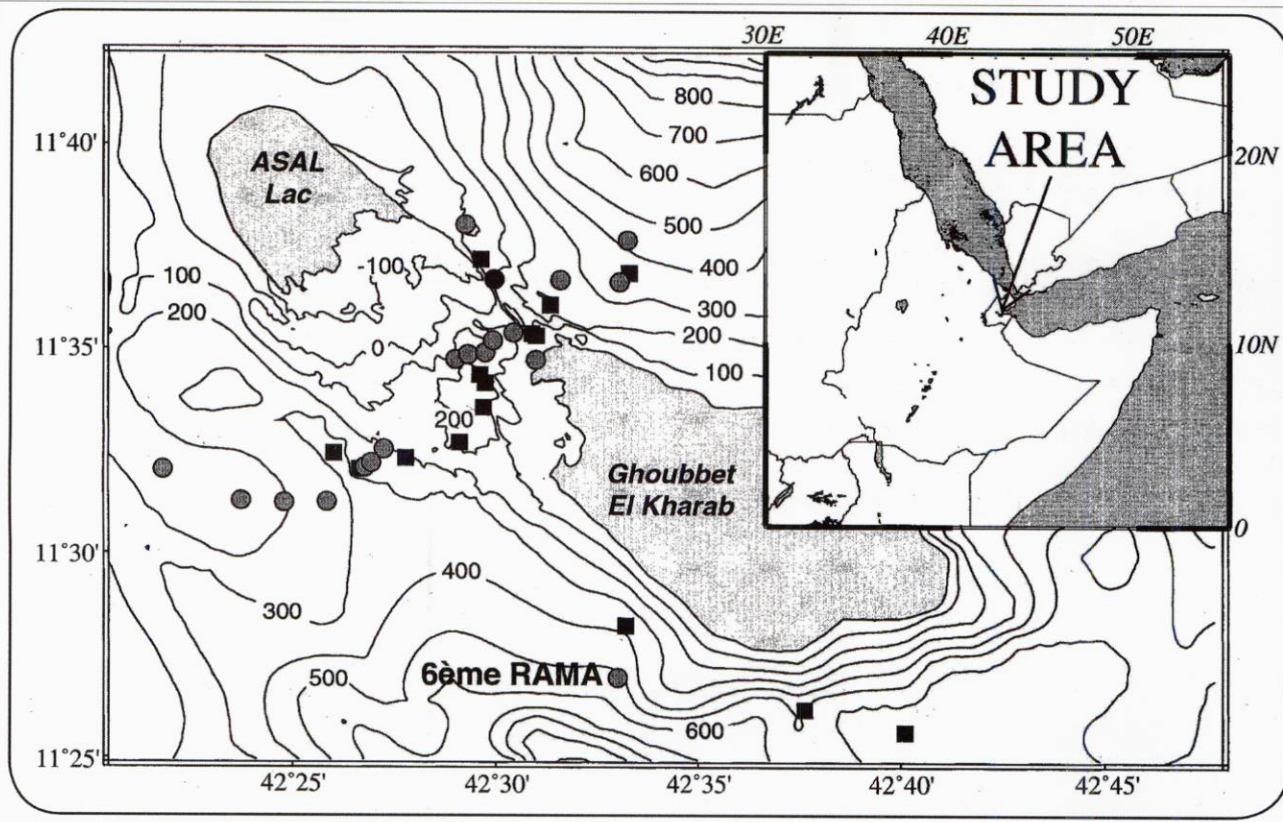
تکرار اندازه‌گیری‌های ثقل در منطقه شکاف Asal مشخص می‌کند که قسمت مرکزی شکاف^۱ شمالی ممکن است علاوه بر جابه‌جایی‌های قائم، در معرض ورود توده نیز قرار گرفته باشد. اندازه‌گیری‌های دقیق نسبی ثقل در سال‌های ۱۹۸۵ و ۱۹۹۹ انجام گرفت. تغییرات زمانی میدان ثقل، در دوره تناب ۱۱ و ۱۴ ساله، نشان‌دهنده افزایش نسبی ثقل در حدود ۳۰ میکروگال در منطقه مرکزی شکاف (منطقه فعل از زمان رویداد شکاف Ardoukoba^۲) نسبت به دو طرف آن است. مقایسه بین داده‌های ثقل با داده‌های تغییر شکل قائم که در امتداد ۵۰ کیلومتری از محورهای ترازیابی که بین سال‌های ۱۹۸۴ تا ۲۰۰۰ توسط سازمان نقشه‌برداری فرانسه (IGN)^۳ جمع‌آوری شده، قابل مقایسه است. مقایسه‌ها نشان داد که جابه‌جایی قائم به تنهایی نمی‌تواند تغییرات ثقل مشاهده شده را توضیح دهد و برخلاف سایر تحقیقات انجام شده در زمینه آتش‌نشانی، تغییرات ثقل و ارتفاع نمی‌توانند تنها توسط یک فرآیند نظیر نشتست، انبساط توده و یا متراکم شدن توده مدل‌سازی شوند.



۱- مقدمه

متتمادی به عنوان یک نمونه و مدل مناسب شناخته شده است. هر دو سر این شکاف زیر آب قرار دارد، ولی مرکز آن بیرون از سطح آب بوده و بنابراین یک آزمایشگاه طبیعی برای انجام مطالعه در زمینه شکاف است. به علاوه، شکاف Asal-Ghoubbet به خوبی از منظر ژئودتیک و تکتونیک مطالعه شده است، بنابراین این موضوع به تفسیر داده‌های ثقل نیز کمک می‌کند. یکی از اهداف مطالعه در این زمینه، اطلاع از عکس العمل متقابل ماگما-تکتونیک^۴ در ایجاد مورفلولوژی محوری است. به علاوه، کنترل و بررسی در نزد جابه‌جایی‌های قائم در شکاف، موجب افزایش اطلاعات در زمینه واکنش الاستیک لیتوسفر نسبت به کشیدگی افقی آن و بنابراین رئولوژی لیتوسفر می‌گردد.

در این مقاله تغییرات زمانی میدان ثقل بررسی می‌شود. زمانی که تاثیر پدیده‌های خارجی نظیر جزر و مد و پارامترهای محیطی (نظیر فشار اتمسفر) حذف شده باشند، تغییرات میدان ثقل در یک نقطه به موقعیت اندازه‌گیری (بیشتر به ارتفاع، زیرا گرادیان ارتفاعی ثقل قوی‌تر از گرادیان افقی است)، جابه‌جایی توده و تغییر دانسیتۀ سطوح زیرین و اطراف نقطه اندازه‌گیری وابسته است. تغییرات



شکل ۱: نقشه منطقه مورد مطالعه. در این نقشه موقعیت ایستگاه‌های مختلف اندازه‌گیری شده با نمادهای متفاوت نشان داده شده‌اند. دایره‌های خاکستری نشان‌گر ایستگاه‌های هستند که در سال ۱۹۷۳ در امتداد مسیر ترازیابی IGN ساخته شده‌اند و مریع‌های سیاه ایستگاه‌های جدید ثقل هستند که مشترک با ایستگاه‌های GPS می‌باشند و در سال ۱۹۹۹ ایجاد شده‌اند. ایستگاه 6ème RAMA یک ایستگاه خارجی است که به عنوان مبنای ثقل در منطقه مورد مطالعه استفاده شده است.

از مشاهدات شبکه‌های ژئودتیکی در مقیاس‌های مختلف صورت گرفته است. به علاوه، وقایع و رویدادهای زمین ساختی^۸ رخ داده در این منطقه در سال ۱۹۷۸ (رویداد Ardoukoba) فرستی برای انجام مطالعات تغییر شکل مرتبط با زلزله و بین زلزله‌ای فراهم آورد. گستردگی رویداد Ardoukoba با رخدادهای لرزه‌ای مهم، فعالیت مجدد شکاف‌ها، گسل‌ها و آتش‌فشنان‌های جدید، مشخص گردید. (1980) Gerard و همکاران وی تغییرات ثقل را در امتداد شکاف Asal در سال‌های ۱۹۷۳ تا ۱۹۷۹ مورد اندازه‌گیری و آنالیز قرار دادند. نتیجه این بررسی حاکی از آن بود که در قسمت مرکزی شکاف، کاهش ثقلی مستقل از تغییرات ارتفاعی زمین وجود دارد. آنها علت ایجاد این تغییر ثقل را افزایش دانسیتی‌ای دانستند که به دلیل کاهش فشار و ذوب شدن صخره‌های عمیق مرتبط با رویداد Ardoukoba به وجود آمده بود.

۳- داده‌های ثقل و ترازیابی

اطلاعات مستقل و جداگانه از تغییرات ارتفاعی ایستگاه این امکان را می‌دهد که تغییرات زمانی میدان ثقل به تاثیر پارامترهای تغییرات ارتفاع و تغییرات توده منفک شود. به همین دلیل، شبکه‌های ثقل بر روی مسیرهای ترازیابی قرار گرفته‌اند. مسیر ترازیابی در سال ۱۹۷۲-۱۹۷۳ در چهارچوب یک پروژه هدایت شده توسط IPG-CNRS^۹ و IGN^{۱۰} برای نظارت بر جایه‌جایی‌های قائم در امتداد شکاف ایجاد شد.

زمانی ثقل همراه با اندازه‌گیری‌های مستقل ارتفاعی، می‌تواند اطلاعات مفیدی را در مورد فرآیندهای ژئودینامیکی نظری شکاف یا فعالیت‌های آتش‌فشنانی فراهم آورد. انجام چندین تحقیق در زمینه آتش‌فشنان‌ها نشان می‌دهد که تقریباً تغییرات زمانی سیستماتیک ثقل وابسته به فعالیت آتش‌فشنان‌ها بوده و ارتباط بین تغییرات ثقل و تغییرات ارتفاع نمی‌تواند به سادگی توسط گرادیان ارتفاعی ثقل توضیح داده شود. هدف از این مقاله تشخیص یک سیگنال ژئوفیزیکی در حدود چند ده میکرومترگال است. Bonvalot (1998) (1997) Carrbone و Budetta نشان دادند که چنین دقیقی به راحتی با استفاده از گرامیترهای نسبی CG3 و انجام مشاهدات دقیق قابل دستیابی است.

۴- منطقه مورد مطالعه

مثلث Afar در تقاطع سه مرز بین صفحه‌ای قرار گرفته است: شکاف دریای احمر^{۱۱}، شکاف عدن^{۱۲} و شکاف شرق آفریقا^{۱۳} (شکل ۱). این سه مرز دقیقاً به هم متصل نشده‌اند. مرز شکاف عدن در غرب نقطه جنوبی دریای سرخ واقع شده و Afar یک منطقه پیچیده بین این دو است. شکاف Asal در راس غربی شکاف عدن واقع شده است. با وجود پیچیدگی که در این منطقه وجود دارد، شکاف Asal تاکنون به طور وسیعی مورد مطالعه قرار گرفته است. تحقیقات زمینی زیادی در زمینه تکتونیک و تغییر شکل با استفاده

جابه‌جایی‌های تکتونیک در مقیاس‌های کوچکتر مورد توجه است، این روند خطی از داده‌های ترازیابی ۲۰۰۰ حذف گردید.

۴- پردازش داده‌های ثقل

داده‌های ثقل سال‌های ۱۹۸۵ و ۱۹۸۸ توسط Rakotoary و Briole و اعمال روش سرشکنی Reilly مورد پردازش قرار گرفت. در این بخش، پردازش مشاهدات سال ۱۹۹۹ شرح داده می‌شود. ابتدا داده‌های هر ثقل سنج به صورت جداگانه به منظور حذف دریفت دستگاهی و تاثیرات شناخته شده مرتبط با شرایط اندازه‌گیری مورد پردازش قرار گرفتند. تصحیحات دما، فشار، ارتفاع ثقل سنج نسبت به بنچ مارک و تاثیر جزر و مد با استفاده از نرم‌افزار CG3TOOL انجام گرفت. تصحیح جزر و مد زمین، با استفاده از مشاهدات پیوسته ثقل در طی چندین دوره تناوب (معمولًا در شب با دوره تناوب ماکریم ۴۸ ساعت) ارزیابی شد. دو مدل متفاوت جزر و مدی آزمایش گردید، یکی از آنها جاذبه ماه و خورشید را در نظر گرفت و دیگری مدل جزر و مدی استاندارد Cartwright بود. نتایج مورد مقایسه قرار گرفت و بیشترین اختلاف به میزان ۱۰ میکروگال بین دو مدل به دست آمد. سپس برای پردازش داده‌های هر دو گراویمتر، با استفاده از دو برنامه مختلف، سرشکنی اعمال گردید. برنامه اول NETWORK نام دارد که از انحراف معیار در داده‌های ورودی استفاده نمی‌کند، اما به صورت خودکار نقاط بد را بر اساس باقیمانده آنها بعد از تکرار و مینیمم کردن باقیمانده‌ها حذف می‌کند. دومین روش استفاده از Geolab است، که در آن تمام داده‌ها حفظ شده و داده‌های ورودی بر اساس انحراف معیار آنها وزن دار می‌شوند. کالیبراسیون دستگاهها در فرانسه قبل از اندازه‌گیری‌ها انجام شده است. ضربی کالیبراسیون در شبکه با حداقل کردن rms محاسبه شده و مقدار 1.0024 ± 0.0001 با شماره سریال CG3-M ۳۲۲ به داشت آمد که با کالیبراسیون قبلی به دست آمده برای این دو دستگاه مطابقت دارد. به علاوه، ضربی کالیبراسیون روزانه نیز محاسبه شده است. اختلاف بین مقدار ثقل محاسبه شده با ضربی کالیبراسیون روزانه یا ضربی کالیبراسیون ثابت در تمام داده‌ها (داده‌های هر دو گراویمتر با حداقل کردن rms محاسبه شده‌اند) کوچک بوده و مقدار آن برابر $1.5 \pm 0.9 \mu\text{Gal}$ با استفاده از نرم‌افزار Geolab محاسبه شده است. نتایج حداقل کردن rms با استفاده از دو برنامه مختلف NETWORK و Geolab مقایسه گردید. اختلاف میانگین (در مقدار مطلق) محاسبه شده بین این دو نرم‌افزار $5.4 \pm 4.5 \mu\text{Gal}$ است، که این مقدار بعد از حذف دو ایستگاه نامناسب (ایستگاه‌های ۱۸ و C) که دارای اختلاف بیشتر از $40 \mu\text{Gal}$ هستند، به دست آمده است. این اختلاف احتمالاً به این دلیل است که برنامه NETWORK تعدادی از داده‌ها را حذف می‌کند. در این تحقیق، تصمیم گرفته شد که از Geolab با ضربی کالیبراسیون ثابت بین دو گراویمتر استفاده شود.

اندازه‌گیری‌های کامل ثقل در امتداد این مسیر در سال ۱۹۷۲ انجام گرفت و در سال ۱۹۷۹ تکرار شد. در حال حاضر به دلیل غیرقابل دسترس بودن قسمت‌هایی از جاده قبلی، بیشتر کار زمینی ژئودزی در قالب اندازه‌گیری‌های GPS، که در امتداد جاده جدید واقع شده است، می‌باشد. اگرچه تعیین موقعیت قائم با GPS به دقت داده‌های ترازیابی ارتباطی ندارد، اما داده‌های GPS که به صورت منظم جمع‌آوری شده‌اند، اطلاعات پیوسته بیشتری از تغییر شکل ثقل سنج قائم و افقی را فراهم می‌آورد. بنابراین در سال ۱۹۹۹ ایستگاه‌های ثقل مشترک با ایستگاه‌های جدید GPS به شبکه ثقل قبلی اضافه شدند.

۳.۱- اندازه‌گیری‌های اولیه ثقل

اندازه‌گیری‌های اولیه ثقل، در شکاف Asal در سال ۱۹۷۳ انجام گرفت. این اطلاعات با استفاده از گرانی سنج (ثقل سنج) Worden مجموع آوری شده و دقت آنها در مقایسه با اندازه‌گیری‌های بعدی کمتر بود. مقادیر ثقل در سال ۱۹۷۹ (بعد از رویداد Ardoukoba) با استفاده از ثقل سنج LCR مدل D دوباره اندازه‌گیری شدند. داده‌های ثقل مجدد در سال ۱۹۸۵ با استفاده از LCR مدل G توسط Delattre و Rakotoary و در سال ۱۹۸۸ توسط نویسنده سوم این مقاله با استفاده از همان دستگاه اندازه‌گیری شدند.

۳.۲- مجموعه اطلاعات ثقل در ماه فوریه ۱۹۹۹

مشاهده ثقل مجموعاً در ۳۴ ایستگاه انجام گردید که شامل ۱۸ ایستگاه از ایستگاه‌های قبلی و ۱۶ ایستگاه جدید که با ایستگاه‌های GPS مشترک هستند می‌باشد (شکل ۱).

تمام اندازه‌گیری‌ها با استفاده از دو ثقل سنج CG3-m به طور همزمان انجام گرفت. هر داده ثقل از میانگین ۱۰۰ نمونه مشاهده شده با نرخ ۱۰۰ ثانیه به دست آمده است. در هر ایستگاه ۳ یا ۴ مشاهده موفقیت‌آمیز با در نظر گرفتن تکرار، انجام گرفت. به علاوه، مانند هر اندازه‌گیری ثقل دقیق، چندین بار بازگشت به ایستگاه‌ها انجام گردید، بازگشت در یک لوب به منظور کنترل دریفت و بازگشت در لوب‌های مختلف برای متصل کردن لوب‌ها به یکدیگر انجام پذیرفت.

۳.۳- اطلاعات ترازیابی

مسیر ترازیابی IGN با روش ترازیابی هندسی مستقیم در سال‌های ۱۹۷۳-۱۹۷۲، ۱۹۷۸، ۱۹۸۴، ۱۹۸۵ و ۲۰۰۰ اندازه‌گیری گردید و امکان تخمین تغییرات ارتفاعی را در مدت زمان اندازه‌گیری‌های ثقل فراهم آورد (با وجود این که اندازه‌گیری‌های ثقل و ارتفاع همزمان نبودند). آخرین اطلاعات ترازیابی که در دسامبر ۲۰۰۰ جمع‌آوری شده‌اند، یک روند تغییر ارتفاعی را در سراسر مسیر نشان می‌دهد. هنوز معلوم نیست که آیا این روند به موجب یک اثر ساختگی است یا این که یک بالاً‌آمدگی در مقیاس بزرگ در قسمت شمال شرقی منطقه Asal را منعکس می‌کند. بدلیل این که در این جا

۵- درستی و عوامل محدود کننده

ایستگاه، اعمال گردید. در موقعی که امکان استقرار ثقل سنج در جلو و یا مستقیماً روی علامت ایستگاه نبود، خطای ارتفاع حسگر نسبت به محل ایستگاه تا ۳ سانتی متر انتظار می رود که این خطای می تواند باعث خطای ثقل تا ۱۰ میکرو گال شود.

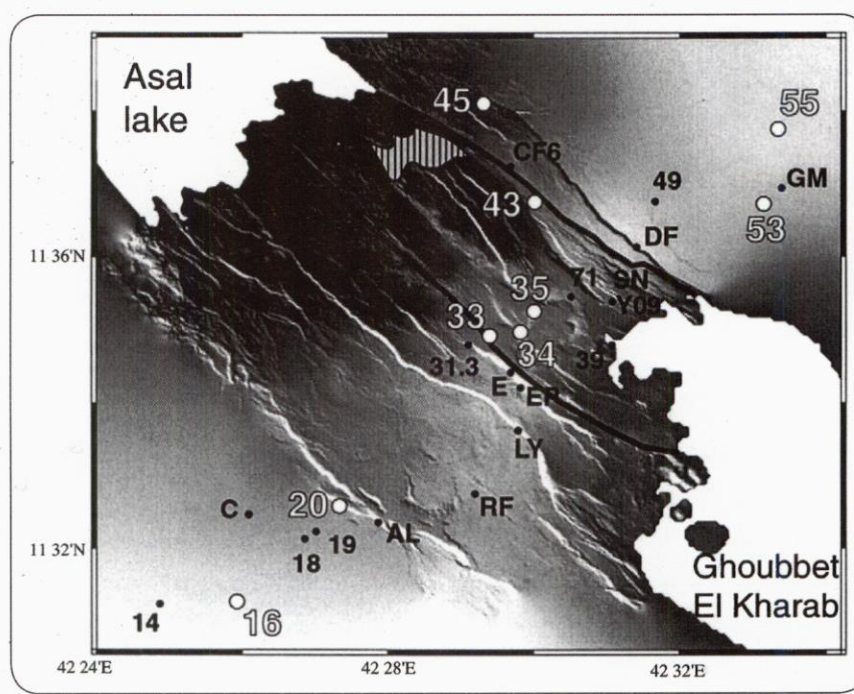
با در نظر گرفتن عدم اطمینان مقادیر ثقل در اندازه گیری های مجزا و عدم اطمینان ضریب کالیبراسیون برای هر اندازه گیری، خطای کلی تغییرات ثقل برای مقایسه بین اندازه گیری ها، به میزان ۲۰-۳۰ میکرو گال برآورد گردید.

۶- تغییرات زمانی ثقل در دوره های ۱۱ و ۱۴ ساله

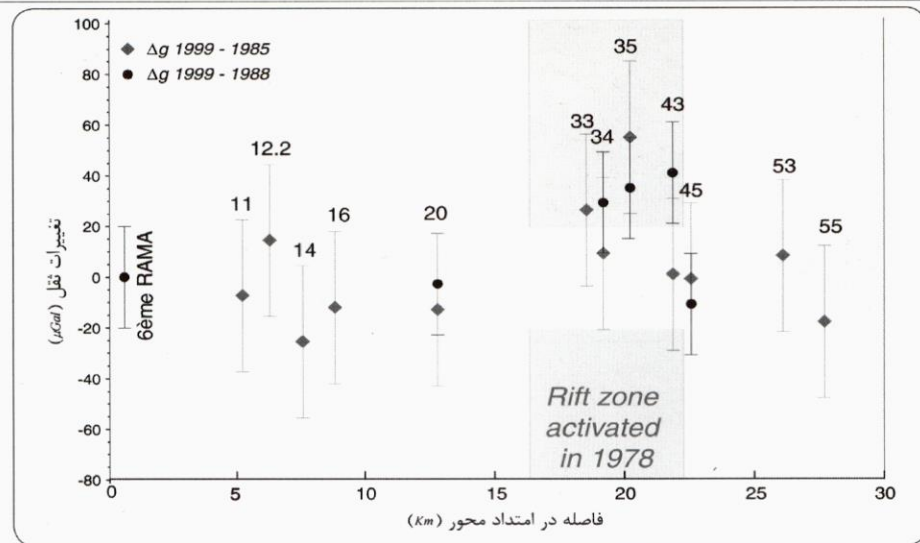
داده های جمع آوری شده سال ۱۹۹۹ با داده های سال های ۱۹۸۵ و ۱۹۸۸ مورد مقایسه قرار گرفتند. همانند اندازه گیری های قبلی از ایستگاه ۶^{eme RAMA} (ایستگاه French Foreign Legion) به عنوان ایستگاه مبنای ثقل برای مقایسه اطلاعات بین سال های مختلف استفاده شد. این ایستگاه باید به اندازه کافی دور از منطقه باشد که تحت تاثیر پدیده ماگماو-تکتونیک در داخل شکاف قرار نگیرد. تغییرات ثقل نسبی در طی یک سال در مسیری در امتداد محور بررسی گردید. قبل از مقایسه مقادیر، لازم بود اطمینان حاصل شود که هیچ اثر سیستماتیکی بین اندازه گیری های مختلف وجود ندارد. این کنترل به این صورت انجام گرفت که از عدم تناسب بین تغییرات زمانی ثقل مشاهده شده با مقادیر ثقل، اطمینان حاصل می شد، به عنوان مثال، این تغییرات مشاهده شده برای مقادیر بزرگ ثقل، بزرگ نیستند و یا بر عکس. اختلاف ثقل ایستگاهها در این شبکه ۱۱۰ میلی گال بوده، و هیچ اثر سیستماتیکی یافت نشد.

مقادیر انحراف معیار داده ها در مشاهدات ثقل، برای بیشتر اندازه گیری های انجام شده در سال ۱۹۹۹ (توسط نویسنده گان مقاله) کوچک می باشد (معمولاً کمتر از $5\mu Gal$). مقادیر بزرگ انحراف معیار در تعدادی از ایستگاه های اندازه گیری، به دلیل وزش باد بدست آمده است. مهم ترین عامل محدود کننده در رسیدن به دقت خوب، دریفت دستگاهی است. به دلیل تغییر وسایل حمل و نقل و وجود جاده های نامناسب، ثقل سنج ها همواره دریفت منظمی ندارند. عدم وجود خط کالیبراسیون در منطقه، دقت نهایی مشاهدات و امكان مقایسه دقیق دوره های تناوب مختلف اندازه گیری را کاهش داد. همان طور که توضیح داده شد، به منظور ترکیب کردن داده های دو گراویمتر استفاده شده در سال ۱۹۹۹، ضریب کالیبراسیون با روش مینیمم کردن اختلاف rms بین دو سری داده (بین دو گراویمتر) محاسبه گردید. مقدار عدم اطمینان 11 برای اندازه گیری های سال های ۱۹۸۵ و ۱۹۸۸ (داده ها توسط گراویمتر مدل LCR-G گردآوری شده بودند) توسط اپراتورها به میزان کمتر از $10\mu Gal$ تخمین زده شده اند که احتمالاً مقادیر واقعی بسیار بیشتر از این است.

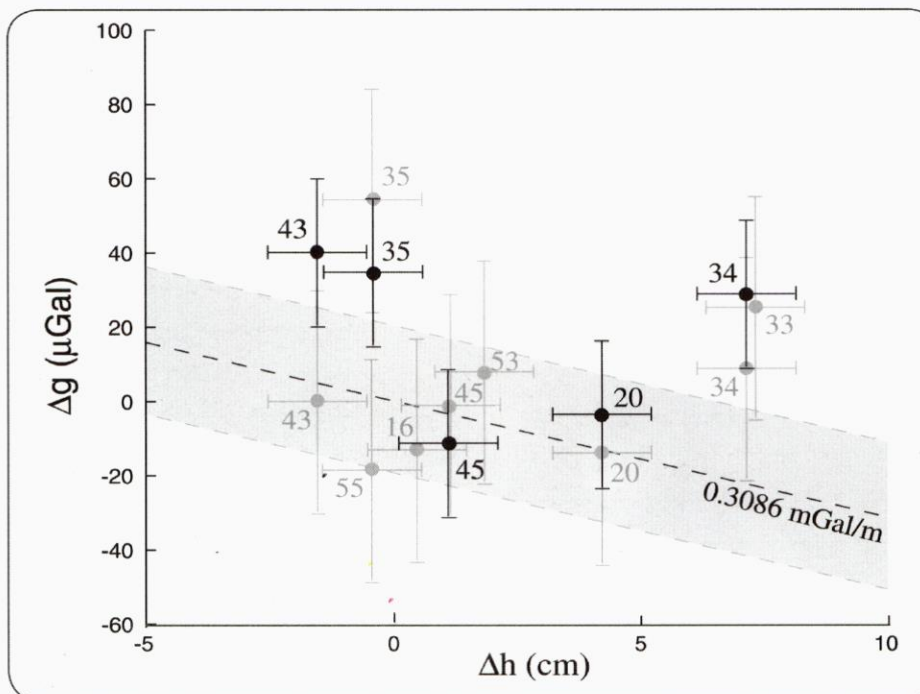
داده ها با تاثیر جزر و مد تصحیح گردیدند، اما اطلاعات ثبت شده در Arta طی مدت ۴۸ ساعت، با قیمانده چند میکرو گالی مرتبط با جزر و مد را حتی بعد از تصحیحات نشان می دهد. همچنین تصحیح مربوط به اختلاف ارتفاع بین محل اندازه گیری و بنج مارک



شکل ۲: محل ایستگاه های اندازه گیری بر روی مدل رقومی زمین (برگرفته از داده های IGN). نقاطی که تغییرات زمانی میدان ثقل آنها برآورد شده به رنگ سفید نشان داده شده اند. سایر نقاط (مشکی رنگ) یا ایستگاه های ساخته شده قبلي (در مسیر تراز یابی IGN) با شماره علامت گذاري شده اند و یا ایستگاه های ثقل تازه ایجاد شده مشترک با ایستگاه های GPS است (با حروف علامت گذاري شده اند). دو خط مشکی گسل های اصلی را نشان می دهد که در طی دوران Ardoukoba در سال ۱۹۷۸ فعال بودند و منطقه هاشور زده شده، گسترده گی فضایی جریان گذازه که در طی این دوران رخ داده را نشان می دهد.



شکل ۳: تغییرات ثقل مشاهده شده در طی دوره های تناوب ۱۹۸۵-۱۹۹۹ و ۱۹۸۸-۱۹۹۹. عدم تقسیم فاصله زمانی به دو دوره تناوب جدا از هم بدلیل تعداد کمتر نقاط در سال ۱۹۸۸ نسبت به سال های ۱۹۸۵ و ۱۹۹۹ می باشد. محدوده خاکستری افقی، منطقه ای با عدم اطمینان $20 \mu\text{Gal}$ را نمایش می دهد، که در آن تغییرات ثقل معنی دار نمی باشد.



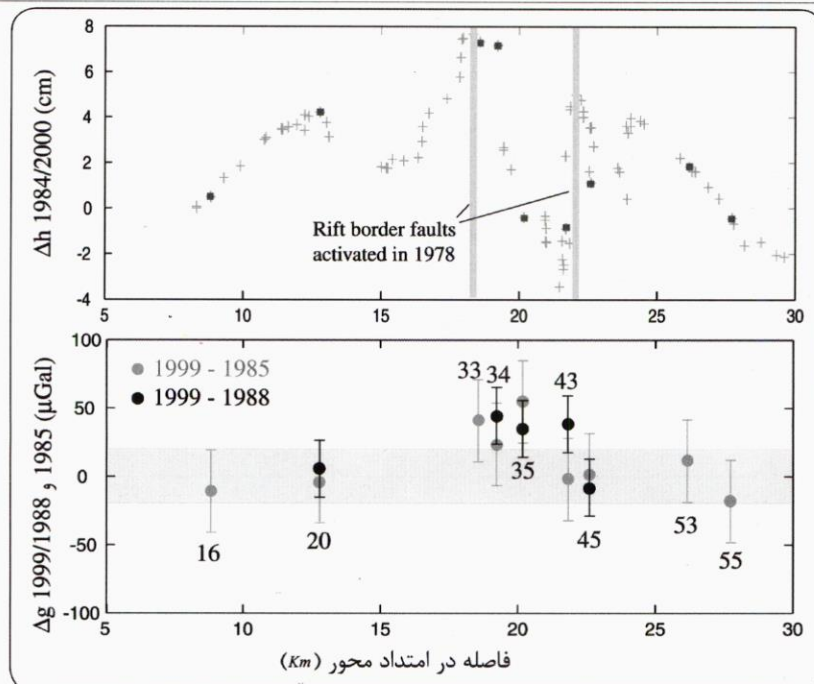
شکل ۴: تغییرات ثقل نسبت به تغییرات ارتفاع، نقاط داده از یک روند خطی تبعیت نمی کنند، به این معنی که تغییرات ثقل مشاهده شده نمی تواند بدلیل یک عامل انفرادی باشد. خط چین کشیده شده در نقشه، گرادیان هوای آزاد را بیان می کند. تغییرات برآورده شده برای دوره تناوب ۱۹۸۸-۱۹۹۹ با مشکی و تغییرات برآورده شده برای دوره تناوب ۱۹۸۵-۱۹۹۹ با خاکستری نشان داده شده اند. محدوده خاکستری، منطقه ای با عدم اطمینان $20 \pm 0.3086 \text{ mGal/m}$ را نمایش می دهد که در آن تغییرات ثقل به صورت معنی دار فرض می شود.

در شکل ۲ نقاطی که برای مقایسه بین اندازه گیری های سال های ۱۹۸۵ و ۱۹۸۸ یا ۱۹۹۹ و ۱۹۹۹ استفاده شده اند، نشان داده شده در ایستگاه های شکاف (ایستگاه های Ardoukoba در سال ۱۹۷۸ فعال بزرگ هستند، اما افزایش ثقل به میزان ۲۰ تا ۵۰ میکروگال در امتداد محور شکاف نسبت به دو طرف مشاهده می شود.

مشاهده می شود. این مقدار کمی از انحراف معیار تخمینی بیشتر بوده و از لحاظ آماری می تواند معنی دار در نظر گرفته شود. به

۷- تفسیر نتایج

شکل ۳ تغییرات ثقل را بین سال های ۱۹۸۵ و ۱۹۸۸ و ۱۹۹۹ نشان



شکل ۵: تغییرات ارتفاع و تغییرات ثقل باقیمانده در مسیر شکاف. شکل بالا تغییرات ارتفاع اندازه‌گیری شده بین سال‌های ۱۹۸۴ و ۲۰۰۰ را در امتداد مسیر ترازیابی IGN (تصویح شده با ترند کلی) نشان می‌دهد. مریع‌های سیاه نقاطی هستند که در آن اندازه‌گیری‌های مکرر ثقل ارتفاع شده است. تغییرات ارتفاعی بین نقاط ۲۰ و ۳۳ و اطراف نقاط ۴۵ به دلیل اتحاف مسیر ترازیابی از خط مستقیم در امتداد محور است. شکل پایین‌تر، تغییرات ثقل بدست آمده بعد از حذف سهم تغییرات ارتفاعی در تغییرات ثقل را نشان می‌دهد. محدوده خاکستری افقی، منطقه‌ای با عدم اطمینان میکروگال را نشان می‌دهد که تغییرات ثقل در این محدوده غیر معنی‌دار فرض می‌شود. افزایش ثقل در قسمت مرکزی شکاف به دلیل ورود توده زیر قسمت فعال شکاف است.

بنابراین واقعی هستند. افزایش در میدان ثقل می‌تواند در اثر نشست نقطه اندازه‌گیری و افزایش توده زیر ایستگاه و یا ترکیبی از این آب دریا بین Ghoubbet El kharab و دریاچه Asal وجود دارد. اما شرایط آب و هوایی منطقه مطالعه برخلاف این موضوع بوده و بنابراین، این پدیده به عنوان یک فرآیند ژئودینامیک در نظر گرفته می‌شود. در اینجا با توجه به این که تعداد نقاط مشاهداتی برای تخمین تمام توده‌های ورودی با استفاده از تئوری گوس کم است، از مدل جاذبه یک توده کروی استفاده شده است. افزایش ثقل مشاهده شده قابل تشبیه به کره‌ای به قطر ۶۰۰ متر با یک اختلاف دانسیته مثبت 100 kg/m^3 که مرکز آن در ۴ کیلومتری زیر پوسته قرار گرفته است، می‌باشد. محل استقرار توده در عمق زیر شکاف همچنین توسط مدل‌های ترمودینامیک بیان شده است. در حقیقت، میزان نشست بلند مدت که توسط Cattin (2001) مدل‌سازی شده است، بیشتر از نشست مشاهده شده در طی ۶۰۰۰ سال اخیر با استفاده از معیارهای زمین‌شناسی و یا نشست مشاهده شده با استفاده از اندازه‌گیری‌های ترازیابی است. این مسئله بیان می‌کند که مواد داخل زمین به طور هم‌زمان در منطقه زیر شکاف موضع گیری کردند (مثلاً از طریق مکانیزم گداختگی و ترکیب).

کاهش ثقل توسط Gerard (1980) در مرکز شکاف بین سال‌های ۱۹۷۳ و ۱۹۷۹ مشاهده شده است. تغییراتی که در این تحقیق مشاهده شد در جهت مقابله آن (افزایش ثقل) است و ممکن است با تفسیر آنها از ساختار توده با دانسیته کم و داغ که در حال حاضر با سردرت شدن متراکم‌تر شده است، مطابق باشد. به هر حال افزایش

انتظار می‌رود که افزایش ۲۰-۵۰ میکروگالی در میدان ثقل در نتیجه نشست قسمت مرکزی شکاف باشد. اما تغییرات میدان ثقل به عوامل دیگری غیر از ارتفاع نیز وابسته بوده و بنابراین لازم است که برآوردهای مستقل و جداگانه‌ای از تغییرات ارتفاعی، جهت جداسازی تأثیرات تغییرات ارتفاع و تغییرات توده، موجود باشد. نقشه‌ای از تغییرات ثقل و تغییرات ارتفاعی (شکل ۴) نشان می‌دهد که تغییرات ثقل در اثر یک فرآیند تغییر ارتفاعی ساده نبوده است. برای برآورد قسمتی از تغییرات ثقل که ناشی از تغییرات ارتفاعی نیست، تغییرات ثقل مشاهده شده با استفاده از گرگادیان بوگه 0.1996 mGal/m (محاسبه شده برای دانسیته پوسته‌ای 2600 kg/m^3) و تغییرات ارتفاعی به دست آمده از داده‌های ترازیابی IGN مورد تصحیح قرار گرفتند (شکل ۵).

افزایش ثقل مشاهده شده در قسمت مرکزی شکاف که در سال ۱۹۷۸ فعلی بوده است (شکل ۳)، در تغییرات ثقل باقیمانده بعد از حذف تأثیر تغییرات ارتفاعی به خصوص برای ایستگاه‌های ۳۳ و ۳۴، بیشتر نمایان شده است. در حقیقت، بیشتر سیگنال‌های ثقل نمی‌توانند توسط تغییرات ارتفاعی شرح داده شوند، که این بیانگر افزایش توده زیر شکاف است. نوسان‌های سطح آب زیرزمینی همچنین می‌توانند تغییرات ثقل بدون تغییرات ارتفاع را ایجاد کند.

اضافه کردن اندازه‌گیری‌های مطلق در شبکه، دقت اندازه‌گیری‌های نسبی می‌تواند به خوبی افزایش یابد. در نتیجه توسعه و پیشرفت ثقل سنج‌های مطلق قابل حمل، استفاده از ایستگاه‌های مطلق، باید به عنوان یک روش عمومی در نظر گرفته شود. انجام مشاهدات دقیق‌تر امکان مطالعه جامع در مورد تغییرات ثقل غیر مرتبط با ارتفاع و مرتبط با توزیع مجدد توده زیر سطح را فراهم می‌آورد.

ثقل نیازمند افزایش جرم و توده است. آنها همچنین کاهش فشار (استرس) را در منطقه به عنوان یک مکانیزم ممکن برای کم کردن دانسیته که با افزایش عرض شکاف‌ها رخ می‌دهد، بیان کردند. این تفسیر به خوبی دلیل کاهش ثقل را بیان می‌کند. برای تفسیر افزایش ثقل دیده شده در این تحقیق از روشی مشابه فوق استفاده نگردید، زیرا وجود دور جدیدی از فشار (استرس) برای بستن شکاف‌ها در منطقه شکاف Asal بسیار غیر محتمل است.

منبع:

۲۰۰۳، Earth and Planetary Science Letters، شماره ۲۰۸، سال

-۸- نتیجه گیری

مطالعات این تحقیق مشخص می‌نماید که قسمتی از شکاف که در طی دوران Ardoukoba در سال ۱۹۷۸ فعال بوده است، احتمالاً در معرض ورود توده در طی ۱۴ سال گذشته قرار گرفته است، به علاوه این منطقه به طور مشخص دچار تغییر شکل افقی و قائم نیز قرار گرفته است. تحقیقات متعددی که در زمینه آتش‌فشان‌ها انجام گرفته است، اثر تغییرات زمانی اندازه‌گیری‌های میدان ثقل را برای به دست آوردن اطلاعاتی از فرآیند ماگما-تکتونیک نشان می‌دهد. این تحقیق برای انجام کارهای آتی در این زمینه بسیار دلگرم کننده است و پیشنهاد می‌کند که تغییرات زمانی ثقل در امتداد شکاف Sal Ghoubbet مورد اندازه‌گیری و کنترل قرار گیرد. این بررسی می‌تواند اطلاعات خوبی از مکانیزم شکاف و گسترش آن فراهم آورد. با ایجاد خط کالیبراسیون مطلق در منطقه کار شده و

پانوشت‌ها:

1. Rift
2. Ardoukoba crisis
3. French National Geographic Institute
4. magmato-tectonic
5. The Red Sea Ridge
6. The Aden Ridge
7. The East-African Ridge
8. seismo-tectonic
9. Institut de Physique du Globe-Centre National de la Recherche Scientifique
10. Institut Geographique National
11. uncertainties





Johanna

دو سال گارانتی و ۵ سال خدمات پس از فروش

جوهانا

توatal استیشن جوهانا

سری TS-800

- دقت اندازه گیری زاویه ۲ و ۵ ثانیه
- دارای کارت خاطه ۱ گیگابایت
- طولاب لیزری ۱۵۰ متر
- طولاب با تک منشور ۵۰۰۰ متر در سری لیزری
- مجهز به نرم افزار نیکون
- کمپانی ایور د موره
- دو طرف کبیورد

TS-800

ترازیاب (نیو)
تندویلیت
توatal استیشن
متر لیزری
جي پس اس دستی

MAPNET

تهران - خیابان شهریاری - خسروی - خسروی به خیابان مطهری
کوچه ساری - پاک - ۲۸ - واحد ۲
تلفن: ۰۲۱-۸۸۴۵۴۲۲۲۱ فکس: ۰۲۱-۸۸۴۵۴۲۲۲۱
info@mapnet-co.com www.mapnet-co.com

GPS

ارائه گننده تجهیزات نقشه‌برداری

تعیین دقت اندازه‌ها در عکس‌برداری هوایی مایل (با بهره‌گیری از فن آوری PixoView)



نویسنده‌گان: Karel Sukup، Patric Meixner، Jan Sukup از اعضای Geoinformatics

مترجم: مهندس رحیم فرنگی، کارشناس اداره کل سیستم‌های اطلاعات مکانی سازمان نقشه‌برداری کشور
farandi@ncc.org.ir

۱- مقدمه

از آنجایی که کاربرد عکس‌برداری هوایی مایل، گسترش فراوانی یافته است، هم‌اکنون موضوع تعیین میزان دقت حاصل از اندازه‌گیری‌ها در هر عکس، با استفاده از فن آوری PixoView مطرح گردیده است.

۲- پروژه تعیین دقت اندازه‌گیری‌ها

از سال ۲۰۰۶ میلادی، فن آوری PixoView برای پردازش عکس‌های مایل در شرکت Geodis-Bruno در حال توسعه می‌باشد. PixoView امکان پردازش عکس‌های زمینی و هوایی عمومی، در یک پایگاه داده مجزا را ایجاد می‌نماید. با استفاده از این فن آوری کنترل اولیه‌ای بر روی مجموعه‌ای از عکس‌های منتخب انجام شده و سپس از این عکس‌ها می‌توان در پردازش‌های بعدی استفاده نمود. در حال حاضر بخش عمده پروژه، روی اندازه‌گیری محتویات یک تصویر منفرد که در صفحه نمایش رایانه مشاهده می‌شود، متمرکز شده است.

فن آوری عکس‌برداری مایل می‌تواند به دو مرحله تقسیم شود.

مرحله اول انجام عکس‌برداری مایل است. در این عکس‌برداری سامانه‌ای متشکل از پنج دوربین، که به صورت یک مجموعه تحت عنوان GBCam تعییه شده‌اند به کار می‌رود. یکی از دوربین‌ها برای تهیه عکس قائم به کار رفته و سایر دوربین‌ها جهت تهیه عکس‌های مایل در جهت‌های عقب، جلو، چپ و راست قرار گرفته‌اند. مرحله دوم، شامل پردازش‌های ثانویه عکس‌های رقومی تهیه شده، با استفاده از فتوگرامتری تک تصویره می‌باشد.

هدف اصلی از انجام پروژه آزمایشی ارزیابی میزان دقت تعیین موقعیت و اندازه‌گیری‌های قائم در اجرای PixoView بود. آزمایش با استفاده از عکس‌های هوایی گرفته شده اطراف شهر Brno، که براساس ۸۰ نقطه کنترل و با فن آوری GPS مشخص و ثبت کرده‌بود، اجرا شد. برای انجام این آزمایش، یک سامانه دوربین سه گانه به کار رفت. دوربین‌ها با شماره‌های C2.C1 و C3، هر یک ۷۱ عکس را در ۹ ردیف پرواز گرفتند که بیش از ۱۸۰ هکتار از منطقه مربوطه را پوشش می‌داد. از ارتفاع پرواز ۶۵۰ متری سطح زمین، عکس‌ها با ابعاد پیکسل ۱/۰۰ متر در نادیر^(۱) بوده‌اند و ابعاد پیکسل عکس‌های مایل، به تناسب فاصله عوارض از مرکز تصویر به ۰/۲

متر می‌رسید.

داده‌های ورودی:

داده‌های ورودی برای هر پروژه در PixoView مشتمل است بر:

▪ تصاویر هوایی

▪ پارامترهای توجیه داخلی (۲)

▪ پارامترهای توجیه خارجی (۳)

▪ مدل رقومی زمین (DTM) (۴)

فن آوری PixoView پارامترهای توجیه داخلی را از طریق گزارش کالیبراسیون(شکل ۲) در اختیار قرار می‌دهد که این داده‌ها براساس فاصله کانونی دوربین، موقعیت نقطه اصلی(dx,dy) و میزان زاویه پرتو عدسی دوربین (ازحالات قائم) تولید می‌شوند. این متغیرها موقعیت مرکز تصویر را با توجه به سطح رویت شده، تعیین کرده و اجازه می‌دهند دسته پرتوهای بصری که توسط عکس هوایی در زمان ظهر ایجاد شده‌اند را بازسازی نماییم.

برای قراردادن این دسته پرتو در موقعیت خود، با توجه به سیستم مختصات زمین، به شناخت پارامترهای توجیه داخلی نیاز می‌باشد. موقعیت مرکز تصویر در سیستم مختصات مناسب، با مختصات سه‌گانه (x,y,z) داده شده‌است. به علاوه موقعیت محور تقارن در فضا با سه زاویه دورانی (K,φ,ω) تعیین شده است. پارامترهای توجیه خارجی می‌توانند به سه روش ذیل تعیین شوند:

۱- زمین مرجع مستقیم (۵)

۲- مثلث‌بندی تحلیلی بدون نقاط کنترل زمینی

۳- مثلث‌بندی تحلیلی همراه با نقاط کنترل زمینی

زمین مرجع مستقیم، برای عکس‌های هوایی با تعیین مستقیم پارامترهای توجیه خارجی انجام می‌شود و داده‌های جمع‌آوری شده توسط گیرنده ماهواره‌ای (GPS) و همچنین واحد اندازه‌گیری اینرسی(IMU)^(۶)، در حین ظهر تصویر واقعی، در هوایپما پردازش می‌شوند. روش مثلث‌بندی تحلیلی بدون نیاز به نقاط کنترل زمینی، دقت پارامترهای توجیه خارجی را بهبود می‌بخشد. این روش با کمک نقاط کمکی و گره‌ها و بر اساس روش‌های تناظریابی تصویر، در مناطق از قبل تعیین شده تصویر، اجرا می‌شود. انجام مثلث‌بندی تحلیلی و استفاده از نقاط کنترل زمینی، دقیق‌ترین روش تعیین پارامترهای توجیه خارجی است. به علاوه برای نقاط حاصل از اشتراک تصویر، با استفاده از مختصات زمینی موجود در تصاویر، مقادیر نقاط کنترل زمینی، اندازه‌گیری شده و سپس برای توجیه مطلق عکس‌ها و مدل‌ها به کار می‌روند.

۳- آزمایش تعیین دقت نقاط اندازه‌گیری شده:

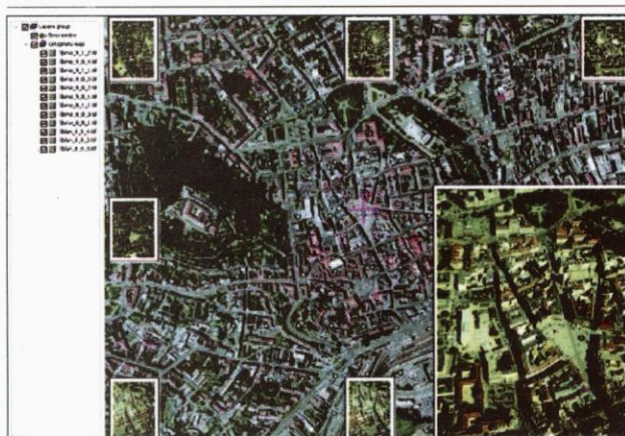
پارامترهای توجیه خارجی، قبل از انجام آزمایش‌های واقعی و با استفاده از تمامی روش‌های مزبور، محاسبه می‌شوند. بنابراین عدمه فعالیت، تعیین میزان دقت پارامترهای توجیه خارجی می‌باشد که می‌تواند باعث بهبود مقادیر در اجرای PixoView گردد. در مرحله اول هشت نقطه انتخاب گردید. چهار نقطه روی لبه‌ها و



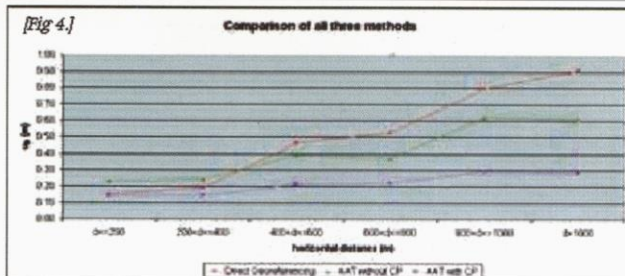
شکل ۱- نقشه پرواز و نقاط کنترل زمینی منطقه تحت آزمایش

Camera parameters	
focal length:	49.752
ppcc:	-0.065 0.068
pscc:	0 0
film format:	36.9104 49.1804
lens distortion flag:	on
input node:	11m64
distortion spacing:	0 5.1 10.2 15.3 20.4 25.5 30.6
distortion details:	0 42 64 50 0 -65 -85
distortion:	0 42 64 50 0 -65 -85
lo required:	yes
camera type:	frame
media type:	digital
pixel size:	6.0 6.0
image size in pixels:	5428 7238
baseline orientation:	4
photo coord sys orientation:	1
photo coord sys origin:	2713.5 3613.5
zoom length calibration flag:	off
calibrated focal length stddev:	0.03
ppcc calibration flag:	off
calibrated ppcc stddevs:	0.003 0.003
ppcc calibration enabled parameter:	0
antenna offset:	0 0 0

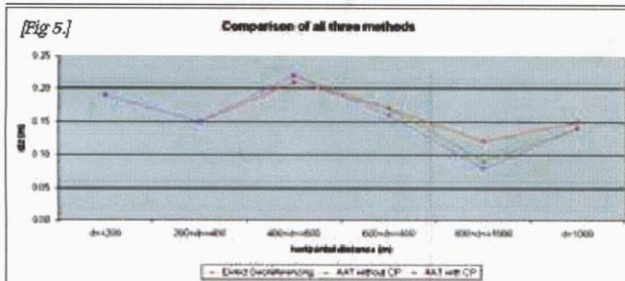
شکل ۲- مثال جزئیات گزارش کالیبراسیون



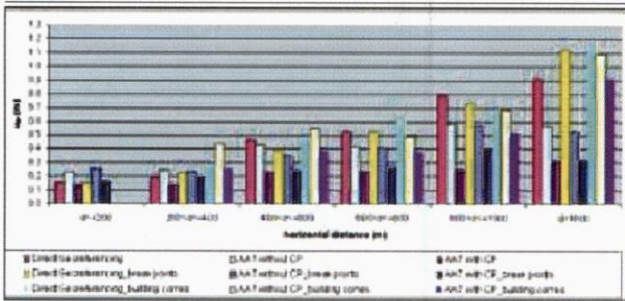
شکل ۳- محیط کاری PixoView



شکل ۴- نمودار انحراف میانگین با فواصل زمانی جداگانه



شکل ۵: ارتباط انحراف میانگین نقاط با فاصله افقی مرکز تصویر برای کنترل نقاط اندازه‌گیری شده



شکل ۶: ارتباط انحراف میانگین نقاط با فاصله افقی مرکز تصویر برای تمام نقاط اندازه‌گیری شده

به کار برود، نتایج به دست آمده مشابه و قابل مقایسه با هم بوده و این موضوع به میزان دقت پارامترهای توجیه خارجی بستگی ندارد. اختلاف ارتفاع نسبت به ارتفاع به دست آمده به طور متوسط ۱۰ سانتی متر است. هرچند اگر نقاط ابتدا و انتهای ساختمانها و ارتفاع نسبی به دست آمده صحیح نباشند این خطأ می تواند در زمان‌های مختلف بزرگتر باشد و در تعیین اندازه‌ها، برای انتخاب تصاویری که ساختمان‌ها در محدوده مرکز تصویر هستند، ممکن است جزئیات کوچکتر یا بزرگتر از اندازه پیکسل به نظر بیانند و در نتیجه سبب کاهش دید مناسب نقاط مورد نیاز برای اندازه‌گیری، می‌شود زیرا ساختمان نزدیکتر به نقطه نادری، بیشتر مزایای اندازه‌گیری در تصاویر مایل را از دست می‌دهد.

۵- نتیجه:

هنگام آزمایش اندازه عوارض در PixoView، توجه به کیفیت داده‌های ورودی (قدرت تفکیک تصویر، پارامترهای توجیه داخلی و خارجی و مدل رقومی زمین) که تاثیر مستقیمی در دقت نقاط تعیین شده دارند، مهم است. با افزایش دقت پارامترهای توجیه خارجی، نتایج بهتر و با ارزشتری کسب خواهد شد. با دادن

	Control Points		
	Direct Georeferencing	AAT without CP	AAT with CP
Correlation Coefficients	C1 C2	0.82 0.80	0.80 0.89
		0.66 0.64	

جدول ۱- ضرایب همبستگی دورین های C1 و C2

انحراف میانگین، برای هر مقدار تعیین می‌گردد.

$$UP = \sqrt{(\Delta x^2 + \Delta y^2) / 2}$$

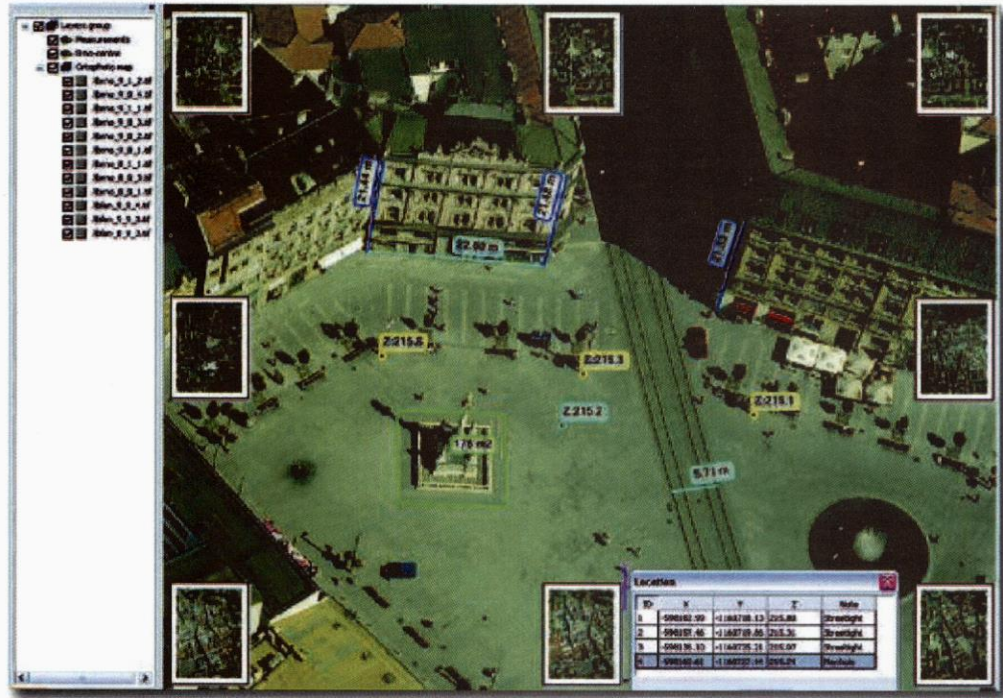
با توجه به فاصله افقی از مرکز تصویر و زاویه‌ای که تحت آن، نقطه‌ای در تصویر دیده می‌شود، مقادیر به دست آمده بزرگ می‌باشند. مقدار انحراف میانگین با توجه به هریک از پارامترهای نامطلوب می‌تواند به صورت آماری و با استفاده از روابط متقابل بین متغیرها بیان شود. در تیجه مقدار ضریب همبستگی از ۱-۱ تا ۱-۱ متغیر می‌باشد که ۱-۱ نشان‌دهنده وابستگی غیرمستقیم، صفر نشانه عدم وابستگی و عدد ۱ وابستگی مستقیم را نشان می‌دهند. به عبارت دیگر هنگام توجیه نقاط، هر چقدر که از مرکز تصویر فاصله بیشتری داشته باشیم، دقت نتایج کمتر خواهد بود.

نمودار مربوطه (شکل ۴)، نشان‌دهنده مقدار انحراف میانگین در فواصل زمانی جداگانه و نیز، مقایسه هر سه روش تعیین پارامترهای توجیه خارجی می‌باشد. تعیین متغیر ارتفاع از سطح دریا تا حدی آسان است. تاثیر ضریب همبستگی از فاصله افقی برای هر سه متغیر تقریباً صفر می‌باشد، بنابراین دقت ارتفاع تعیین شده با دقت مدل رقومی زمین برابر می‌باشد (شکل ۵).

تا اینجا تنها نقاط مشخص اندازه‌گیری شده که بهوضوح در تصاویر قابل شناسایی هستند محاسبه شده‌اند، برای نقاط نامعلوم از قبیل رئوس پیاده‌روها و جاده‌ها، نتیجه تحت تاثیر خطاهای تفسیری، قرار گرفته و اختلاف بیشتری خواهد داشت. خصوصاً در مناطق دور از مرکز عکس، یعنی در مناطقی که ابعاد پیکسل می‌تواند بیش از ۲۰ سانتی متر باشد، نسبت به نقاط نادیر که ابعاد پیکسل ۱۰ سانتی متر می‌باشد، امکان ما برای شناسایی نقاط اندازه‌گیری شده کمتر است. این ابهام در نقاط گوش ساختمان‌ها بیشتر می‌باشد. در مرحله دوم آزمایش، ۴۵۰ نقطه نامشخص، تعیین شده و مختصاتشان، با مختصات آنها در نقشه کاداستر رقومی (DKM) (۷) مقایسه گردیدند. مقایسه‌ای بین همه نتایج حاصل از آزمایش دقت مکانی اندازه‌گیری‌های PixoView در نمودار ذیل (شکل ۶) ارائه شده است. هنگام ارزیابی این نتایج توجه به این نکته لازم است که اندازه‌گیری‌ها به صورت تک چشمی بوده‌است. DKM برای تعیین دقت به کار رفته، و دقت آن نیز در همه جا یکنواخت نیست.

۴- آزمایش اندازه‌گیری ارتفاع:

در اجرای آزمایش، در PixoView ابزاری برای اندازه‌گیری و کنترل ارتفاع ساختمان‌ها وجود دارد. بدین جهت ابتدا ساختمان مورد نظر انتخاب شده و ابعاد هندسی آن اندازه‌گیری می‌شود. همچنین از طول مایل برای تعیین ارتفاع ساختمان استفاده می‌شود که این طول بعداً با مقدار حاصل از اجرای PixoView مقایسه خواهد شد. صرف نظر از این که روش زمین مرجع مستقیم یا مثلث‌بندی هوایی



شکل ۷: ابزارهای اندازه گیری عوارض در PixoView

	D<=250	250<D<=500	500<D<=750	D>750
inx	C1 0.169	0.150	0.218	0.296
	C2 0.127	0.152	0.270	0.365
iny	C1 0.132	0.175	0.216	0.329
	C2 0.172	0.162	0.239	0.256
inz	C1 0.183	0.218	0.150	0.239
	C2 0.222	0.175	0.221	0.146
inp	C1 0.215	0.231	0.307	0.450
	C2 0.214	0.222	0.361	0.446
inx,y	C1 0.152	0.163	0.217	0.318
	C2 0.151	0.157	0.255	0.315

جدول ۲- طبقه‌بندی دقت نواحی GCP یا AT و دوربین‌های مایل C1 و C2

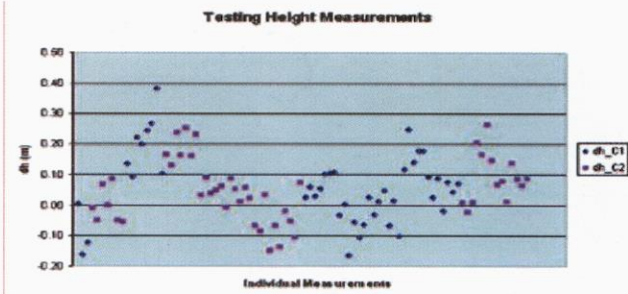
آیند. از این رو این فن‌آوری مورد توجه مجموعه‌ای از حوزه‌ها، از برنامه‌ریزی شهری تا مدیریت یکپارچه سامانه امداد و نجات قرارگرفته است، چراکه می‌تواند برای تعیین و پردازش داده‌ها در مناطق مورد نظر به کار رود. و در پایان این که تصاویر مایل همچنین می‌توانند ایجاد مدل‌های سه بعدی شهری واقعی با ساختار تصویری را محقق سازند.

۶- پانوشت‌ها:

1. Nadir
2. IO- Interior Orientation parameters
3. EO-Exterior Orientation parameters
4. DTM- Digital terrain model
5. Direct georeferencing
6. Inertial measuring unit
7. Digital cadastral map

۷- منبع:

GEO Informatics July/Aug-2009, Volume 12, Issue 5



شکل ۸: نمودار نتایج انحراف dh با معرفی دوربین‌های C1 و C2

محصصات زمینی به تصویر، میزان انحراف میانگین در نقاط تعیین شده ۴۵ سانتی‌متر بوده که با استفاده از روش مثلث‌بندی تحلیلی دقت افزایش یافته و انحراف میانگین در نقاط مشخص شده تا ۲۰ سانتی‌متر کاهش می‌یابد. دقت ارتفاعی نقاط مستقل ثانویه، در ابتدا به دقت مدل رقومی زمین (DTM) به کار رفته بستگی دارد. اما این امر در تعیین ارتفاع نسبی ساختمان‌ها، تاثیری ندارد. به طور کلی پارامترهای دقت با GCP طبق رابطه ارتفاعی فوق، بین دقت حاصله و فاصله مرکز تصویر، به چهارگره طولی تقسیم می‌شوند که در جدول ۲ نمایش داده شده‌اند.

یکی از بزرگترین مزایای عکس‌برداری هوایی مایل این است که اجازه تعیین ارتفاع ساختمان‌ها، پل‌ها و دروازه‌های نوع عارضه‌ای را در عکس می‌دهد. در گذشته استفاده از دستگاه تبدیل تنها روش تعیین مقدار ارتفاع بود اما در کار بر جسته‌بینی نیاز به تجهیزات خاص و عامل متبحر هست. هم‌اکنون با استفاده از عکس‌برداری مایل و نرم‌افزار مناسب، این داده‌ها می‌توانند بدون نیاز به دانش گسترده فتوگرامتری، با هر رایانه دارای سخت افزار متوسط و با میزان دقت ارتفاعی نسبی به دست

اطلس آموزشی جغرافیا (۲)

دوره راهنمایی تجربی



سازمان نقشه‌برداری کشور

اطلس کشاورزی

نگارش دوم

Edition

CASPIAN SEA

دریای خزر

نقشه و اطلاعات
د از همینا او
مد د یا تصاویر
به شده از کار
د نقشه های
شود از دیگر
ه ویژه های

سازمان نقشه‌برداری ایران کار و نیروی ایران

اطلس‌های جدید منتشر کشود

سازمان نقشه‌برداری کشور
National Cartographic Center

✓ اطلس صنعت

اطلس شیلات ایران

اطلس ملی
✓ اطلس کامپیوچری

نقشه

تلفن امور مشتریان : ۰۵۷۱۱۰۶۶

فروش اینترنتی : www.ncceshop.ir



گزارش شرکت در همایش بینالمللی ثقل سنجی IAG

روسیه، سن پترزبورگ، ۲۵ تا ۲۲ ژوئن ۲۰۱۰

تهیه کنندگان: دکتر علی سلطان پور

soltanpour@ncc.org.ir

مهندس سید عبدالرضا سعادت

saadat@ncc.org.ir

همایش بینالمللی ثقل سنجی یکی از همایش‌های تخصصی IAG در زمینه فیزیکال ژئودزی است که هر سه سال یکبار برگزار می‌گردد. در سال ۱۳۸۹ نیز این همایش از اول تا چهارم تیرماه در شهر سن پترزبورگ روسیه با حضور محققان و پژوهشگرانی از ۲۱ کشور جهان تشکیل گردید. از کشور ایران نیز آقایان دکتر علی سلطان پور و مهندس سید عبدالرضا سعادت به نمایندگی از سازمان نقشه‌برداری کشور در این کنفرانس شرکت داشته و مقاله‌هایی در رابطه با فعالیت‌های ثقل سنجی کشور ارائه کردند. از مهم‌ترین اهداف شرکت در این کنفرانس تخصصی می‌توان به موارد زیر اشاره نمود:

- آشنایی با آخرین دست‌آوردهای روز دنیا در زمینه ثقل سنجی و کاربردهای آن

- آشنایی با روش‌ها و دستگاه‌های جدید ثقل سنجی

- ایجاد ارتباط با متخصصان سایر کشورها درخصوص تبادل دانش و تجربیات و استفاده از فناوری‌های جدید

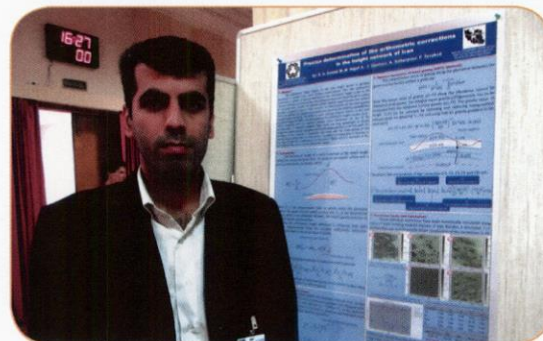
- ارائه فعالیت‌های انجام‌شده در داخل کشور و تبادل نظر با متخصصان کشورهای دیگر درخصوص شبکه‌های ثقل ایران

در این همایش که به مدت چهار روز، در دو نوبت صبح و بعدازظهر برگزار گردید، در مجموع ۷۲ مقاله حول چهار محور زیر ارائه شد:

- ۱- ثقل سنجی زمینی، دریایی و هوایی

- ۲- ثقل سنجی به روش مطلق

- ۳- ثقل سنجی نسبی، شبکه‌های ثقل و کاربردهای ثقل سنجی



نحوه ذخیره سازی داده ها در بانک های اطلاعاتی و کاربردهای شتاب ثقل مورد بحث و بررسی قرار گرفت. همچنین در این قسمت نمونه جدیدی از دستگاه های ثقل سنج ابر رسانا (Super Conductive) (iGRAV) معرفی گردید که دارای قابلیت های بسیاری نسبت به

ثقل سنج های نسل قدیم آن (OSG) می باشد.

در انتها نیز روش های نوین ثقل سنجی بر اساس تداخل سنجی اتمی توضیح داده شد که انتظار می رود در سال های آینده دستگاه های با این روش اندازه گیری، سهم عمده ای را در گردآوری داده های

شتاب ثقل در سطح جهان بر عهده داشته باشند.

همچنین در این کنفرانس دو مقاله یکی با عنوان «وضعیت و فعالیت های اخیر انجام شده در گسترش شبکه های ثقل ایران» توسط آقای دکتر علی سلطان پور و دیگری با عنوان «تعیین دقیق تصحیحات ارتو متريک در شبکه ارتفاعی کشور» به وسیله آقای مهندس سید عبدالرضا سعادت ارائه گردید.

پانوشت:

در بخش ثقل سنجی زمینی، دریایی و هوایی، نمونه هایی از دستگاه های ثقل سنج هوایی نظری GT-X و CHEKAN-AM معرفی و پروژه های انجام شده در مناطق مختلف دنیا و دقت های حاصل از این اندازه گیری ها مطرح گردید.

در بخش ثقل سنجی به روش مطلق نیز، داده های جمع آوری شده توسط دستگاه های ثقل سنج مختلف نظری P-GABL و FG5-JILAG با هم مقایسه شده و در مورد شبکه های ثقل مطلق احداث شده در کشور های مختلف بحث گردید. همچنین در این قسمت انواع ثقل سنج های بالستیک و داده های جمع آوری شده توسط دستگاه های ثقل سنج روسی نظری M-GABL ارائه شد.

در جلسه گروه کاری ثقل سنجی نسبی، شبکه های ثقل و کاربردهای ثقل سنجی، موضوعاتی نظری گسترش شبکه های ثقل، مقایسه اندازه گیری های نسبی شتاب ثقل در مناطق مختلف دنیا، بررسی خطاهای و عوامل تغییر دهنده شتاب ثقل اندازه گیری شده با استفاده از دستگاه های ثقل سنج نسبی، مدل سازی میدان ثقل زمین، مطالعات موردی، کالیبراسیون دستگاه های ثقل سنج،



نقشه برداری

متقاضی محترم: لطفا برای اشتراک نشریه علمی و فنی نقشه برداری در تهران و شهرستان ها مبلغ مورد نظر را به حساب ۲۱۷۱۰۳۹۰۲۰۰ نزد بانک ملی ایران، شعبه سازمان نقشه برداری کشور، کد ۷۰۷ (قابل پرداخت در کلیه شعب بانک ملی) واریز نموده و اصل رسید بانکی را به همراه درخواست تکمیل شده به نشانی زیر ارسال نمایید:

تهران، میدان آزادی، خیابان معراج، سازمان نقشه برداری کشور
صندوق پستی: ۱۳۱۸۵-۱۶۸۴
اداره امور مشترکان

تلفن سازمان: ۶۶۰۷۱۰۰۱-۹
تلفن داخلی اشتراک: ۴۱۸
دورنگار: ۶۶۰۷۱۰۰۰

(ضمیمه حداقل مبلغ اشتراک برای ارسال ۱۲ نسخه نشریه ۱۲۰۰۰ ریال است)

امور مشترکین نشریه نقشه برداری

به پیوست قبض شماره به مبلغ ریال
بابت اشتراک نشریه علمی و فنی نقشه برداری ارسال می گردد.
لطفا اینجانب / شرکت را جزو
مشترکین نشریه نقشه برداری محسوب و تعداد
نسخه از هر شماره را به آدرس زیر ارسال نمایید:
نشانی:

کد پستی: تلفن:

محل امضا

آشنایی با گروه کارشناسان یکسانسازی نام‌های جغرافیایی سازمان ملل متحد (UNGEN) و فعالیت‌های انجام شده در اجلاس فایروپی

نویسنده‌گان:

دکتر مهران مقصودی، استادیار دانشکده جغرافیا، دانشگاه تهران

[maghsoud@ut.ac.ir](mailto:maghsood@ut.ac.ir)

ابوالفضل بلندیان، کارشناس کمیته تخصصی نام‌نگاری و یکسان‌سازی نام‌های جغرافیایی، سازمان نقشه‌برداری کشور
bolandiyan@ncc.org.ir

از آنجایی که نام‌های جغرافیایی نقش اصلی را در هویت پخته‌یدن به مکان‌ها ایفا می‌نمایند، همواره مورد توجه سیاستمداران، پژوهشگران و سایر اقشار مردم می‌باشند. یکسان‌سازی این نام‌ها و جلوگیری از پراکندگی در زمینه استفاده از این نام‌ها در رسانه‌ها، استاد و مدارک و نقشه‌ها می‌تواند در بسیاری از موارد از بروز تنش‌های سیاسی بکاهد. یکی از نهادهایی که همواره به نام‌های جغرافیایی و استاندارد کردن آنها توجه خاصی داشته است شورای اقتصادی و اجتماعی سازمان ملل می‌باشد. این شورا با ایجاد گروه کارشناسان یکسان‌سازی نام‌های جغرافیایی از سال ۱۹۶۷ گامی عملی در جهت پیشبرد فعالیت کشورها در خصوص یکسان‌سازی نام‌های جغرافیایی برداشته است. گروه کارشناسان نیز با ایجاد ۲۳ گروه زبانی - جغرافیایی و همچنین ۱۲ گروه کاری، فعالیت‌های خود را در خصوص یکسان‌سازی نام‌های جغرافیایی سازمان‌دهی کرد. از سال ۱۹۶۷ تاکنون نیز این نهاد به طور مرتب تشکیل جلسه داده و اهداف خود را در خصوص یکسان‌سازی نام‌های جغرافیایی دنبال نموده است. هدف از این مقاله آشنایی علاقه‌مندان با فعالیت‌های این نهاد سازمان ملل در خصوص یکسان‌سازی نام‌های جغرافیایی می‌باشد.

مختلف به صورت‌های گوناگون وضع می‌شوند و این اختلاف تا حدی است که آن‌ها یک محل واحد و یا یک عارضه طبیعی را به نام‌های مختلف می‌نامند.

اصلًاً چرا کشورهای جهان به امر یکسان‌سازی نام‌های جغرافیایی اهتمام می‌ورزند؟ دلایل زیادی در این خصوص وجود دارند که

۱- سابقه فعالیت بین‌المللی یکسان‌سازی نام‌های جغرافیایی یکی از مسائلی که در روابط بین‌المللی موجب سوءتفاهم‌های مرزی، قومی و نژادی می‌شود مسئله سکونتگاه‌ها و مناطق تحت

سلطه سیاسی یا فرهنگی اقوام است که همیشه از طریق نام‌های جغرافیایی هوتیت پیدا می‌کنند. نام‌های جغرافیایی توسط اقوام

مهم‌ترین آنها به شرح ذیل می‌باشد:

الف - مکان‌های زیادی وجود دارند که بیش از یک نام دارند چه در داخل یک کشور و چه در کشورهای دیگر.

ب - نام‌های زیادی وجود دارند که به بیش از یک محل اطلاق می‌شوند.

ج - یک نام ممکن است به اشکال دیگری نیز تلفظ و نوشته شود.

د - مردم در یک کشور به خصوص، یا یک ناحیه زبانی، نام‌هایی را برای عوارض خارج از کشور خود به کار می‌برند که با نام‌های محلی آنها متفاوت است.

ه - نام‌های جغرافیایی در زبان‌هایی مانند عربی، فارسی، چینی، یونانی، روسی، کره‌ای، ژاپنی و ... با حروفی غیر از حروف لاتین نوشته می‌شوند.

در سال ۱۹۶۰ شورای اقتصادی و اجتماعی سازمان ملل متحد مأموریت یافت تا درباره از میان بردن این‌گونه اختلافات راه حلی جستجو کند. این شورا هیأتی از کارشناسان بین‌المللی شامل جغرافیدانان، مورخان، زبان‌شناسان، مهندسان و کارتوگراف‌ها را دعوت کرد و به آنها مأموریت داد که مسائل مختلف مربوط به نام‌های جغرافیایی را در سطح ملی و بین‌المللی بررسی نمایند و نظر مشورتی خود را به شورای اقتصادی و اجتماعی سازمان ملل ارائه دهند. بررسی‌ها و مطالعات این هیأت چند سالی به طول انجامید و در نهایت به تشکیل اولین کنفرانس سازمان ملل متحد برای یکسان‌سازی نام‌های جغرافیایی (UNCSGN)^۱ منجر گردید که در سال ۱۹۶۷ در ژنو برگزار شد. در این کنفرانس از طرف ایران یک هیأت نمایندگی مرکب از جغرافیدانان و زبان‌شناسان شرکت کردند.

در همان کنفرانس مقرر گردید که کنفرانس یکسان‌سازی نام‌های جغرافیایی هر ۵ سال یک بار در یکی از کشورهای عضو سازمان ملل تشکیل شود که از آن تاریخ کنفرانس سازمان ملل متحد برای یکسان‌سازی نام‌های جغرافیایی به ترتیب ذیل تشکیل گردید:

■ اولین کنفرانس در ژنو سال ۱۹۶۷

■ دومین کنفرانس در لندن سال ۱۹۷۲

■ سومین کنفرانس در آتن سال ۱۹۷۷

■ چهارمین کنفرانس در ژنو سال ۱۹۸۲

■ پنجمین کنفرانس در مونترال سال ۱۹۸۷

■ ششمین کنفرانس در نیویورک سال ۱۹۹۲

■ هفتمین کنفرانس در نیویورک سال ۱۹۹۸

■ هشتمین کنفرانس در بریلن سال ۲۰۰۲

■ نهمین کنفرانس در نیویورک در سال ۲۰۰۷

۲- گروه‌های زبانی کنفرانس یکسان‌سازی نام‌های جغرافیایی در کنفرانس ژنو، کشورهای جهان به ۱۳ گروه زبانی تقسیم شدند

(این تعداد اکنون به ۲۳ گروه افزایش یافته است) و برای هر گروه یا منطقه زبانی خاص، یکی از کشورهای عضو را به عنوان سرپرست

و مسئول منطقه زبانی برگزیدند. یکی از این گروه‌های زبانی، گروه کشورهای جنوب‌غرب آسیا - به غیر از کشورهای عربی زبان - بود.

سرپرستی و نمایندگی این گروه زبانی به کشور ایران محول گردید. کشورهای عضو هر گروه موظف هستند جهت پیشبرد اهداف سازمان ملل در مورد یکسان‌سازی نام‌های جغرافیایی اجلاس‌هایی را به منظور هماهنگ کردن و همچنین ارتقاء فعالیت‌های مربوط به یکسان‌سازی در یکی از کشورها تشکیل دهند و نتایج حاصل از جلسات را به کنفرانس یکسان‌سازی نام‌های جغرافیایی سازمان ملل متحد ارائه نمایند. در کشور ما نیز تاکنون ۸ اجلاس ناحیه‌ای برگزار شده که با مشارکت اعضا یعنی پاکستان، افغانستان، آذربایجان، ترکیه، قبرس و تاجیکستان برگزار شده است و در آنها مسائل مربوط به اقدامات بین‌المللی و ملی یکسان‌سازی نام‌های جغرافیایی مورد مذاکره و بحث و تأکید قرار گرفته است. بدین ترتیب در این اجلاس‌ها ضمن ارائه گزارش فعالیت‌های انجام گرفته در کنفرانس‌های یکسان‌سازی توسط ایران، گزارش ملی کشورهای عضو توسط نمایندگان آنها ارائه گردید.

ناحیه زبانی - جغرافیایی کنفرانس یکسان‌سازی نام‌های جغرافیایی

به شرح ذیل می‌باشد.

- ۱- ناحیه آفریقای مرکزی
- ۲- ناحیه آفریقای شرقی
- ۳- ناحیه آفریقای جنوبی
- ۴- ناحیه آفریقای غربی
- ۵- ناحیه عربی

۶- ناحیه آسیای شرقی (به غیر از چین)

۷- ناحیه آسیای جنوب شرقی و جنوب غرب اقیانوس آرام

۸- ناحیه آسیای جنوب غربی (به غیر از کشورهای عربی)

۹- ناحیه بالتیک

۱۰- ناحیه سلتیک

۱۱- ناحیه چینی

۱۲- ناحیه زبانی آلمانی، داچی

۱۳- ناحیه شرق مرکزی و جنوب شرقی اروپا

۱۴- ناحیه شرق مدیترانه (به غیر از زبان‌ها)

۱۵- ناحیه شرق اروپا، آسیای شمالی و مرکزی

۱۶- ناحیه هندی

۱۷- ناحیه آمریکای جنوبی

۱۸- ناحیه نوردن Norden

۱۹- ناحیه رومانو - هلنیک

۲۰- ناحیه بریتانیایی

۲۱- ناحیه ایالات متحده آمریکا و کانادا

۲۲- ناحیه فرانسوی زبان‌ها

۳- تشکیل گروه کارشناسان کنفرانس یکسان‌سازی نام‌های

جغرافیایی

در کنفرانس اول مقرر شد هیأتی که مطالعات ابتدایی را انجام داده

مهمترین این گروه‌ها عبارتند از:

- ۱- گروه کاری تعیین سیستم رومانیزیشن^۴ واحد
- ۲- گروه کاری نام عوارض جغرافیایی دریایی و زیردریایی
- ۳- گروه کاری فرهنگ نام‌های جغرافیایی
- ۴- گروه کاری پردازش اتوماتیک داده‌ها
- ۵- گروه کاری نام‌های توپوگرافیک غیرزمینی
- ۶- گروه کاری نام کشورها
- ۷- گروه کاری فایل داده‌های مرتبط با توپونیمی^۵
- ۸- گروه کاری اصطلاح‌شناسی مربوط به نام‌های جغرافیایی
- ۹- گروه کاری عوارض موجود بین چند حاکمیت
- ۱۰- گروه کاری دوره‌های آموختشی توپونیمی
- ۱۱- گروه کاری ارزیابی و نظرارت بر مصوبه‌های کنفرانس
- ۱۲- گروه کاری انتشارات، تبلیغات و سرمایه‌گذاری

۴- وظایف برخی از گروه‌های کاری گروه کارشناسان

کنفرانس یکسان‌سازی نام‌های جغرافیایی

- وظایف گروه تعیین سامانه رومانیزیشن واحد

پیگیری و ایجاد یک سامانه رومانیز(آوانگاری) واحد از جمله وظایف این گروه است. بر این اساس بسیاری از کشورها سامانه‌های خاص خود را به سازمان ملل ارائه داده‌اند. با وجود متفاوت بودن سامانه‌های ارائه شده، سامانه‌ها به‌گونه‌ای است که افراد دیگر در سایر کشورها نیز قادر به خواندن و تلفظ صحیح نام جغرافیایی کشورها بر اساس سامانه‌های مزبور می‌باشند. هر چند برای ایجاد یک سامانه رومانیزیشن واحد در جهان هنوز راه طولانی در پیش است. در واقع باید گفت که ایجاد چنین سامانه‌ای به کاربرد نام‌های جغرافیایی صحیح نه تنها در سطح مناطق جغرافیایی بلکه در سطح جهان منجر می‌شود. در اینجا باید یادآور شد که تفاوت‌های رومانیزیشن کردن نام‌ها در جهان موجب دوباره کاری و ایجاد پراکندگی در نام‌ها می‌شود. یکی دیگر از اهداف این گروه، مطالعه تمام سامانه‌های رومانیز کردن در جهان و تحلیل و شناخت مزايا و معایب آنها برای استاندارد کردن این امر است.

شایان ذکر است که استفاده از سامانه‌های مزبور که توسط کشورها ارائه می‌گردد در نقشه‌ها و برای کارتوگرافی و استفاده در استناد و مدارک به صورت اکید توصیه شده است.

- گروه کاری نام عوارض جغرافیایی دریایی و زیر دریایی یکی از عمده‌ترین مشکلات مربوط به نام‌های جغرافیایی مربوط به عوارضی می‌شوند که در دریا یا زیر دریا قرار دارند. امروزه در بسیاری از موارد بر سر نام دریاهای بین کشورها اختلاف وجود دارد (مانند دریای بین ژاپن و کره)، از طرفی نیاز به یکسان‌سازی نام عوارض زیر دریاهای هم بیش از پیش احساس می‌شود. بر این اساس این گروه وظیفه دارد جهت یکسان‌سازی نام عوارض دریاهای و زیر دریاهای به کشورها کمک کند.

■ گروه کاری فرهنگ نام‌های جغرافیایی (Gazetteers) تهیه فرهنگ نام‌های جغرافیایی از مدت‌های قبل توجه بسیاری

بود با ترکیب مجددی تحت عنوان گروه متخصصان سازمان ملل برای یکسان‌سازی نام‌های جغرافیایی به وجود آید.

از وظایف عمده‌ای که برای این گروه‌ها معین گردید، بررسی مسائل مرتبط با نام‌های جغرافیایی و ارائه پیشنهاد برای تصویب در کنفرانس، سازماندهی نام‌های جغرافیایی در سطح ملی، یکسان‌سازی نام‌های جغرافیایی در سطح بین‌المللی، همسان‌سازی تعاریف اصطلاحات جغرافیایی، بررسی نام‌های خارجی^۶ در زبان‌های بومی، تدوین جزوای مرجع برای نگارش نام‌های جغرافیایی در نقشه‌ها و مخصوصاً ایجاد سامانه‌های یکنواخت بهمنظور تبدیل نام‌ها از زبانی به زبان دیگر و مخصوصاً به زبان‌هایی که با الفبای رومان (اروپایی) سروکار دارند، تشکیل دوره‌های آموزشی و امثال آن را می‌توان نام برد.

یکی از وظایف اصلی و عمده این گروه نظارت مداوم بر اجرای مصوبات کنفرانس در نواحی زبانی است که از طریق کارشناسان عضو اعمال می‌گردد. کشورهای سرپرست موظف هستند جلسات ناحیه‌ای را با مشارکت نمایندگان کشورهای عضو تشکیل داده و گزارش پیشرفت کار خود را به گروه کارشناسان و کنفرانس سازمان ملل متحده ارائه نماید.

گروه کارشناسان یا متخصصان نام‌های جغرافیایی یکی از هفت گروه کارشناسی شورای اقتصادی - اجتماعی سازمان ملل متحده است و اهداف آن به شرح ذیل می‌باشد:

۱- تأکید بر اهمیت یکسان‌سازی نام‌های جغرافیایی در سطح ملی و بین‌المللی و همچنین تأکید بر مزایای آن.

۲- جمع‌آوری نتایج حاصل از فعالیت‌های ملی و بین‌المللی در خصوص یکسان‌سازی نام‌های جغرافیایی و اطلاع‌رسانی به اعضاء.

۳- مطالعه و ارائه اصول، سیاست‌ها و راهکارهای مناسب برای حل مشکلات ملی و بین‌المللی در زمینه یکسان‌سازی نام‌های جغرافیایی.

۴- فراهم کردن امکانات علمی و فنی لازم برای کشورهای در حال توسعه، در ایجاد یک فرایند و استاندارد برای یکسان‌سازی نام‌های جغرافیایی در سطح ملی و بین‌المللی.

۵- فراهم آوردن زمینه همکاری و هماهنگی بین کشورهای عضو و سازمان‌های بین‌المللی مرتبط با یکسان‌سازی نام‌های جغرافیایی.

۶- اجرای مصوبه‌های پذیرفته شده توسط کنفرانس یکسان‌سازی نام‌های جغرافیایی ذکر شده است.

در همان کنفرانس اول مقرر شد که کنفرانس هر ۵ سال یکبار در یکبار در مراکز سازمان ملل متحده تشکیل جلسه دهدن.

از آن تاریخ گروه کارشناسان سازمان ملل برای یکسان‌سازی نام‌های جغرافیایی جمعاً ۲۵ اجلاس و ۹ کنفرانس برگزار نمود که در تمام این کنفرانس‌ها و اجلاس‌ها، کارشناسان هیأت نمایندگی ایران مشارکت داشته‌اند.

در واقع براساس مهمترین موضوعات مربوط به فعالیت‌های یکسان‌سازی گروه‌های کاری کارشناسان تشکیل شدند.

از کشورها را به خود جلب کرده است. داشتن مجموعه‌ای که نام عوارض جغرافیایی، تلفظ صحیح نام، موقعیت آن و سایر اطلاعات مربوط به عارضه را داشته باشد از اولین کنفرانس یکسان‌سازی Exonym نام‌های جغرافیایی توصیه شده است. در این زمینه در کشور ما نیز فعالیت گسترهای صورت پذیرفته است. در واقع در مورد عارضه مجموعه‌ای از اطلاعات می‌بایست در فرهنگ نام‌های جغرافیایی ثبت شود که ساختار ذیل توسط سازمان ملل توصیه شده است.

ثابت اگزونیم‌ها توسط کنفرانس یکسان‌سازی نام‌های جغرافیایی به همه کشورها توصیه شده است و اهمیت آن به اندازه‌ای است که کشورهای جهان در کنفرانس فهرست‌های Exonym خود را ارائه می‌دهند.

■ گروه کاری اصطلاح‌شناسی نام‌های جغرافیایی وظایف این گروه عبارتند از گردآوری اصطلاحاتی که در یکسان‌سازی نام‌های جغرافیایی گردآوری وجود دارد و ترجمه آنها به زبان‌های مختلف. بدین ترتیب معادل اصطلاحات موجود در یکسان‌سازی نام‌های جغرافیایی گردآوری و در یک کتاب جمع‌آوری گردیده است. گروهی که وظیفه این کار را به عهده دارد بعد از چند بار بازنگری، آخرین نسخه آن را در سال ۲۰۰۲ به چاپ رسانیده و در اختیار کنفرانس یکسان‌سازی نام‌های جغرافیایی قرار داده است.

در واقع گروه مزبور واژه‌های کلیدی مورد استفاده در نامگاری و یکسان‌سازی نام‌های جغرافیایی را گردآوری و به چند زبان ترجمه نموده، در اختیار کاربران قرار می‌دهد.

■ گروه کاری عوارض موجود بین چند حاکمیت چنین عوارضی همواره ممکن است به لحاظ حاکمیتی دچار مشکل باشند، از طرفی کشورها به دلیل اهمیتی که این عوارض برای آنها دارند، سعی در تغییر نام آنها به شکلی که حاکمیت آنها را بر روی عوارض ثبت کنند، دارند و از طرف دیگر به منظور اعمال حاکمیت، هر یک از کشورها بر نامی که خود بر روی این عوارض نهاده‌اند تأکید می‌کنند.

عوارض موجود در مناطق مرزی و عوارضی که بین چند ملیت قرار دارند جزء عوارض مذکور قلمداد می‌شوند. در این خصوص می‌توان به عوارض دریایی اشاره نمود. عوارض موجود در قاره قطب جنوب نیز از جمله عوارض ذکر شده محسوب می‌شوند. در واقع باید گفت که یکسان‌سازی چنین نام‌هایی هم از ایجاد پراکنده‌گی در به کارگیری نام‌های جغرافیایی جلوگیری می‌کند و هم از بروز اختلاف‌های منطقه‌ای و بین‌المللی می‌کاهد.

با توجه به این که آخرین اجلاس کارشناسان یکسان‌سازی نام‌های جغرافیایی سازمان ملل متعدد در کنیا برگزار شد، برای آشنازی بیشتر علاقه‌مندان با فعالیت‌های این گروه، در این بخش به فعالیت‌های صورت گرفته در بیست و پنجمین اجلاس متخصصان یکسان‌سازی نام‌های جغرافیایی در نایروبی پرداخته می‌شود.

۵- بیست و پنجمین اجلاس کارشناسان یکسان‌سازی نام‌های جغرافیایی سازمان ملل (نایروبی ۲۰۰۹) بیست و پنجمین اجلاس متخصصان نام‌های جغرافیایی از تاریخ

از کشورها را به خود جلب کرده است. داشتن مجموعه‌ای که نام عوارض جغرافیایی، تلفظ صحیح نام، موقعیت آن و سایر اطلاعات مربوط به عارضه را داشته باشد از اولین کنفرانس یکسان‌سازی نام‌های جغرافیایی توصیه شده است. در این زمینه در کشور ما نیز فعالیت گسترهای صورت پذیرفته است. در واقع در مورد عارضه مجموعه‌ای از اطلاعات می‌بایست در فرهنگ نام‌های جغرافیایی ثبت شود که ساختار ذیل توسط سازمان ملل توصیه شده است.

الف - ذکر نوع عارضه‌ای که نام آن ثبت می‌شود.

ب - خلاصه نام محلی که عارضه در آن واقع شده و مختصات آن.

ج - چنانچه امکان‌پذیر است رجوع به نقشه و قرار دادن نقشه. به عنوان مبنای مقایسه.

د - چنانچه عارضه جغرافیایی بیشتر از یک نام داشته باشد، نام یا نام‌های قبلی که برای عارضه وجود دارد باید ذکر شود.

ه - توضیحات و تعاریف درباره عارض طبیعی.
و- آوانگاری اسمی جغرافیایی.

■ وظایف گروه پردازش خودکار داده‌ها پردازش خودکار داده‌ها توسعه روز افزونی در سراسر جهان پیدا کرده است و این به سطح فن‌آوری کشورها و دسترسی آنها به فن‌آوری رایانه بستگی دارد. از مزایای پردازش خودکار داده به خصوص نام‌های جغرافیایی می‌توان به موارد زیر اشاره کرد:

■ بهنگام داشتن مداول نام‌های جغرافیایی ثبت شده.

■ جستجو برای نوع بخصوصی از نام جغرافیایی.

■ برای بازیابی اسمی یک منطقه خاص جغرافیایی یا طبقه‌بندی بخصوص.

■ ذخیره تعداد زیادی از نام‌های جغرافیایی.

■ گروه کاری فایل داده‌های مرتبط با تپوئیمی.

■ رفع کردن مشکلات و خطرات مرتبط با پردازش خودکار نام‌های جغرافیایی.

■ بررسی سازگاری خروجی‌های مرتبط با نام‌های جغرافیایی به‌وسیله کشورها، به‌طوری که توسط سایر کاربران نیز قابل استفاده باشد.

■ بررسی قابل تبادل بودن اطلاعات بین کشورها.

■ تعیین روش جمع‌آوری اطلاعات.

■ شناخت داده‌های مورد نیاز برای فایل‌ها.

■ گروه کاری عوارض ماوراء زمین یا غیرزمینی

این گروه کاری، با همکاری سازمان‌های مرتبط با امور فضانوری و ستاره‌شناسی و دانشمندان، نسبت به تهیه فهرستی از نام‌های عوارض ماوراء زمینی اقدام می‌کنند.

■ گروه کاری نام کشورها

بر این اساس، گروه کاری موظف به ایجاد فهرستی از نام کشورها به چند زبان است.

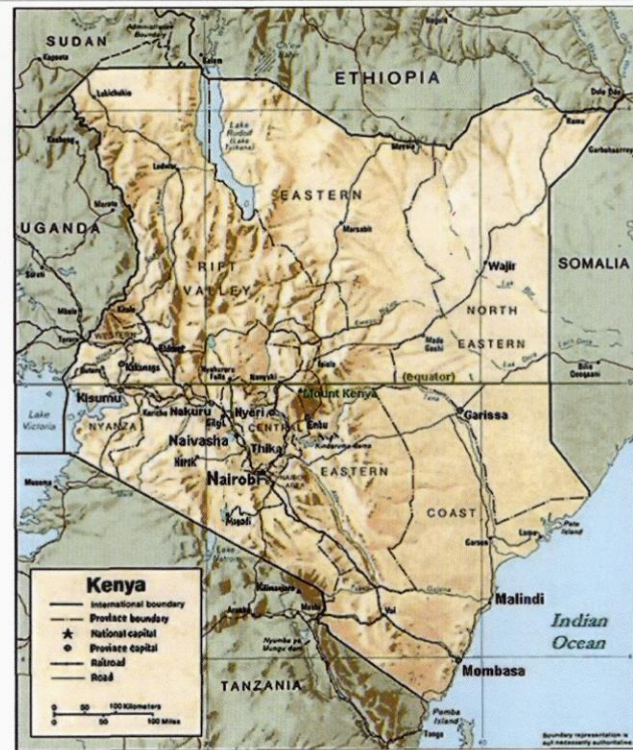
از جمله وظایف دیگر این گروه بررسی در خصوص موارد زیر می‌باشد:

■ نام کشورهای تازه استقلال یافته

■ تغییر نام کشورها



شکل ۲- هیأت ایرانی شرکت‌کننده در بیست و پنجمین اجلاس یکسان‌سازی نامه‌ای جغرافیایی سازمان ملل متحد



شکل ۱- نقشه کشور کنیا و کشورهای اطراف آن

ساير کشورها نيز چنین ترکيبي را می‌توان مشاهده کرد. در اجلاس گروه متخصصان، کارشناسان کشورها در قالب ۲۳ گروه زبانی- جغرافیایی در جلسات شرکت می‌نمایند و مقاله‌ها و گزارش‌های ارسال شده با توجه به موضوع آن، توسط گروه‌های کاری مربوطه طبقه‌بندی شده و در قالب سرفصل‌های پيش‌بييني شده در اجلاس مطرح می‌گردد. به علاوه گروه‌های کاری می‌توانند جلسات مربوط به گروه کاری خود را در حاشیه جلسات اصلی با اعضا برگزار نموده و به صورت موردی به مشکلات و موضوعات هر گروه رسیدگی نمایند. همچنین افراد رابط بین گروه متخصصان و انجمن‌ها و موسسات مرتبط با نامه‌ای جغرافیایی (مانند گوگل، انجمان بین‌المللی هیدروغرافی و ...) نيز در جلسات حضور داشته و در صورت لزوم گزارش داده و جلسات حاشیه‌ای برگزار می‌نمایند.

در اجلاس نایروبی نمایندگان ۲۲ گروه زبانی حضور داشته و طی شش روز کاری حدود ۱۰۰ مقاله و گزارش در موضوعات مرتبط با نامه‌ای جغرافیایی ارائه گردید.

مهم‌ترین بخش اجلاس، ارائه گزارش فعالیت‌های گروه‌های زبانی در خصوص یکسان‌سازی نامه‌ای جغرافیایی در کشورهای عضو ناحیه و بررسی نتایج اجلاس‌های ناحیه‌ای برگزار شده است. تشریح فعالیت‌های گروه‌های کاری نيز از بخش‌های مهم کنفرانس بود. از دیگر فعالیت‌های انجام گرفته در این اجلاس برگزار نمایشگاهی از فعالیت‌های کشورهای آفریقایی در زمینه یکسان‌سازی نامهای جغرافیایی بود. همچنین برگزاری دوره‌های آموزشی مرتبط با ثبت، گردآوری و ایجاد پایگاه نامهای جغرافیایی از دیگر فعالیت‌های انجام گرفته در حاشیه اجلاس نایروبی بود که با هدف ارتقاء اين گونه فعالیت‌ها در کشورهای آفریقایی برگزار گردید. مهم‌ترین بخش‌هایی که به صورت خاص در اجلاس ارائه گردید در جدول ۱ ارائه شده است.

۶- مقاله‌ها و گزارش‌های ارائه شده از طرف جمهوری اسلامی ایران در اجلاس نایروبی

از جمهوری اسلامی ایران پنج عنوان مقاله و گزارش به دبیرخانه

۱۵-۲۳ اردیبهشت ۱۳۸۸ به مدت ۸ روز در کشور کنیا، شهر نایروبی (مقر آفریقایی سازمان ملل متحد) برگزار گردید. کنیا کشور با ثبات شرق آفریقا است و خط استوا با فاصله اندکی از پایتخت آن، شهر نایروبی می‌گذرد (شکل ۱). اين کشور در بين کشورهای اطراف خود که همواره درگیر جنگ‌های داخلی و خارجی هستند از ثبات برخوردار بوده و به همین دليل نيز سازمان ملل متعدد تشکيلات عظيمى را برای کمک و اعزام نیرو به کشورهای هم‌جوار در اين کشور ايجاد کرده است. از اين رو می‌توان اين کشور را مقر آفریقایی سازمان ملل متحد دانست.

در اجلاس نایروبی ۴ نماینده از جمهوری اسلامی ایران شرکت نمودند که از سازمان نقشه‌برداری کشور دو نماینده و از وزارت علوم، تحقیقات و فناوری یک نماینده و از وزارت امور خارجه نيز یک نماینده شرکت داشت. همان‌گونه که بيان شد از سال ۱۹۶۷ تاکنون ایران در تمامی اجلاس‌ها و کنفرانس‌های یکسان‌سازی نامهای جغرافیایی سازمان ملل متحد شرکت نموده است. بعد از تشکيل كميته تخصصي نامنگاري و یکسان‌سازی نامهای جغرافیایی ايران، نمایندگان سازمان نقشه‌برداری کشور به نماینده‌گی از جمهوری اسلامی ایران در اين اجلاس‌ها شرکت می‌نمایند. همچنین در بسياري از اجلاس‌ها نمایندگان از دانشگاه تهران همچون دکتر کاظم وديعي، دکتر محمد حسن گنجي، دکتر ابراهيم جعفرپور شرکت نموده و مقالات و گزارش‌هایی را در خصوص یکسان‌سازی نامهای جغرافیایی ارائه نموده‌اند. نمایندگان اداره امور مرزي وزارت امور خارجه و سفارت‌خانه‌های ايران در محل برگزاری اجلاس‌ها نيز بهطور مستمر در اين اجلاس‌ها حضور داشته‌اند. شایان ذكر است که با نگاهی به ترکيب هيات نمایندگی

۱	ارائه مقالات مرتبط با فعالیت‌های نواحی زبانی- جغرافیایی
۲	ارائه مقالات مرتبط با فعالیت گروههای کاری در خصوص نامهای جغرافیایی
۳	ارائه مقالات ویژه در ارتباط فعالیت‌های یکسانسازی نامهای جغرافیایی در سطوح جهانی و منطقه‌ای توسط UNGEGEN مانند پروژه SALB ^۶
۴	نشست گروههای کاری UNGEGEN
۵	برگزاری کارگاه ویژه Google در ارتباط با نامهای جغرافیایی
۶	برگزاری نمایشگاه ویژه فعالیت کشورهای آفریقایی در خصوص یکسانسازی نامهای جغرافیایی
۷	برگزاری دوره آموزشی ثبت، گردآوری و ایجاد پایگاه نامهای جغرافیایی- مخصوص کشورهای آفریقایی
۸	تصویب مصوبات اجلس بعد از بررسی آن توسط گروههای زبانی
۹	معرفی نرم‌افزار فرهنگ جغرافیایی آفریقا
۱۰	پیشرفت پروژه بانک اطلاعاتی نامهای جغرافیایی اروپا (EuroGeo)
۱۱	معرفی بانک اطلاعاتی گروه متخصصان نامهای جغرافیایی و امکانات آن
۱۲	فعالیت‌های Task-Time Africa (Task-Time Africa) برای سرعت بخشیدن به روند یکسانسازی نامهای جغرافیایی سازمان ملل متحد

جدول ۱: بخش‌های مختلف بیست و پنجمین اجلس متخصصان یکسانسازی نامهای جغرافیایی سازمان ملل متحد

و توافقات این نشست به گروه متخصصان اعلام شده است.

۳- تدوین کتاب جامع راهنمای نامنگاری مکانی بر روی نقشه‌ها^۷

مهم‌ترین فعالیت‌های مورد توصیه سازمان ملل در خصوص یکسانسازی، تهیه راهنمای تپیونیمی برای هر کشور توسط سازمان متولی یکسانسازی نام‌ها در آن کشور است. در این گزارش به شروع تدوین کتاب جامع راهنمای نامنگاری مکانی توسط گروه کاری آوانگاری اشاره شده است. مرور روش‌های به کار گرفته شده برای ثبت نام مکان‌ها در ایران، بررسی جغرافیای زبانی پنهان فرهنگی کشور، مباحث قانونی و حقوقی در یکسانسازی نام‌ها و تدوین دستورالعمل‌های آن، اولویت‌بندی گونه‌های زبانی از جنبه ثبت در رسانه‌ها، و معرفی متولیان امر نامنگاری و یکسانسازی نام‌ها در کشور از مهم‌ترین مباحث این کتاب است. در نهایت از چکیده این کتاب، راهنمای نامنگاری مکانی کشور تهیه و ارائه خواهد شد.

۴- تشكیل گروه کاری نشریات و فرهنگ‌های جغرافیایی

در سال ۱۳۸۷ با تصویب کمیته تخصصی نامنگاری و یکسانسازی نامهای جغرافیایی ایران، گروه کاری نشریات و فرهنگ‌های جغرافیایی تشکیل شده و وظیفه آن تهیه و تدوین فرهنگ‌های جغرافیایی و سایر نشریات کمیته است. در این گزارش به شروع فعالیت این گروه و اهداف و وظایف آن اشاره شده است.

۵- نامهای جغرافیایی تاریخی و نقش آنها در تاریخ و هویت ملت‌ها

تحقیق در جغرافیای تاریخی و وجه تسمیه نامهای جغرافیایی، به عنوان بخشی از میراث فرهنگی کشورها اهمیت بسزایی دارد. گروه کاری نامهای تاریخی در این مقاله اهمیت این موضوع را تشریح کرده و به لزوم حفظ و پاسداری از این میراث ارزشمند بشری پرداخته است.

۶- شرکت در جلسه گروه کاری رومتاپیش

گروه متخصصان نامهای جغرافیایی سازمان ملل متحد دارای ۱۰ گروه کاری در زمینه‌های مختلف تخصصی می‌باشد که ایران در ۲ گروه کاری آن عضو می‌باشد. در اجلس نایروبی نمایندگان ایران

اجلاس ارسال گردید که هر یک به موضوعات مختلف مرتبط با نامهای جغرافیایی اشاره داشته و ویژگی‌ها و اهداف فعالیت‌های انجام شده در کشور را تشریح نموده است. مقاله‌ها و گزارش‌های ارائه شده عبارت بودند از:

۱- روند توسعه و تکمیل پایگاه ملی نامهای جغرافیایی ایران

در این مقاله تحولات ایجاد شده در بانک اطلاعات نامهای جغرافیایی ایران با هدف ارتقاء آن به سطح مرجع ملی نامهای جغرافیایی از ابعاد مختلف بررسی شده است. همچنین عملکرد بانک اطلاعاتی در رابطه با یکسانسازی نام‌ها در ایران و جلوگیری از اختلاف در اسامی، حجم و روند ورود اطلاعات به پایگاه، و امکانات ارائه شده به کاربران در اینترنت و ایترانت تشریح شده است.

۲- برگزاری هشتمین اجلس یکسانسازی نامهای جغرافیایی در گروه جنوب غرب آسیا (به جز کشورهای عرب زبان)

این گزارش به برگزاری هشتمین اجلس ناحیه‌ای یکسانسازی نامهای جغرافیایی سازمان ملل در گروه جنوب غرب آسیا که در اردیبهشت ۱۳۸۷ در تهران برگزار شد، اشاره دارد و در آن مصوبات



شرکت نمایندگان ایران در جلسه گروه کاری رومتاپیش

۲- ارتباط بیشتر با کشورهای عضو ناحیه جنوب غرب آسیا به نحوی که گزارش ایران در بردارنده فعالیت‌های تمامی کشورهای عضو باشد.

۳- فعالیت بیشتر کمیته نام‌نگاری و یکسان‌سازی نام‌های جغرافیایی ایران از طریق تعیین اهداف کوتاه و بلند مدت در سطح ملی و ناحیه‌ای.

۴- پیگیری و فعال کردن گروه‌های کاری ایجاد شده در کمیته نام‌نگاری و ارائه گزارش فعالیت‌های مرتبط به سازمان ملل.

۵- معروفی هرچه بیشتر کمیته نام‌نگاری به علاقه‌مندان و مسئولان کشور به عنوان تنها نهاد تصمیم‌گیرنده در سطح کشور، در خصوص یکسان‌سازی نام‌های جغرافیایی.

۶- توجه و ایفای نقش فعال تر سازمان‌ها و وزارت‌خانه‌های عضو به کمیته نام‌نگاری به‌ویژه سازمان نقشه‌برداری کشور به‌منظور تقویت نقش کمیته در داخل و در سطح سازمان‌های بین‌المللی

۸- پانوشت‌ها

1. UNITED NATIONS GROUP OF EXPERTS ON THE STANDARDIZATION OF GEOGRAPHICAL NAMES

2. UNITED NATIONS CONFERENCE ON THE STANDARDIZATION OF GEOGRAPHICAL NAMES

3. Exonym

4. Romanization

5. Toponymic data files

6. Second Administrative Level Boundary Project

7. Toponomic Guideline

۹- منابع

۱- پاپلی یزدی، محمد حسن، ۱۳۶۷، فرهنگ آبادی‌ها و مکان‌های مذهبی کشور، مشهد، آستان قدس رضوی

۲- رفاهی، فیروز، ۱۳۸۰، مبانی توپونیمی، تهران، سازمان نقشه‌برداری کشور

۳- مقصودی، مهران، ۱۳۸۲، اهمیت نام‌های جغرافیایی در نقشه‌ها، نشریه نقشه‌برداری، ش ۵۹

۴- مقصودی، مهران، ۱۳۸۴، فرایند گردآوری نام‌های جغرافیایی در عملیات میدانی و اداره، نشریه نقشه‌برداری، ش ۶۹

۵- مقصودی، مهران، ۱۳۸۸، گزارش شرکت در بیست و پنجمین اجلاس کارشناسان یکسان‌سازی نام‌های جغرافیایی سازمان ملل متحد، دانشگاه تهران

6. Kadmon, Naftali, 2000, Toponymy, Vantage, New York,
7. Ormeling, Ferjan. K.Hans Stabe, Jorn Sievers, 2002, Training Course on Toponymy, Ifag, Germany,

8. Raper. Peter E, 1996, United Nations Documents on Geographical Names, Cause, Pretoria

9. United Nations, 2004, Resolution Adopted at the Eight United Nation Conference on the Standardization of Geographical Names, New York

10. United Nations, 2006, Manual for the National Standardization of Geographical Names, New York

11. United Nations, 2007, Ninth United Nations Conference on the Standardization of Geographical Names, New York

12. Maghsoudi, Mehran, 2009, Establishment of National Gazetteers and Publication Working Group, Twenty fifth sessions United Nations Group of Experts on Geographical Names, Nairobi

به عنوان عضو گروه کاری رومانیزیشن، در جلسه ویژه این گروه که برای بررسی روش آوانگاری ایران و کشورهای عربی برگزار شده بود شرکت نموده و نظرات خود را در خصوص کامل نمودن روش آوانگاری نام‌های جغرافیایی ایران ارائه نمودند.

۷- ایجاد محور جدیدی تحت عنوان: «نام‌های جغرافیایی به عنوان بخشی از میراث معنوی بشریت»

یکی از مواردی که در این اجلاس مورد توجه قرار گرفت و از طرف کشورهای عضو نیز حمایت گردید ایجاد یک محور جدید در برنامه کاری UNGEGEN تحت عنوان: «نام‌های جغرافیایی به عنوان بخشی از میراث معنوی بشریت» بود. ایجاد این محور از این برای کشورمان نظر حائز اهمیت است که بسیاری از نام‌های جغرافیایی ایران ریشه در فرهنگ و تاریخ ملت و کشور ما داشته و بخشی از هویت ملی و میراث معنوی کشور را تشکیل می‌دهد. در واقع ایجاد این محور می‌تواند در جهت حمایت از چنین نام‌هایی باشد. با ایجاد این محور در برنامه‌های اجلاس می‌توان اهداف مهمی در خصوص نام‌های تاریخی به‌ویژه نام خلیج فارس در این نهاد بین‌المللی نائل آمد.

۷- نتیجه‌گیری و پیشنهادها

به طور کلی فعالیت در خصوص یکسان‌سازی نام‌های جغرافیایی از مدت‌های قبل شروع شده اما به طور رسمی با محول شدن این وظیفه به شورای اقتصادی اجتماعی سازمان ملل متحد در سال ۱۹۶۰ و برگزاری اولین کنفرانس یکسان‌سازی نام‌های جغرافیایی فعالیت‌ها در این خصوص آغاز شد. همان‌طور که در متن مقاله اشاره گردید گروه کارشناسان نام‌های جغرافیایی یکی از هفت گروه کارشناسی شورای اقتصادی - اجتماعی سازمان ملل متحد می‌باشد. حضور بسیاری از کشورها در اجلاس‌های این گروه اهمیت این گروه را می‌رساند. با توجه به موارد مطرح شده در متن مقاله و موارد مطرح شده در اجلاس نایروبی و سایر اجلاس‌ها، و همچنین فعالیت سایر کشورهای پیش رو در خصوص نام‌نگاری و یکسان‌سازی نام‌های جغرافیایی می‌توان نتیجه گرفت که فعالیت‌های ایران در خصوص یکسان‌سازی نام‌های جغرافیایی در داخل کشور و منطقه قابل توجه بوده و نسبت به بسیاری از کشورها در حد بالاتری قرار دارد اما هنوز از وضعیت مطلوب فاصله داشته و می‌باشد نسبت به ارتقای این فعالیت‌ها اقدام نمود. همچنین باید اذعان داشت که موارد مطرح شده در این کنفرانس‌ها و اجلاس‌های نام‌نگاری از حساسیت بالایی برخوردار بوده و حضور فعال کشورها می‌تواند باعث تقویت موضع کشورهای عضو در خصوص یکسان‌سازی نام‌های جغرافیایی باشد به همین منظور موارد ذیل برای بهبود موقعیت ایران در خصوص فعالیت‌های مربوط به یکسان‌سازی نام‌های جغرافیایی ایران در سطح بین‌المللی، منطقه و ایران پیشنهاد می‌گردد.

۱- حضور فعال متخصصان در رشته‌های مرتبط و ارائه مقالات معتبر علمی در زمینه‌های مختلف یکسان‌سازی نام‌های جغرافیایی و گروه‌های کاری مرتبط با آن در اجلاس‌های آئین.



تهیه کننده:

مهندس شهراز سلیمانی سوادکوهی

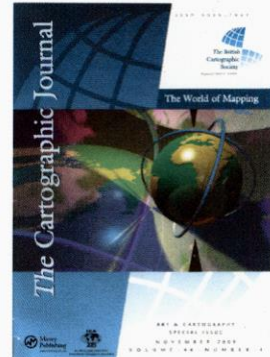
نام مجله: The Cartographic Journal

ناشر: The British Cartographic Society

مروزی بر مجله:

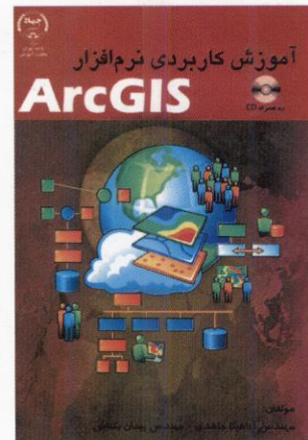
مجله کارتوگرافی اولین بار در سال ۱۹۶۴ منتشر شد. این مجله شامل مقاله‌های ارزشمند و برگزیده در زمینه کارتوگرافی است. در این مجله فن‌آوری‌های جدید کارتوگرافی، پژوهش‌های علمی انجام شده توسط مراکز تحقیقی-آموزشی کارتوگرافی، شرحی از فعالیت‌های نمایندگی‌های بین‌المللی تولید نقشه، تهیه‌کنندگان و کاربران نرم‌افزارهای کارتوگرافی و نیز علوم مرتبط دیگر نظیر سنجش از دور و سیستم اطلاعات مکانی بیان گردیده است، همچنین این مجله به تحلیل مقاله‌های اجتماعی و سیاسی از دیدگاه کارتوگرافی می‌پردازد و شامل بخش‌هایی نظری بخش مشاهدات، اخبار کارتوگرافی، نقطه نظرها و دیدگاه‌های قابل ملاحظه در مباحث کارتوگرافی و فهرستی از کتاب‌های تازه انتشار یافته و نقشه‌ها و اطلس‌های جدید می‌باشد.

از آنجا که این مجله حاوی مطالب با ارزشی می‌باشد، مطالعه این مجله به خوانندگان عزیز پیشنهاد می‌گردد. این مجله ۴ بار در سال انتشار می‌باشد و هزینه اشتراک یک‌ساله آن ۹۳ دلار می‌باشد. جهت کسب اطلاعات بیشتر راجع به مجله و نحوه اشتراک آن می‌توانید به پایگاه اینترنتی: www.ingentaconnect.com/content/maney مراجعه فرمایید.



نام کتاب: آموزش کاربردی نرم افزار ArcGIS

تألیف: مهندس آناهیتا جاهدی، مهندس پیمان بکناش
ناشر: جهاد دانشگاهی



مروری بر کتاب ✓
نرم افزار ArcGIS یکی از قدرتمندترین نرم افزارهای دانش سیستم‌های اطلاعات مکانی (GIS) است. توابع تحلیلی این نرم افزار امکان تجزیه و تحلیل های مکانی را به منظور تصمیم‌سازی، برنامه‌ریزی و مدیریت در اختیار کاربران و مدیران قرار می‌دهد. این نرم افزار محصول شرکت ESRI است و در کشورهای مختلف دنیا کاربردهای گسترده‌ای دارد.

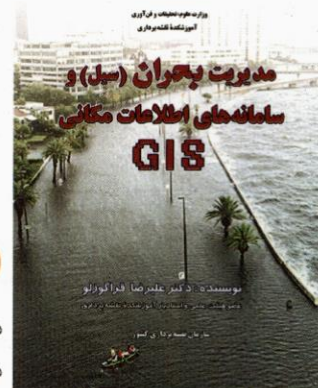
این کتاب صرفاً به آموزش نرم افزار از طریق توضیح دستورها و ابزارهای نرم افزاری نمی‌پردازد بلکه در کنار آموزش نرم افزار که هدف اصلی انتشار کتاب است، توضیحاتی در خصوص اصول و مبانی GIS که در اکثر ابزارهای نرم افزاری مشابه قابل استفاده است نیز ذکر شده است. همچنین از دیگر ویژگی‌های مهم این کتاب این است که آموزش نرم افزار را به صورت کاربردی و اجرایی پیش برده است و از تجارت اجرایی و علمی مولفین استفاده شده است.
این کتاب در دو بخش و شامل ۱۵ فصل با تمرین‌های کافی تدوین گردیده است که شامل موارد زیر است:

بخش اول در خصوص ArcGIS در سطح مقدماتی است این بخش شامل ۱۲ فصل می‌باشد که فصل اول آن آشنایی در حد کلی با ساختار نرم افزار است. در فصل دوم با محیط ArcCatalog آشنا خواهید شد، از فصل سوم، کار در محیط ArcMap آغاز خواهد شد. در این فصل مدیریت لایه‌ها، افزودن لایه‌ها، اعمال تغییرات در فهرست داده‌ها را خواهید آموخت. در فصل چهارم، با جداول توصیفی کار خواهید کرد. در فصل پنجم، بحث نمادگذاری و روش‌های طبقه‌بندی عوارض مطرح خواهد شد. در فصل ششم با مبحث گرافیک‌ها آشنا خواهید شد. فصل هفتم شما را با Style فایل‌ها و روش‌های نمادسازی آشنا خواهد نمود. با مطالعه فصل هشتم شما خواهید توانست محیط Layout را از پروژه‌های GIS خود بسازید. فصل نهم روش‌های پرسش‌گیری و انتخاب عوارض در ArcMap را بیان خواهد نمود. در فصل دهم با ایجاد نقشه‌های حریم (Buffer) به شکل برداری آشنا خواهید شد. در فصل یازدهم نیز زمین مرجع نمودن مطرح خواهد شد و آخرین مطلب بخش مقدماتی در فصل دوازدهم و تحت عنوان آشنا خواهید شد و به این ترتیب می‌توانید تحلیل‌های GIS را به راحتی به انجام برسانید و از کار کردن با نرم افزار لذت ببرید.

بخش دوم کتاب به آموزش نرم افزار در سطح پیشرفته اختصاص دارد (فصل‌های ۱۳ الی ۱۵) که فصل سیزدهم به برنامه جانبی Spatial Analyst اختصاص دارد. در فصل چهاردهم با برنامه جانبی 3D Analyst کار خواهید کرد و نهایتاً در فصل پانزدهم کتاب با برنامه جانبی ArcSCAN آشنا خواهید شد و به این ترتیب می‌توانید تحلیل‌های GIS را به راحتی به انجام برسانید و از کار کردن با نرم افزار لذت ببرید.

نام کتاب: مدیریت بحران (سیل) و سامانه اطلاعات مکانی GIS

تألیف: دکتر علیرضا قراکوزلو
ناشر: سازمان نقشه‌برداری کشور، آموزشکده نقشه‌برداری



کتاب مدیریت بحران و GIS هشتمین کتاب تالیفی مولف و اولین کتاب انتشار یافته توسط آموزشکده سازمان می‌باشد. تقاضاهای فراوانی در زمینه کاربردهای GIS به ویژه در رابطه با مدیریت بحران در سطح دانشگاه‌های کشور برای انتشار کتابی در این زمینه وجود داشت که به همت مولف این مهم به انجام رسیده است. سیل، این بلای طبیعی که با توجه به پیشرفت‌های بشری و تکنولوژیکی می‌تواند قابل پیش‌بینی نیز باشد، پدیده‌ای است که سابقه فراوان در کشور ما دارد. با وجود توسعه توانمندی‌های فنی برای مطالعه و برآورد اتفاقات ناشی از سیل در دهه‌های گذشته، توجه کمتری به مدیریت صحیح آن شده است. موضوع سیل در استان‌های شمالی کشور با وجود اینکه از موضوعات بسیار مهم است اما هنوز بسیاری از ابعاد آن روش نگشته است. از طرفی با توجه به پیشرفت‌های اتفاق افتاده در توانائی بهره‌گیری از امکانات فنی و علمی در زمینه پایش تغییرات فیزیکی سطح زمین مانند امکان بهره‌گیری از تصاویر فضائی و تکنولوژی توانمند سنجش از دور (Remote Sensing) و نیز سامانه‌های اطلاعات مکانی (GIS) و شناخت دقیق‌تر از ظرفیت‌های زیست محیطی، امکان مدیریت این بلای طبیعی با توان تخصصی موجود در کشور و کاهش مخاطرات و خسارت‌های ناشی از آن نیز فراهم گشته است. تهیه نقشه‌های پهنه‌بندی خطرهای زیست محیطی و نقشه‌های دقیق حریم روودخانه‌ها و پهنه‌بندی سیل و نیز استفاده از تکنولوژی‌های جدید مانند GIS و سنجش از دور خطر همچنین نقشه‌های پهنه‌بندی خطر با دقت بالا برای کل ناحیه شمال کشور و ریز پهنه‌بندی خطر سیل برای تمام شهرهای مناطق شمالی و در نهایت مطالعات تفصیلی مدیریت خطرپذیری به همراه نقشه‌های دقیق بر مبنای سیستم‌های اطلاعات مکانی برای کل نوار شمالی از موضوعات با ارزشی است که کمتر سرمایه‌گذاری بر روی آن انجام شده است و ضرورت مطالعات گسترده در این زمینه وجود دارد. با توجه به ظرفیت‌های بالای توسعه در استان گلستان و استعدادهای فراوان طبیعی این مناطق و توجه ویژه دولت برای بازسازی زیربنای اقتصادی و صنعتی استان، توسعه اقتصادی این منطقه مستلزم مدیریت بلای‌ای طبیعی و از آن جمله سیل در مناطق شمالی می‌باشد. اگر مدیریت و کاهش خسارت‌های آسیب‌های ناشی از بلای‌ای طبیعی و سیل مورد توجه قرار نگیرد، هم تخریب محیط زیست و هم عدم ایجاد زمینه و بستر مستعد توسعه، باعث بروز مسائل بسیاری برای توسعه خواهد بود. این کتاب به خوانندگان علاقه‌مند در حوزه مهندسی اطلاعات مکانی و مدیریت بحران تقدیم می‌گردد.

خبرنامه رؤودینامیک

تهریه کنندگان:

دکتر فخر توکلی، دکتر حمیدرضا نانکلی، مهندس زهره رحیمی، مهندس علیرضا نعمتی

آتشفشان ایسلند

سیل یا تخریب بخشی از جاده مسیر آب را به سوی دریا هموار کردند. ۸۰۰ نفر از ساکنان منطقه مجبور به نقل مکان شدند. حرکت ریکیاویک نام دارد. ایسلند غبار و خاکستر آتشفشان همانند پودری عمل می‌کند که با ورود به توربین هواپیما ذرات آن ذوب شده و با ورود به تمامی منافذ به قطعات چسبیده و موتوه هواپیما را از کار می‌اندازد و از طرف دیگر مانع دید خلبان می‌شود. آتشفشن یک کوه یخچال در ایسلند پنجه‌شنبه ۱۵ آوریل ۲۰۱۰ برای دومین بار طی یک ماه قبل دهان گشود و مواد مذاب و خاکستر از خود بیرون دارد و ستونی از غبار مذاب و خاکستر به ارتفاع ۱۱ متر به آسمان پرتات کرد و باد این غبار را به سمت جنوب شرقی بر فراز شمال اروپا به حرکت در آورد. ترکیب مذاب آتشفشن و یخها بر میزان شکل گیری ابر ناشی از غبار افروز.

ماهواره‌های ناظر زمین که در ارتفاع ۸۰۰ کیلومتری بالای زمین مشغول دور زدن هستند، تصاویری را از آتشفشن ایسلند و ابرهای خاکستر آن گرفته‌اند. فعالیت این آتشفشن برنامه مسافرت‌های هوایی را در اروپا و بر فراز اقیانوس اطلس چار مشکل کرد.

ناسا اقدام به انتشار دو تصویر با وضوح بالا، که توسط ماهواره مشاهده‌ای زمین^۱ از آتشفشن

Eyjafjallajokull در جنوب ایسلند گرفته است، نموده است. یکی از این تصاویر، فعالیت آتشفشن را در طول موج مرئی نشان می‌دهد.

تصویر دیگر نشان دهنده فعالیت‌های گرمایی شدید این آتشفشن، در مجاورت یخچال‌های طبیعی ایسلند است.

به عقیده کارشناسان ناسا، تصویر فروسرخ ماهواره EO1 نشان دهنده حداقل ۶۰ مگاوات انرژی گرمایی است که از دهانه آتشفشن خارج شده است. به گفته ناسا، این مقدار انرژی

جمهوری ایسلند کشوری جزیره‌ای در شمال اقیانوس اطلس است که پایتخت آن ریکیاویک نام دارد. ایسلند شمالی‌ترین کشور اروپاست. این کشور با ۱۰۲/۸۱۹ کیلومتر مربع دومین جزیره بزرگ اروپاست. بیش از نیمی از پهناوری جزیره اصلی ایسلند، فلاتی است که ۴۰۰ متر از سطح دریا بلندی دارد و قادر پوشش گیاهی چشمگیر است. دوازده درصد پهنه ایسلند پوشیده از یخکوه‌های از بارش‌های زمستانی برف در ایسلند هستند. یک دهم رویه ایسلند پوشیده از بقایای فوران‌های آتشفشنی است که در حدود ده هزار سال گذشته روی داده‌اند. ۲۵ آتشفشن فعل در ایسلند وجود دارند.

در ۲۰ مارس ۲۰۱۰ آتشفشن ایفیلاپس از ۲۰۰ سال سکوت خود را شکست و به خروش درآمد.

ارتفاع این کوه آتشفشنی ۱۶۶۶ متر و قدمت سنگ‌های

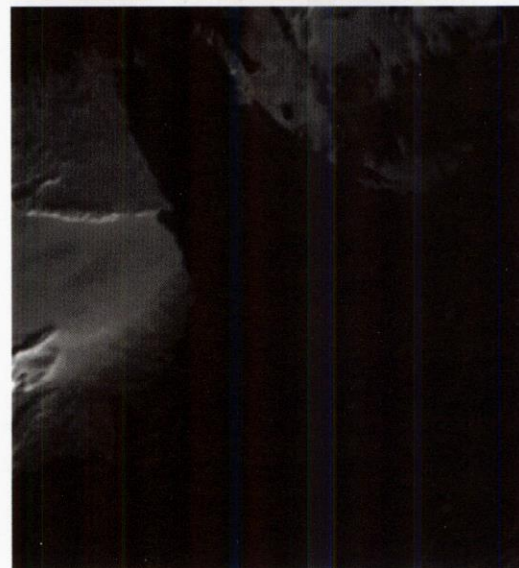
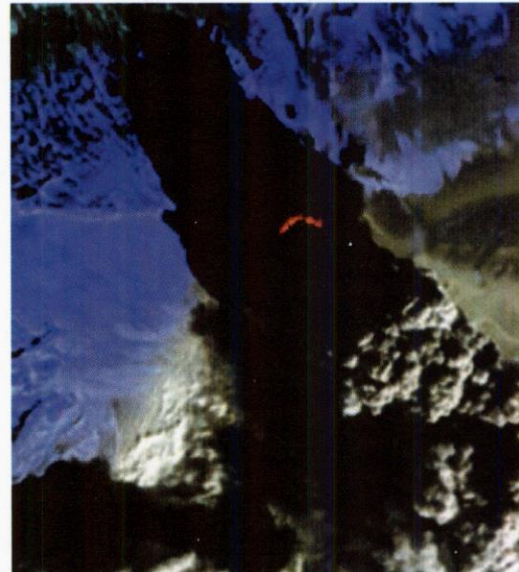
آن به ۸۰۰ سال می‌رسد حدود ۷۸ کیلومتر

مربع از این کوه زیر لایه‌ای از یخ قرار دارد.

با فعال شدن آتشفشن، یخ ذوب شده به پایین

سرازیر شده و بخشی از یک جاده را پوشانده

است. مقامات ایسلند برای جلوگیری از ایجاد



آژانس فضایی اروپا، ابزارهای نصب شده بر روی ماهواره‌ها قادر به مشاهده دی‌اکسید‌گوگرد و ذرات معلق خطرناک موجود در ابر‌خاکستر، در مقیاس جهانی هستند. ماهواره‌های هواشناسی مانند ماهواره مشاهده‌ای Envisat اروپا و ماهواره Terra ناسا، دارای تجهیزات لازم برای نظارت بر سیر تکاملی ابر‌خاکستر هستند. دوربین وضوح متوسط Envisat یکی از نخستین تصاویر ماهواره‌ای را از ابر‌خاکستر، هنگام عبور آن از فراز اسکاتلندر در صبح پنج شنبه تهیه کرد. در روز جمعه، ماهواره Terra ابزار خود را به سمت اروپا نشانه رفت و تصویری از ابر‌خاکستر را که بر فراز اروپای شمالی در حال حرکت بود، شکار کرد. شرکت DigitalGlobe که مسئولیت بهره‌برداری تجاری از ماهواره‌های تصویربرداری QuickBird و WorldView را بر عهده دارد، یک تصویر با وضوح بالا را که توسط یکی از ماهواره‌های آن بر فراز ایسلند گرفته شده، منتشر کرده است.

برای تامین نیروی برق ۶۰ هزار خانه کفايت می‌کند. از زمان آغاز فوران‌ها در ۲۵ فروردین، این آتشستان ابرهایی از خاکستر را به درون اتمسفر پرتاب کرده و باعث ذوب شدن مناطق بزرگی از پوشانده سطح ایسلند را پوشانده است. بادهایی که در ارتفاع بالا می‌وزند، ابر خاکستر را به سمت اروپا هل داده‌اند. این مساله باعث توقف ترافیک هوایی در نیمه شمالی این قاره شد. مسئولان نگران ورود ذرات خاکستر به موتورهای جت بودند که باعث اختلال در حسگرهای هواییما و کاهش دید خلبان‌ها می‌شود.

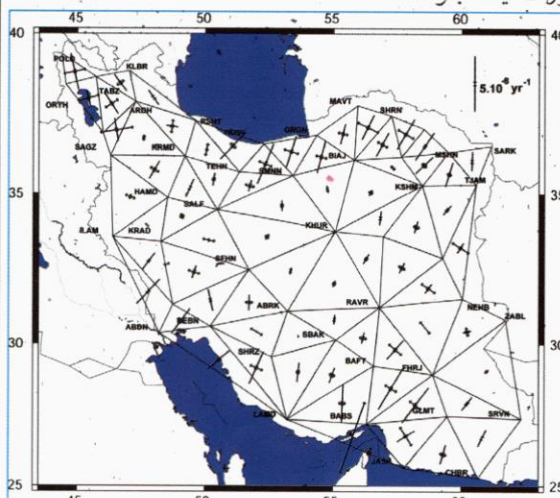
سازمان اروپایی ایمنی ناوبری هوایی (یوروکترل) گزارش داد این موقعیت خاکستری‌های آتشستانی است که تعیین می‌کند کدام پروازها اجازه بلندشدن را دارند. به گفته مسئولان یوروکترل، این اولویت نخست به شمار می‌رود. ماهواره‌ها یک ابزار مهم برای ردیابی حرکت گازها و خاکستر آتشستانی هستند. به گفته

تعیین میدان استرین

می‌باشد و در پهنه‌بندی‌های مختلف ایران گسترش داده است. همانطور که در شکل نشان داده شده است بلوک ایران مرکزی دارای تغییر شکل کمی می‌باشد که به صورت یک بلوک یکپارچه و منسجم و با تغییر شکل (فسارش) همراه است. ناحیه عبوری زاگرس- مکران نیز دارای تغییر شکل عمده‌ای است که ناشی از نحوه تغییر شکل از حالت فشارشی و کوتاه‌شدن در زاگرس به فورانش در منطقه مکران است. همچنین در ناحیه بلوک لوت شاهد حرکات چرخشی راستگرد همراه با لغزش و فشارش هستیم. در ناحیه و بلوک شمال غرب عمده تغییر

پس از گذشت ۴/۵ سال از مشاهدات پیوسته شبکه ژئودینامیک کشور و محاسبات مربوطه، اکنون میدان‌های سرعت این شبکه (ایران سراسری- تهران- تبریز- مشهد- خوزستان) به حالت پایدار رسیده است و دارای دقت‌های لازم می‌باشد که با توجه به این میدان سرعت می‌توان مدل جنبشی مناطق مختلف ایران را مشخص کرد و برآسم آن به نرخ لغزش کوتاه مدت گسل‌ها دست یافتد. با توجه به خطی بودن میدان سرعت در داخل هر مثلث و استفاده از روش Deluny، مثلث‌بندی برای شبکه‌های مختلف انجام شده است. در این روش تنسور استرین $L = \Delta$ به دو مولفه متقارن و پاد متقارن تجزیه می‌شود تا بر اساس آنها نرخ لغزش استرین و چرخش‌های موضعی و نرخ آنها محاسبه گردیده و به نحوه تغییر شکل در مناطق مختلف تکتونیکی و نرخ آنها بتوان دست پیدا کرد.

شکل روبرو میدان استرین (محورهای اصلی) را برای شبکه اصلی ژئودینامیک ایران (ایران سراسری) نشان می‌دهد که شامل ۴۱ ایستگاه



میدان استرین محاسبه شده برای

شبکه اصلی ژئودینامیک

چگونگی وقوع زلزله شیلی و پیامدهای پس از آن

زلزله سال ۲۰۱۰ شیلی در تاریخ ۲۷ فوریه ۲۰۱۰، ساعت ۰۶:۳۴ به وقت UTC با بزرگی ۸/۸ در مقیاس ریشتر و به مدت ۹۰ ثانیه، در نزدیکی شهر کنیسپیون و در ۶۵ کیلومتری ساحل این شهر رخ داد [۱] (شکل ۳).

این زمین‌لرزه در محل فروزانش ورقه نازکا در غرب آمریکای جنوبی به زیر ورقه آمریکای جنوبی اتفاق افتاده است. پس از زلزله سال ۱۹۶۰ شیلی به بزرگی حدود ۹/۲ ریشتر که بزرگترین زلزله ثبت شده کره زمین بود، وقوع مجدد چنین زلزله بزرگی در آن کشور پس از ۵۰ سال هشداری بر جدی بودن احتمال وقوع زلزله‌های بزرگ خواهد بود، ولی خوشبختانه عمق ۶۰ کیلومتری کانون این زلزله و دور بودن آن از شهرهای پرجمعیت باعث کاهش تلفات و خسارات ناشی از این زلزله بزرگ شد [۲].

این زلزله، پنجمین زلزله بزرگ دنیا [۲]، قوی ترین زلزله رخ داده در شیلی از سال ۱۹۶۰ به بعد و زلزله ۹,۲ ریشتری آن (پرانرژی ترین زلزله ثبت شده در طول تاریخ) و قوی ترین زلزله رخ داده در جهان از سال ۲۰۰۴ در آقیانوس هند [۱] و ۱۰۰۰ هایستی و دارای انرژی ای معادل ۳۳ برابر آن است [۲].

پس از وقوع زلزله پس لرزه‌هایی با قدرت ۷/۲، ۷۳، ۷۹، ۶، ... ریشتر (بزرگتر از زلزله ۲۰۱۰ هایستی) از ۲۰ دقیقه پس از زلزله اصلی تاروزهای U.S. Geological Survey (USGS) قوی‌ترین پس لرزه‌های دنیا از آن زلزله قابل انتظار است [۱]. همچنین براساس گزارش ریچارد گروس ژئوفیزیکدان آزمایشگاه جی‌پی‌ال (JPL) ناسا، این زمین‌لرزه محور طور است که زلزله مهیب شیلی به قدر کافی مواد در دل زمین جابجا کرده است که باعث شود بالانس جرمی زمین به هم ریزد. همان

طور که می‌دانیم این محور حداقل به دلیل ذوب بخشهای قطبی حدود ۱۰ سانتیمتر در سال جابجا می‌شود [۴]. در واقع در اثر زلزله قدرتمند شیلی، جابجایی قطب در عرض کمتر از چند دقیقه کاری را کرد که قرار بود در طول یک سال و در اثر عوامل طبیعی دیگر انجام شود. اتفاقات طبیعی هر روزه، مثل جزر و مد، طوفان‌ها و یا جریان‌های دریابی بزرگ، هزاران

به یکدیگر نزدیک می‌شوند که در آن صفحه اقیانوسی نازکا به زیر صفحه قاره‌ای آمریکای جنوبی فرو رفته و یک منطقه فروزانش Peru-Chile trench (subduction zone) به نام (subduction zone) ایجاد می‌کند [۱].

در تحقیقات ایالتی اوهایو و نهادهای دیگر با استفاده از GPS، دریافتند که این زلزله، سانتیاگو را به اندازه ۱۱ اینچ (۲۸ سانتی متر) به سمت غرب و جنوب غربی و کنیسپیون را حداقل به اندازه ۱۰ فوت (۳ متر) به سمت غرب حرکت داده است [۱].

این زلزله، پنجمین زلزله بزرگ دنیا [۲]، قوی ترین زلزله رخ داده در شیلی از سال ۱۹۶۰ به بعد و زلزله ۹,۲ ریشتری آن (پرانرژی ترین زلزله ثبت شده در طول تاریخ) و قوی ترین زلزله رخ داده در جهان از سال ۲۰۰۴ در آقیانوس هند [۱] و ۱۰۰۰ هایستی و دارای انرژی ای معادل ۳۳ برابر آن است [۲].

پس از وقوع زلزله پس لرزه‌هایی با قدرت ۷/۲، ۷۳، ۷۹، ۶، ... ریشتر (بزرگتر از زلزله ۲۰۱۰ هایستی) از ۲۰ دقیقه پس از زلزله اصلی تاروزهای U.S. Geological Survey (USGS) قوی‌ترین پس لرزه‌های دنیا از آن زلزله قابل انتظار است [۱]. همچنین براساس گزارش ریچارد گروس ژئوفیزیکدان آزمایشگاه جی‌پی‌ال (JPL) ناسا، این زمین‌لرزه محور طور است که زلزله مهیب شیلی به قدر کافی مواد در دل زمین جابجا کرده است که باعث شود بالانس جرمی زمین به هم ریزد. همان طور که می‌دانیم این محور حداقل به دلیل ذوب بخشهای قطبی حدود ۱۰ سانتیمتر در سال جابجا می‌شود [۴]. در واقع در اثر زلزله قدرتمند شیلی، جابجایی قطب در عرض کمتر از چند دقیقه کاری را کرد که قرار بود در طول یک سال و در اثر عوامل طبیعی دیگر انجام شود. اتفاقات طبیعی هر روزه، مثل جزر و مد، طوفان‌ها و یا جریان‌های دریابی بزرگ، هزاران



شکل ۳ - محل وقوع زلزله

شیلی از دوران زمین‌شناسی پالئوزوئیک (۵۰۰ میلیون سال قبل) در مرزین دو صفحه همگرای تکتونیکی که باعث ایجاد زمین‌لرزه‌های megatrust می‌شود قرار گرفته است.

این دو صفحه شامل نازکای شرقی (nazca) و صفحه قاره‌ای آمریکای جنوبی است که با سرعت ۳ اینچ (۸۰ میلی متر) در سال (۷ متر در قرن) [۳]

ناشی از زلزله ماه فوریه شیلی بیشتر از آنکه برای افراد عادی قابل احساس و اهمیت باشد برای دانشمندان ناسا مهم و قابل توجه است [۴].

■ منابع:

[۱] 2010 Chile earthquake, 2010 Chilean earthquake, Wikipedia, the free encyclopedia, June 2010

[۲] برگرفته از وبلاگ دکتر مهدی زارع معاون پژوهشی پژوهشگاه بین‌المللی زلزله‌شناسی و مهندسی زلزله-مصاحبه با ایستا نهم اسفند ۸۸

[۳] USGS:Science for the changing world: Magnitude 8.8 - OFFSHORE BIO-BIO, CHILE-deatall

[۴] Did The Chilean Quake has Shifted Earth's Axis, NASA scientists NEWS, ۲۰۱۰، ترجمه شهرام یزدانپناه

برابر بیش از این مقدار طول شباهه روز را تغییر می‌دهند. بنابراین اهمیت تغییرات حاصل شده ناشی از زلزله را باید در جای دیگری جستجو کرد. در واقع علت اینکه جی‌پی‌ال (JPL) ناسا به نتیجه تحقیقات گروه بسیار علاوه‌مند است، این است که آنتن‌های دریافت اطلاعات یا ارسال آنها به کاوشگران فضایی در آنسوی منظومه شمسی، روی زمین قرار دارند. با توجه به فاصله بسیار دور این اهداف فضایی، کوچکترین تغییر در جهت‌گیری این آنتن‌ها می‌تواند به معنی از دست دادن ارتباط باشد. اگر سکوی نصب آنتن‌های فضایی جابجا می‌شوند، کاربران مرکز کنترل مأموریت باید از چگونگی این جابجایی‌ها اطلاع داشته باشند. بنابراین جابجایی محور دوران زمین و تغییر طول روز،

راه اندازی طرح GPS ملی

رادیویی و GPRS قابل دسترسی خواهد بود که استفاده‌کننده‌ها از این طریق می‌توانند نسبت به دریافت تصحیحات اقدام و دقت ناوبری را با دقیقی کمتر از نیم متر به صورت آنی در اختیار داشته باشند.

با همت و تلاش کارشناسان اداره ژئودزی و ژئودینامیک اولین ایستگاه از طرح DGPS ملی کشور به صورت آزمایشی راه اندازی شده و مورد بهره برداری قرار گرفت. در این طرح ملی، تصحیحات کد و فاز از طریق سیستم‌های

جشنواره خدمت رسانی و پاسخگویی

تحت عنوان «کاربردهای عمومی و تخصصی GPS» نمود. هدف از برگزاری این کارگاه آموزشی معرفی کاربرد GPS در کارهای عمرانی و اجرایی، برآورد خط‌پذیری و مدیریت بحران، مطالعات هواشناسی و هوانوردی، دریایی، حمل و نقل و... بود.

پنجمین جشنواره خدمت رسانی و پاسخگویی در تاریخ ۱۷ و ۱۸ مرداد ماه ۱۳۸۹ در تالار وزارت کشور برگزار شد که همزمان نمایشگاهی نیز در محل مذکور بر پا گردید. سازمان نقشه‌برداری کشور نیز به عنوان یکی از شرکت‌کنندگان در این جشنواره اقدام به برگزاری کارگاه آموزشی

واژه نامه

گسل در برابر استرس برشی و عمق قفل شدگی گسل بستگی دارد. لازم بذکر است که گسل هایی که حرکت خزشی دارند زمین لرزه‌های بزرگی ایجاد نمی‌کنند. گسل درونه از جمله گسلهایی است که دارای حرکت خزشی می‌باشد.

خرش (creep): عبارت است از حرکت آهسته، آرام و مداومی که در طول گسل رخ می‌دهد. فاکتورهایی مانند کم بودن مقاومت اصطکاکی گسل، افزایش فشار منفذی و غیره می‌توانند از علل وقوع خرش روی یک گسل باشند. رخ خرش به نرخ الاستیکی پوسته تحتانی، مقاومت



زمین لرزه سال ۱۳۸۲ در شهر به



آموزش GIS

قسمت هشتم

تهریه کننده: دکتر علیرضا قراگوزلو

استادیار آموزشکده نقشهبرداری، سازمان نقشهبرداری کشور

طور مفصل مطالبی ارائه خواهد شد. (لطفا برای کسب اطلاعات بیشتر به کتاب‌های GIS و ارزیابی و برنامه‌ریزی محیط زیست و مدیریت بحران و GIS، علیرضا قراگوزلو، سازمان نقشهبرداری کشور رجوع شود).

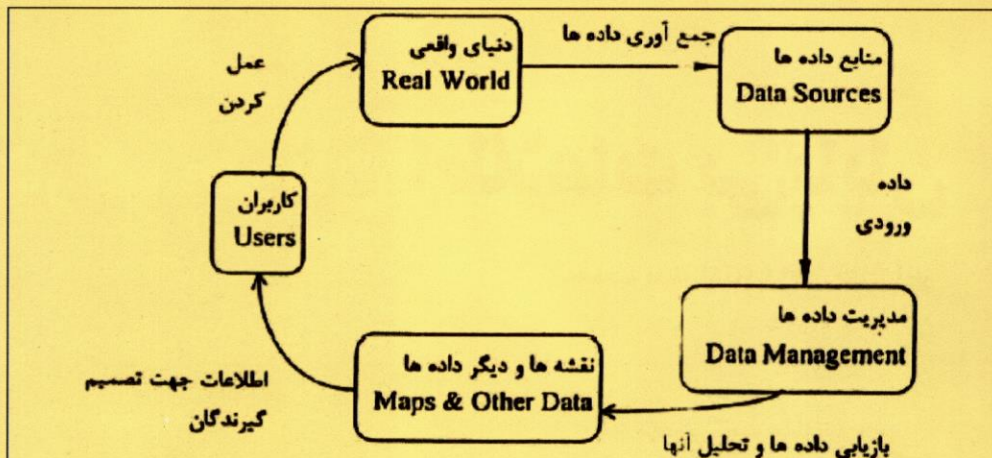
مدل‌سازی، سوال «چه خواهد شد اگر...؟». این سوال، به طور عمده به برنامه‌ریزی و بررسی اثرات اجرای برنامه‌ها مربوط می‌شود. به عنوان مثال احداث یک جاده و توسعه آتی شهر چه اثرهایی بر محیط پیرامون خواهد داشت؟ پاسخ‌گویی به این گونه سوال‌ها به عواملی چون در دسترس بودن مجموعه‌ای از اطلاعات مکانی به شکل مناسب، گردآوری، ذخیره، نگهداری و سازمان‌دهی آنها به گونه‌ای که بتوانند در تحلیل‌ها مورد استفاده قرار گیرند مربوط است. از GIS می‌توان برای تحقیقات علمی و مدیریت منابع و برنامه‌ریزی‌های توسعه پایدار استفاده نمود، برای مثال ممکن

مدل‌سازی و استفاده از GIS برای تصمیم‌گیری

همان‌گونه که در شماره‌های قبل ذکر شد اهمیت تحلیل‌های فضائی و مکانی با بهره‌گیری از سامانه‌های اطلاعات مکانی بر نقش موثر این سامانه‌ها در نظام برنامه‌ریزی و تصمیم‌گیری توسعه ملی و منطقه‌ای و برنامه‌های مختلف توسعه شامل شهر و روستا و آماش سرزمین و ... افزوده است.

متاسفانه در سال‌های اخیر تحقیقات بنیادی در این زمینه در کشور ما محدود بوده است و امید است در چارچوب آموزش GIS بتوانیم در این مسیر نیز گام‌هایی جدی برداریم.

یکی از کارکردهای مهم پیش رو در این خصوص موضوع ارائه مدل‌های تحلیل مکانی در GIS است، چرا که برای هر گونه ارزیابی و برنامه‌ریزی و تصمیم‌گیری فضائی و مکانی نیازمند کاربرد این مدل‌ها در GIS هستیم. در این خصوص در شماره‌های آینده به



فرآیند برنامه‌ریزی برای تصمیم‌گیری با بهره‌گیری از GIS

است GIS برای برنامه‌ریزان امکان محاسبه ساده زمان واکنش‌های ۴- کامل بودن^۷
 غیرمنتظره در واقعی و بلایای طبیعی مانند سیل و زلزله را داشته^۸
 باشد.
 مدیران و تصمیم‌گیران، جهت تصمیم‌گیری مناسب همواره به
 دانشی درباره محیط اطراف نیاز دارند. قطعاً با انتخاب اطلاعات
 مناسب و مقتضی یک مدل مفهومی^۱ درک روشن‌تری از روندها
 ایجاد خواهد شد.

مدل تصمیم‌گیری (Decision Model)
 یک مدل خوب و مناسب مورد استفاده در GIS هر چند دارای
 شرایط و ابعاد گوناگونی می‌باشد اما می‌توان از عواملی در مدل
 به عنوان شرایط مناسب یاد نمود. بدیهی است در مورد مسائل و
 موضوع‌های مربوط به پدیده‌های طبیعی و غیر طبیعی نیز باید این
 عوامل مورد بررسی قرار گیرند. گاهی مدل‌های تصمیم‌گیری سبب
 افزایش اهمیت و قابل قبول بودن نتایج می‌شوند و یا گاهی از
 دقت نتیجه می‌کاهند. از معیارهای مناسب بودن مدل‌ها این است
 که به ساده‌ترین شکل، رفتار پدیده‌ها را در دنیای واقعی به طور
 صحیح پیش‌بینی نموده و کیفیت این مدل‌ها با داده‌های انتخاب
 شده و چگونگی سازمان‌دهی آنها مرتبط باشد و همچنین شامل
 نتایجی با سطح دقت مورد نیاز و حداقل هزینه باشد، به گونه‌ای
 که تعادل بین هزینه و اجرا برقرار شده و در نهایت معیار معتبر در
 تصمیم‌گیری داشته باشند.

پانوشت‌ها

1. Conceptual Model
2. Model
3. Data Set
4. Accuracy & Precision
5. Time
6. Currency
7. Completeness
8. Data Organization
9. Database

مفهوم مدل^۲ که مجموعه‌ای از روابط و یا اطلاعات درباره دنیای
 اطراف است، در سامانه‌های اطلاعات مکانی دارای اهمیت بسیاری
 است. بدون درک مفهوم مدل در GIS امکان بررسی پدیده‌های
 طبیعی وجود نخواهد داشت. یکی از نمونه‌های این مدل‌ها مدل
 مفهومی است، در حقیقت این مدل درک ما از پدیده‌ها و چگونگی
 رفتار آنها می‌باشد و زمانی که بخواهیم درباره دنیای واقعی
 تصمیم‌گیری نماییم به مدل خود مراجعه می‌کنیم.
 این‌گونه روش‌ها برای طراحان سیستم‌های اطلاعات مکانی فرستی
 فراهم می‌آورد تا عقیده خود را نسبت به این رویکرد ابراز نمایند
 و علاوه بر آن، چنانچه مدل مفهومی از اصطلاحات مستقل باشد،
 می‌توان آن را در اختیار برنامه‌نویس‌ها قرار داد و این امر را به عنوان
 مزیت پروژه‌های GIS در نظر گرفت.

برای یک پروژه GIS باید مجموعه‌ای از عوامل گوناگون را مورد
 بررسی قرار داد. مهم‌ترین عواملی که می‌توانند در این زمینه مورد
 ارزیابی قرار گیرند به شرح زیر است:

(۱) مجموعه داده‌ها^۳ که در ارزیابی‌های یک GIS مورد مطالعه قرار
 می‌گیرند. داده‌ها به دو دسته تقسیم می‌شوند: داده‌های کمی و
 داده‌های کیفی. در داده‌های کمی حذف جزئیات و حذف داده‌های
 غیر ضروری به دلایل زیر صورت می‌پذیرد:

- ۱- هزینه
 - ۲- غیر ممکن بودن
 - ۳- عدم احتیاج
 - ۴- مشکل شدن
- آنالیز و تصمیم‌گیری

و در مورد داده‌های کیفی موارد زیر بررسی می‌گردند:

- ۱- دقت و صحت داده‌ها^۴
- ۲- زمان^۵
- ۳- بهنگام بودن^۶

در ک جریان اطلاعات بی‌پایان

مصاحبه مجله GIM با آقای خاویر لوپز^۱

مترجم :

مهندس کامبیز جلیلهوند

رئیس اداره کنترل GIS مدیریت نظارت و کنترل فنی سازمان نقشه‌برداری کشور
Jalilehvand@ncc.org.ir

با توجه به جریان بی‌پایان و نسبتاً خوب اطلاعات مکانی، فرصت‌های اجرایی در برنامه‌ریزی شهری، امنیت، تولید نقشه و سایر کاربردها، بی‌انتها است. آقای خاویر لوپز سرپرست مدیریت تولید در «Oracle Spatial» است که یک سکوی مدیریت اطلاعات مکانی به‌منظور پشتیبانی از انواع اطلاعات مکانی و مدل‌ها است. با توجه به نقش ایشان در هدایت تلاش‌های گروهی برای ترکیب اطلاعات مکانی و فن‌آوری‌های معنایی بر روی بستر فن‌آوری پایگاه داده Oracle، لوپز بخشی از آخرین پیشرفت‌ها در مدیریت اطلاعات مکانی که تامین کننده چشم انداز آتی این بخش می‌باشد را با مجله بین‌المللی GIM در میان گذاشته است.

■ مشغولیت‌های شما چه می‌باشد و موفقیت‌های خود را چطور ملاحظه می‌کنید؟

من از سال ۱۹۹۸ تاکنون در پست جاری خود کار کرده‌ام. من فعالیت‌های گروهی در ترکیب اطلاعات مکانی و فن‌آوری‌های معنایی در بستر بخش‌هایی از نرم‌افزار Oracle که شامل پایگاه داده، نرم‌افزار کاربردی سرور و نرم‌افزارهای کاربردی تجاری می‌باشد را هدایت نموده‌ام. ما همچنین بیش از صدها نرم‌افزار و گروه خدماتی شامل گروه‌های فنی، توسعه اقتصادی و کاتالالهای



فروش را گسترش و حفظ کرده‌ایم. علاوه بر آن، طرحی را به‌منظور یکپارچه‌سازی قابلیت محلی در بستر محصولات نرم‌افزاری Oracle، افزایش ارزش کلی و راه حل‌های متمایز، بر پایه Oracle اجرا نموده‌ایم.

■ پایگاه داده Oracle در چه نوع صنایعی استفاده می‌شود؟

پایگاه داده دارای این قابلیت است که می‌تواند در هر صنعتی، از تعداد زیادی از کاربران از قبیل بانکداری، مخابرات، خدمات مالی، درمانی، بیمه، خردۀ فروشی و... به صورت همزمان پشتیبانی کند. Oracle Spatial یکی از قسمت‌های این سامانه است که ۱۳ سال پیش شروع به توسعه آن کردیم و در واقع ابزاری است که به صورت بومی امکان ذخیره، فهرست‌گذاری و پرسش و پاسخ^۲ از اطلاعات مکانی میسر می‌سازد. در طول زمان، انواع اطلاعات مکانی که قابلیت ذخیره شدن داشته‌اند را گسترش داده‌ایم مانند داده‌های وسایل تعیین موقعیت جدید و سنجنده‌های قابل حمل که همواره در حال توسعه می‌باشند. Oracle Spatial توسعه قابلیت‌های تحلیلی، مدل‌سازی و همچنین افزایش کیفیت اطلاعات مکانی می‌باشد.

پایگاه داده مکانی است. آخرین ویرایش g11، Oracle Spatial، داده‌های سه‌بعدی را پشتیبانی می‌نماید. خیلی مهم است که به‌خاطر داشته باشیم که سه‌بعدی، معانی متفاوتی برای افراد مختلف دارد. مدل اطلاعات سه‌بعدی ما، ابر- نقطه‌ها^۳، شبکه‌های TIN^۴ و مدل‌های برداری سه‌بعدی را پشتیبانی می‌نماید. پشتیبانی از ابر- نقطه‌ها، قابلیت مدیریت موثری بر داده لیدار^۵ استفاده شده برای توصیف شکل فیزیکی یک جسم از قبیل یک ساختمان یا سطح زمین ایجاد می‌نماید. مدل TIN نمایش دقیقی از سطح زمین را میسر می‌سازد، به‌طوری که تعیین اینکه آیا در محل یک ساختمان شبی وجود دارد و یا تغییراتی در شکل پوسته زمین به وجود آمده است، امکان‌پذیر است. مدل برداری سه‌بعدی، برای نمایش عوارضی از قبیل مجموعه بزرگی از ساختمان‌ها استفاده می‌گردد.

سطح پیشنهادی ما برای پشتیبانی از داده‌های سه‌بعدی، بستگی به نیاز سامانه‌های مکانی پیشرفته در محدوده‌های بحرانی از قبیل برنامه‌ریزی شهری، مدیریت زیربنایی، دفاع و امنیت، مدیریت زمین و خدمات دارد. زمانی که طراحان شهری در صدد بازسازی محدوده بزرگی از شهر می‌باشند از این نوع داده‌ها استفاده می‌گردد، همچنین در رویدادهای از پیش برنامه‌ریزی شده‌ای از قبیل مسابقات ورزشی المپیک و طراحی مسیرهای امدادرسانی نیز این داده‌ها مورد استفاده دارند. برای خیلی از نرم افزارهای کاربردی برنامه‌ریزی، امکان امتداد خط دید جهت تصمیم‌گیری میسر می‌باشد، برای مثال آیا سایه یک ساختمان فرضی، تاثیری بر ساختمان‌های اطرافش دارد یا خیر.

■ چه کاری در جهت تسهیل جستجو و ویرایش ابر- نقطه‌های خیلی بزرگ انجام می‌دهد؟

با اعمال آخرین ویرایش، کاربر قادر به خواندن ابر- نقطه لیدار، شامل میلیون‌ها نقطه در قالب یک دیتابیس و بدون نیاز به تفکیک آن به چندین بخش می‌باشد. برنامه‌نویسان نرم‌افزارهای کاربردی به سادگی قادر به بارگذاری و نشانه‌گذاری^۶ مجموعه اطلاعات یکپارچه از ابر- نقطه‌ها می‌باشند، در حالی که کاربران بسادگی و با سرعت قادر به پرسش و پاسخ از پایگاه داده می‌باشند. چیزی که در اینجا مهم است فقط ذخیره کردن اطلاعات نیست، بلکه نشانه گذاری آنها نیز می‌باشد. در حالی که شرکای کاری در زمینه اطلاعات مکانی و نقشه‌کشی، نسبت به تهیه ابزارهای نهایی کاربردی فعالیت می‌کنند، ما امکان ذخیره‌سازی، نشانه گذاری و

■ چند سال پیش GIM از شما پرسید اگر همچنان به اضافه نمودن اطلاعات بیشتر و بیشتر به سامانه‌هایتان ادامه دهید، آیا Oracle تبدیل به یک GIS می‌شود؟ و شما پاسخ دادید نه. آیا بعد از آن پیشرفت‌هایی حاصل شده است؟ من آن را به‌دلیل پیشرفت WEB کنار گذاشت. ما از پیشرفت‌های IT برای تولید محصولاتی که امکان مدیریت اطلاعات مکانی را میسر می‌سازد استفاده نموده‌ایم. اما Spatial Oracle یک GIS می‌باشد استفاده از افراد تصور کردند که نیست. بعد از پیشرفت‌های ما، برخی از افراد GIS است، اما شما هنوز به Spatial Oracle تا حد زیادی شبیه یک GIS نیز دارید.

■ چطور Spatial Oracle مشکل اطلاعات رایگان را، که به صورت گسترده بر روی اینترنت در دسترس می‌باشد، حل می‌کند؟

داده بیشتر، به نفع شرکت‌هایی مثل Oracle است. اطلاعات مکانی به مدیریت موثر و ایمن در پایگاه داده و نیز ابزارهایی برای پرسش و پاسخ از داده‌ها، نیازمند می‌باشند. در دسترس بودن انواع جدید داده، ما را بر آن داشت تا نسبت به توسعه توانایی ذخیره این نوع داده به‌طوری که قابل استفاده توسط هر یک از نرم افزارهای شرکای کاری ما باشد، احساس مسئولیت نماییم.

■ رویکرد آتی Spatial Oracle به طرف توسعه چه وظایفی می‌باشد؟ رویکرد عمومی مورد نظر ما، ادامه افزودن انواع جدید داده در مدیریت

می‌توانند در Oracle ذخیره شوند. اغلب، دستورالعمل کاری به ما دیکته می‌کند که ویرایش‌های مختلفی از داده ذخیره شوند که از ویرایش اولیه شروع می‌گردد، به طوری که کاربران می‌توانند به هرچه که نیاز دارند مراجعه کنند. روش‌های مختلفی برای ذخیره‌سازی داده وجود دارد و داده‌های قدیمی‌تر در فایل‌ها یا نوار (Tape) بایگانی می‌شوند. روش متفاوتی برای بایگانی داده‌ای که استفاده نمی‌شود و داده‌ای که هنوز برای مقاصد تحلیلی استفاده می‌شود وجود دارد، حتی اگر این داده خیلی مورد استفاده جاری نباشد. این شیوه تفاوت موجود در لیست دریافت و پرداخت حساب در بانک است که نمایشگر مقدار موجودی شما و فهرست دریافت و پرداخت شما در شش ماه گذشته است.

■ چه پیشرفت‌هایی جهت صنعت تعیین کننده است؟

تعداد و نوع ابزارهای جمع‌آوری داده و سنجنده‌های جمع‌آوری داده‌های مکانی که داده‌های زمینی را جمع‌آوری می‌کنند بسیار مهم هستند. سنجنده‌های لیدار همه جا هستند و وسایل نقلیه در حال جمع‌آوری اطلاعات کریدوری در شهرها هستند. ما از مرحله تهیه نقشه تنها توسط کارت‌وگراف‌ها گذر کرده‌ایم و به جمع‌آوری و تولید داده توسط سنجنده که سریع‌تر، دقیق‌تر و ارزان‌تر می‌باشد تمایل داریم. به‌حال نقشه‌بردارها و کارت‌وگراف‌ها همچنان نقش اصلی در این تغییر را بر عهده دارند. این روند ما را به‌سمت داده‌های ارزان و با کیفیت خیلی بالا هدایت می‌کند که منجر به ایجاد نرم‌افزارهای کاربردی دنیای مجازی و سه بعدی جدید می‌گردد. علاوه بر این سنجنده‌ها اطلاعات آنی^۷ را نیز جمع‌آوری می‌نمایند. سنجنده‌ها همزمان با خودروها و کامیون‌ها عمل می‌کنند و نه تنها موقعیت خودرو، بلکه وضعیت خودرو از قبیل سرعت و میزان مصرف بنzin را نیز اندازه‌گیری می‌کنند. این اطلاعات به مرکز کنترل انتقال می‌یابد، جایی که تحلیل‌گران با استفاده از آن به نگهداری و افزایش کارایی خودرو کمک می‌کنند. سامانه‌های کنترل ترافیک هوایی، از کاربران مهم این ابزارهای ردیابی هستند. گروه زیادی از مصرف‌کنندگان استفاده از ابزارهای ردیابی قابل حمل را ترجیح می‌دهند.

با توجه به در دسترس بودن سنجنده‌ها و شبکه‌های بی‌سیم که تعیین موقعیت را فراگیر نموده‌اند، چالش در بهره‌برداری از این پیشرفت‌ها از طریق ابزارهای کاربردی مبتکرانه و جدید باقی خواهد ماند.

1. Xavier Looez
2. Query
3. Point-Clouds
4. Triangular irregular network
5. Light Detection And Ranging
6. Indexing
7. Real-time

منبع:
GIM Magazine ISSUE 2-VOLUME 24-February 2010

پرسش و پاسخ از مخزن داده مکانی مرکزی را فراهم می‌نماییم.

■ حجم اطلاعاتی که باید ذخیره شود، به سرعت رو به افزایش است. آیا Oracle راه حلی برای کاهش حجم اطلاعات ذخیره شده دارد؟

مدیریت اطلاعات برای Oracle، خیلی مهم است. ما در طی پنج سال گذشته نرم‌افزارهای کاربردی واسطه و تجاری گوناگونی تولید کرده‌ایم، اما هنوز هم موضوع تجارت پایگاه داده خیلی مهم است. پایگاه داده Oracle g11، قادر به ذخیره و تحلیل حجم بسیار زیاد اطلاعات است. فشرده‌سازی داده‌ها خیلی مفیدتر از ذخیره ساده اطلاعات، بر روی دیسک می‌باشد. با توجه به این که داده خیلی فشرده می‌شود و بازخوانی اطلاعات از هارد دیسک به سادگی انجام می‌شود، عملکرد پرسش و پاسخ افزایش می‌یابد. داده قبل از این که کاربران داده را باخوانند، نباید از حالت فشرده خارج شود، به‌طوری که حتی در حافظه به صورت فشرده باقی می‌ماند. در نتیجه این نوع فشرده‌سازی، از آنجا که اطلاعات بیشتری در حافظه قرار می‌گیرد نه تنها در ذخیره‌سازی هارددیسک به مشتریان Oracle Spatial کمک می‌شود، بلکه کارایی حافظه نیز بالا می‌رود. این عملیات فشرده‌سازی را مرحله به مرحله انجام می‌دهد. این فرآیند، ذخیره سازی اطلاعات مکانی و توصیفی را ساده‌تر نموده و نگهداری، جستجو و تعداد دفعات بازیابی را بهبود می‌بخشد.

■ توسعه در جمع‌آوری داده به سرعت در حال انجام است.

برداشت جزئیات در آبنگاری روز به روز بیشتر می‌شود، در نتیجه حجمی در حد تربایت برای ذخیره اطلاعات رو به افزایش مورد نیاز خواهد بود. دفاتر آبنگاری اغلب خیلی درون‌گرا هستند، اما درخواست کاربران برای داده بیشتر و بیشتر می‌شود و آنها اطلاعات را سریع می‌خواهند. سازمان‌های هیدرولوگرافی HOs به‌طور معمول فقط از داده پردازش شده استفاده می‌کند. ولی کاربران جدید ممکن است که به مجموعه داده‌های اصلی علاقه‌مند باشند. Oracle Spatial برای کمک به این کاربران چه کاری انجام می‌دهد؟ بدون این که مردم مجبور باشند از فضای زیادی استفاده کنند، چطور تضمین می‌کنید که داده خام محفوظ مانده است؟

این بستگی به سازمانی دارد که از این مجموعه داده‌ها استفاده می‌کند. معمولاً دفاتر آبنگاری روش‌های کاری اختصاصی را به منظور مدیریت ویرایش‌های متفاوت از داده‌هایشان و تولید شکل‌های مختلفی از اطلاعات ایجاد می‌کنند. این داده خام معمولاً از شناورها یا سنجنده‌های لیدار دریافت می‌گردد. این داده‌ها با جزئیات زیاد و به صورت ابر- نقطه می‌باشند. بیشتر نرم‌افزارهای کاربردی با داده خام کار نمی‌کنند، یعنی معمولاً چند مرحله از پردازش انجام می‌گیرد. اینجا جایی است که ابزارهای دریایی مخصوصی به کار می‌روند. اما در هر مرحله از کار، انواع مختلفی از داده (از قبیل ابر- نقطه، مدل‌های TIN، مدل‌های Grid و غیره)،

CONFERENCES

■ OCTOBER

IAG Commission 1 Symposium 2010

Marne-La-Valée, France
4-8 October
For more information:
W: www.iers.org

Intergeo 2010

Köln, Germany
05-07 October
For more information:
E: dkatzer@hinte-messe.de
W: www.intergeo2010.de

Society of Exploration Geophysicists (SEG) Annual Meeting

Denver, USA
17-22 October
For more information:
W: bit.ly/9Q3BKx

9th International e-VLBI Workshop

Perth, Australia
18-20 October
For more information:
W: www.iers.org

ENC GNSS 2010

Braunschweig, Germany
19-21 October
For more information:
T: +49 (228) 20197 0
F: +49 (228) 20197 19
E: dgon.bonn@t-online.de
W: www.ene-gnss2010.org

GSDI-12 World Conference

Singapore
19-22 October
For more information:
w: www.gsdi.org

Future Space 2010

Abu Dhabi, UAE
24-27 October
For more information:
T: +971 (4) 332 9029
F: +971 (4) 332 9648
E: kelli@smg-online.com
W: www.smg-online.com

International Boundaries Research Unit Workshop

Paris (France)
26-27 October
For more information:
W: www.dur.ac.uk/ibru/workshops/2010/management

ESRI EMEA User Conference 2010

Rome, Italy
26-28 October
For more information:
T: +39 (06) 406 961
E: info@esriitalia.it
W: www.esriitalia.it

■ NOVEMBER

3D GeoInfo 2010

Berlin, Germany
03-04 November
For more information:
E: 3dgeoinfo@igg.tu-berlin.de
W: www.igg.tu-berlin.de/3dgeoinfo/

Trimble Dimensions 2010

Las Vegas, USA
08-10 November
For more information:
W: www.trimblesurveyevents.com

Heritage Recording and Information Management in the Digital Age (SMARTdoc) International Symposium

Philadelphia, PA, USA
19-20 November
For more information:
E: info@smartdocheritage.org
W: www.smartdocheritage.org

Map Africa 2010

JCape Town, South Africa
23-25 November
For more information:
T: +91 9313292284
F: +91 1204612555/666
E: vaishali.dixit@gisdevelopment.net
W: mapafrica.gisdevelopment.net

Pacific Islands GIS&RS User Conference

Suva
23-26 November
For more information:
T: +679 3381377
F: +679-3370040
E: wforstreuter@yahoo.co.uk
W: www.picisoc.org/PacGISRS2010

Geo-Information and Information Management for Farms, Agribusiness and Administration

Bonn, Germany
24-26 November
For more information:
W: www.futurefarm.eu/

■ DECEMBER

StreetMapper 2010 International User Conference

The Hague, The Netherlands
02-02 December
For more information:
T: +44 (870) 442 9400
E: info@3dlasermapping.com
W: www.3dlasermapping.com

SPAR Europe 2010

Amsterdam, The Netherlands
07-08 December
For more information:
W: www.sparllc.com

AGU Fall Meeting

San Francisco, USA
13-17 December
For more information:
W: www.iers.org

■ JANUARY 2011

InfraTech 2011

Rotterdam, The Netherlands
11-14 January
For more information:
E: info@infratech.nl
W: www.infratech.nl

Geospatial World Forum 2011

Hyderabad
18-21 January
For more information:
T: +91 9313292284
F: +91 120 4612555/666
E: vaishali.dixit@gisdevelopment.net
W: www.geospatialworldforum.org

<p>ION ITM 2011 San Diego, California 24-26 January For more information: W: www.iers.org</p> <p>DGI Europe 2011 London (UK) 24-27 January For more information: E: conference@wbr.co.uk W: www.wbresearch.com/dgieurope/home.aspx</p> <hr/> <p>■ FEBRUARY</p> <p>International Lidar Mapping Forum (ILMF) 2011 New Orleans LO, USA 07-09 February For more information: E: info@lidar-map.org W: www.lidar-map.org</p> <p>16 International Geodetic Week Obergurgl, Austria 13-19 February For more information: E: geodaetischewoche@uibk.ac.at W: geodesie.uibk.ac.at/obergurgl.htm</p> <hr/> <p>■ MARCH</p> <p>Web & Wireless Geographical Information Systems (W2GIS) kyoto, Japan 03-04 March For more information: E: jearswell@dit.ie W: www.w2gis.org</p> <p>GeoViz Hamburg 2011: Linking Geovisualization with Spatial Analysis and Modeling Hamburg 10-11 March For more information: E: geoviz@geomatik-hamburg.de W: www.geomatik-hamburg.de/geoviz/</p> <p>GEOFORM+ 2011 / Geodesy, Cartography, Navigation Moscow, Ecocenter Sokolniki 15-18 March For more information: T: +7 (495) 925-34-97 F: +7 (495) 925-34-97 E: dnj@mvk.ru W: www.geoexpo.ru</p>	<p>SPAR US 2011 Conference Houston, TX, USA 21-24 March For more information: T: +1 (207) 842 5671 E: tgreaves@divcom.com W: www.sparllc.com</p> <p>1st Conference on Spatial Statistics 2011 Enschede, The Netherlands 23-25 March For more information: E: customerservice-spatialstats11@elsevier.com W: www.spatialstatisticsconference.com</p> <p>1st Conference on Spatial Statistics 2011 Lindau, Germany 29-30 March For more information: T: +49 8382918619 E: a.lindenmueller@sw-lindau.de W: www.3d-forum.li</p> <hr/> <p>■ APRIL</p> <p>JURSE 2011 - Joint Urban Remote Sensing Event (IEEE GRSS and ISPRS) Munich, Germany 11-13 April For more information: T: +49 8928922671 F: +49 8928923202 E: jurse2011@bv.tum.de</p> <p>Association of American Geographers 2011 Annual Meeting Seattle(USA) 12-16 April For more information: T: +1 2022341450 F: +1 2022342744 E: meeting@aag.org W: www.aag.org/cs/annualmeeting</p> <p>GEO-SIBERIA 2011 Novosibirsk, Russia 27-29 April For more information: E: nenash@sibfair.ru W: www.geosiberia.sibfair.ru/eng/</p>	<p>■ MAY</p> <p>Global Space and Satellite Forum Abu Dhabi, UAE 09-11 May For more information: E: holly@smg-online.com W: www.smg-online.com</p> <p>Geomatics Technologies in the City - First International Geomatics Symposium Jeddah, Saudi Arabia 10-13 May For more information: E: GTC@Geomaticksa.com W: www.geomaticksa.com</p> <hr/> <p>■ JUNE</p> <p>The Geodetic Infrastructure in Europe Umea, Sweden 22-23 June For more information: E: svanteao@algonet.se W: www.aspect.se/ASPECT-seminarier-elge-juni-2011.html</p> <p>11th South East Asian Survey Congress JKuala Lumpur, Malaysia 22-24 June For more information: T: +6 (03) 7955 1773 F: +6 (03) 7955 0253 E: secretariat@ism.org.my W: www.seasc2011.org</p> <hr/> <p>■ JULY</p> <p>25th International Cartography Conference Paris 03-08 July For more information: E: regist-icc2011@europa-organisation.com</p> <p>1GI Forum 2011 Salzburg 05-08 July For more information: T: +43 662 8044 5278 F: +43 662 8044 5260 E: office@gi-forum.org</p> <p>Survey Summit San Diego (USA) 07-12 July For more information: W: www.surveysummit.com</p>
---	---	---

سازمان نقشه‌برداری کشور

منتشر کرد

نقشه

1:250 000

رسانیان، بندرلنگه، اصفهان، بیرم، کاشان

بندرعباس، شیراز، بندرسیریک

کازرون و جهرم

نقشه‌های موضوعی شهرهای:

قریون، مراغه، پیهان، چابهار، خوانسار

قائم شهر، سندج، شوشتر، اهر، هشتگرد

دورود و مرودشت

اینترنت: www.ncc.org.ir

فروش اینترنتی: www.ncceshop.ir